



## ใบรับรองวิทยานิพนธ์

บัณฑิตวิทยาลัย มหาวิทยาลัยเกษตรศาสตร์

วิศวกรรมศาสตรดุษฎีบัณฑิต (วิศวกรรมเคมี)

ปริญญา

วิศวกรรมเคมี

สาขาวิชา

วิศวกรรมเคมี

ภาควิชา

เรื่อง การใช้สถิติในการหาปัจจัยที่เหมาะสมของการผลิตไบโอดีเซลจากน้ำมันทานตะวันและ  
ออนไลมีไอลิปอสที่ถูกต้อง

Statistical Application to obtain the Optimum Condition of Biodiesel production from  
Sunflower Oil and Immobilized Lipase

นามผู้วิจัย นายกิตติพล กาลิการ์

ได้พิจารณาเห็นชอบโดย

ประธานกรรมการ

( รองศาสตราจารย์เพ็ญจิตร ศรีนพคุณ, Ph.D. )

กรรมการ

( ผู้ช่วยศาสตราจารย์กานต์ สุคสារ, Ph.D. )

กรรมการ

( ผู้ช่วยศาสตราจารย์มานพ เจริญไชยกระถุด, Ph.D. )

หัวหน้าภาควิชา

( รองศาสตราจารย์สั่งฟาย พรรณวี, D.Sc. )

บัณฑิตวิทยาลัย มหาวิทยาลัยเกษตรศาสตร์รับรองแล้ว

( รองศาสตราจารย์กัญจนा ชีระกุล, D.Agr. )

คณบดีบัณฑิตวิทยาลัย

วันที่ ..... เดือน ..... พ.ศ. ....

วิทยานิพนธ์

เรื่อง

การใช้สถิติในการหาปัจจัยที่เหมาะสมของการผลิตไบโอดีเซลจากน้ำมันทานตะวันและเอนไซม์  
ไลเปสที่ถูกรักษา

Statistical Application to obtain the Optimum Condition of Biodiesel production from  
Sunflower Oil and Immobilized Lipase

โดย

นายกิตติพล กาลิgar

เสนอ

บัณฑิตวิทยาลัย มหาวิทยาลัยเกษตรศาสตร์  
เพื่อความสมบูรณ์แห่งปริญญาวิศวกรรมศาสตรดุษฎีบัณฑิต (วิศวกรรมเคมี)  
พ.ศ. 2552

กิตติพลด กสิการ์ 2552: การใช้สกัดในการหาปัจจัยที่เหมาะสมของการผลิตไบโอดีเซลจากน้ำมันทานตะวันและเอนไซม์ไอลเปสที่ถูกต้อง ปริญญาวิศวกรรมศาสตรดุษฎีบัณฑิต (วิศวกรรมเคมี)  
สาขาวิศวกรรมเคมี ภาควิชาเคมี ประธานกรรมการที่ปรึกษา: รองศาสตราจารย์เพ็ญจิตร  
ศรีนพคุณ, Ph.D. 140 หน้า

การวิจัยนี้แบ่งเป็น 3 ส่วนคือ การศึกษาสภาวะที่เหมาะสมในการตรึงเอนไซม์ไอลเปสจาก จุลินทรีย์ *Pseudomonas fluorescens* บนเม็ดไคลโตชานด้วยวิธีห่อหุ้มโดยใช้การออกแบบทดลองแบบ Two-way ANOVA ซึ่งพบว่าค่ากิจกรรมของเอนไซม์ที่ถูกต้องมีค่า 396 หน่วยต่อกรัมที่สภาวะดังนี้ อัตราส่วนโดยน้ำหนักของสารละลายไคลโตชานต่อเอนไซม์ไอลเปสคือ 1:150 อัตราส่วนของผงไคลโตชานต่อสารละลายกรดอะซิติก (1.5% v/v) คือ 1.5% w/v

การทดลองส่วนที่สองคือการศึกษาสภาวะที่เหมาะสมในการตรึงเอนไซม์ไอลเปส โดยปัจจัยที่ศึกษาได้แก่ อุณหภูมิของปฏิกิริยา อัตราส่วนโดยไมลของเมทานอลต่อน้ำมันเมล็ดดอกทานตะวัน ร้อยละ โดยน้ำหนักของน้ำ ร้อยละ โดยน้ำหนักของเอนไซม์ไอลเปสที่ถูกต้อง และร้อยละ โดยน้ำหนักของตัวทำละลายร่วม โดยผลทางสถิติแสดงให้เห็นว่าอุณหภูมิของปฏิกิริยา อัตราส่วนโดยไมลของเมทานอลต่อน้ำมันเมล็ดดอกทานตะวัน และร้อยละ โดยน้ำหนักของเอนไซม์ไอลเปสที่ถูกต้อง คือ ปัจจัยที่มีอิทธิพลต่อการผลิตไบโอดีเซลที่ถูกเร่งปฏิกิริยาด้วยเอนไซม์ไอลเปสที่ถูกต้อง การออกแบบการทดลองแบบพื้นผิวตอบสนองของ Box-Behnken ถูกใช้ศึกษาสภาวะที่เหมาะสมในการผลิตไบโอดีเซล ผลจากแบบจำลองทางคณิตศาสตร์แสดงว่าสภาวะที่เหมาะสมในการผลิตไบโอดีเซลคือ 30° ซ อัตราส่วนโดยไมลของเมทานอลต่อน้ำมันเมล็ดดอกทานตะวันคือ 6:1 และร้อยละ โดยน้ำหนักของเอนไซม์ไอลเปสที่ถูกต้องคือ 50% จะให้ปริมาณเมทิลเอสเทอร์คือ 30.7% ซึ่งค่าทางตัวเลขมีความสอดคล้องกับผลการทดลอง โดยจะได้ค่าเฉลี่ยร้อยละ โดยน้ำหนักของเมทิลเอสเทอร์ที่ผลิตได้ในสภาวะที่เหมาะสมจะอยู่ในช่วง 14.81-31.40 ที่ระดับความเชื่อมั่น 98.5%

การทดลองส่วนที่สามใช้วิธีอัตราการเกิดปฏิกิริยาเริ่มต้นเพื่อหาค่าคงที่ทางจนผลศาสตร์ของปฏิกิริยาท่านส์อสเทอราฟิโคชั่นของน้ำมันเมล็ดดอกทานตะวันและเมทานอลจากสภาวะที่เหมาะสมในการตรึงเอนไซม์และการผลิตไบโอดีเซล สมการอัตราที่ได้จากการทดลองสอดคล้องกับกลไกการเร่งปฏิกิริยาด้วยเอนไซม์แบบปิงปอง ใบ/ใบ ที่มีการขับยึดแบบแบ่งชั้นด้วยเมทานอล โดยพบว่าค่าคงที่ทางจนผลศาสตร์ที่ได้จากโปรแกรมคอมพิวเตอร์จะให้ค่าที่ดีกว่าวิธีกราฟ ทั้งนี้จะได้ค่า  $K_m$  ของน้ำมันเมล็ดดอกทานตะวันและเมทานอล คือ 12.81 มิลลิโมล และ 68.36 มิลลิโมลตามลำดับ และจะได้ค่า  $K_i$  ของเมทานอล คือ 13.84 มิลลิโมล

Kittipon Kasipar 2009: Statistical Application to obtain the Optimum Condition of Biodiesel production from Sunflower Oil and Immobilized Lipase. Doctor of Engineering (Chemical Engineering), Major Field: Chemical Engineering, Department of Chemical Engineering. Thesis Advisor: Associate Professor Penjit Srinopakun, Ph.D. 140 pages.

This research was divided into three parts. The first part applied the Two-way ANOVA method to optimize the immobilization condition of *Pseudomonas fluorescne*'s Lipase on chitosan bead by an entrapment technique. The maximum immobilized Lipase activity of 396 unit/g was obtained from the following conditions; 1:150 weight fraction of the chitosan solution and Lipase, 1.5% w/v of the chitosan powder and acetic acid solution (1.5% v/v).

The second part was carried out to determine the optimum condition for the biodiesel production using the prepared immobilized Lipase. The experimental factors namely the reaction temperature, the methanol to oil molar ratio, the percentage of water, the percentage of immobilized Lipase and the percentage of co-solvent were screened using Plankett Burman experimental design. The statistical results showed that the reaction temperature, the methanol to oil molar ratio and the percentage of immobilized Lipase were the important experimental factors on the immobilized Lipase biodiesel production. Then the Box Behnken response surface method was used to obtain the optimum condition of the biodiesel production which was 30°C, 6:1 of methanol to oil molar ratio and 50% wt of the immobilized Lipase. The fatty acid methyl ester suggested by the statistical method at the optimum biodiesel production condition was 30.7%. As expected, the result from the statistical model agreed well with the experimental result. The mean mass percent of methyl ester from this condition was ranging from 14.81 to 31.40 at 98.5% confidential level.

The third part was applying an initial rate method to attain the kinetic model of transesterification reaction between the sunflower oil and methanol at the optimum immobilization and biodiesel production conditions. From the experiment, it is shown that the reaction rate followed the Ping Pong Bi Bi mechanism with competitive inhibition by methanol. Then the kinetic parameters were determined by the EXCEL computer program and the graphical method. Interestingly, the values estimated from the EXCEL program were more realistic than the graphical method. The  $K_m$  values acquired from the EXCEL program for sunflower oil and methanol were 12.81 mmol and 68.36 mmol, respectively. Nevertheless, the competitive inhibition by methanol was evident with the high inhibition constant of  $K_i$  value at 13.84 mmol.

---

Student's signature

---

Thesis Advisor's signature

---

/ / /

## กิตติกรรมประกาศ

ผู้วิจัยขอกราบขอบพระคุณ รองศาสตราจารย์ ดร.เพ็ญจิตร ศรีนพคุณ ประธานกรรมการที่ปรึกษาวิทยานิพนธ์ ผู้ช่วยศาสตราจารย์ ดร.กานติส สุดสาคร และ ผู้ช่วยศาสตราจารย์ ดร.มานพ เจริญไชยตระกูล กรรมการที่ปรึกษาสาขาวิชาเอก ที่ให้คำปรึกษาในการเรียน การค้นคว้าวิจัย ตลอดจนตรวจสอบแก้ไขวิทยานิพนธ์ฉบับนี้จนเสร็จสมบูรณ์ และขอกราบขอบพระคุณ อาจารย์ ดร. พินทุสุดา วีรวัฒน์ ผู้แทนบันทึกวิทยาลัย ที่ได้ให้ความกรุณาตรวจสอบแก้ไขวิทยานิพนธ์ให้สมบูรณ์ ยิ่งขึ้น

ขอกราบขอบพระคุณคณาจารย์ภาควิชาวิศวกรรมเคมีทุกท่าน ที่ได้อบรมสั่งสอนและมอบ ความรู้อันเป็นประโยชน์อย่างยิ่งในการนำไปใช้ประโยชน์ต่อไป และขอขอบคุณเจ้าหน้าที่ภาควิชา วิศวกรรมเคมีทุกท่านที่ให้ความช่วยเหลือและตลอดจนให้คำแนะนำในสิ่งต่างๆ และขอขอบคุณ คุณลิตตา อัตน์ โล ผู้เชี่ยวชาญด้านการผลิตใบไอดีเซล จากสถาบันวิจัยวิทยาศาสตร์และเทคโนโลยี แห่งประเทศไทย ที่กรุณาให้ความช่วยเหลือให้งานวิจัยนี้สามารถดำเนินการเสร็จสิ้น ไปได้ ขอขอบคุณสำนักคอมพิวเตอร์ มหาวิทยาลัยศรีนครินทร์ สำหรับการสนับสนุนโปรแกรม Minitab รุ่นที่ 13 ในการทำงานวิจัยนี้ ขอขอบคุณศูนย์ความเป็นเลิศแห่งชาติค้านปิโตรเลียม ปิโตร เคมีและวัสดุขั้นสูง มหาวิทยาลัยเกษตรศาสตร์ บัณฑิตวิทยาลัย และสมาชิกในกลุ่มวิจัยวิศวกรรม ชีวเคมี ภาควิชาวิศวกรรมเคมี มหาวิทยาลัยเกษตรศาสตร์ทุกท่าน

ด้วยความดีหรือประโยชน์อันได้เนื่องจากวิทยานิพนธ์เล่มนี้ ขอขอบคุณพ่อ คุณแม่ที่ได้ อบรมและให้กำลังใจแก่ผู้วิจัยมาตลอดในทุกเรื่อง

กิตติพลด กสิการ์

พฤษภาคม 2552

## สารบัญ

หน้า

สารบัญ	(1)
สารบัญตาราง	(3)
สารบัญภาพ	(5)
คำอธิบายสัญลักษณ์และคำย่อ	(10)
คำนำ	1
วัตถุประสงค์	3
การตรวจสอบสาร	5
อุปกรณ์และวิธีการ	30
อุปกรณ์	30
วิธีการ	32
ผลและวิจารณ์	39
สรุปและข้อเสนอแนะ	87
สรุป	87
ข้อเสนอแนะ	89
เอกสารและสิ่งอ้างอิง	90
ภาคผนวก	96
ภาคผนวก ก การหาความเห็นขันของพารา-ไนโตรฟีโนลด์ และค่ากิจกรรมของเอนไซม์	97
ภาคผนวก ข การวิเคราะห์ข้อมูลจากการออกแบบการทดลองแบบ Two-way ANOVA	103
ภาคผนวก ค การหาปริมาณเมทิลเอสเทอร์ของกรดไขมัน	107
ภาคผนวก ง การวิเคราะห์การทดสอบสำหรับการออกแบบการทดลอง แบบ Plackett-Burman และการออกแบบการทดลอง พื้นผิวผลตอบสนองแบบ Box-Behnken	115

## สารบัญ

หน้า

สารบัญ	(1)
สารบัญตาราง	(3)
สารบัญภาพ	(5)
คำอธิบายสัญลักษณ์และคำย่อ	(10)
คำนำ	1
วัตถุประสงค์	3
การตรวจสอบสาร	5
อุปกรณ์และวิธีการ	30
อุปกรณ์	30
วิธีการ	32
ผลและวิจารณ์	39
สรุปและข้อเสนอแนะ	87
สรุป	87
ข้อเสนอแนะ	89
เอกสารและสิ่งอ้างอิง	90
ภาคผนวก	96
ภาคผนวก ก การหาความเห็นขันของพารา-ไนโตรฟีโนลด์ และค่ากิจกรรมของเอนไซม์	97
ภาคผนวก ข การวิเคราะห์ข้อมูลจากการออกแบบการทดลองแบบ Two-way ANOVA	103
ภาคผนวก ค การหาปริมาณเมทิลเอสเทอร์ของกรดไขมัน	107
ภาคผนวก ง การวิเคราะห์การทดสอบสำหรับการออกแบบการทดลอง แบบ Plackett-Burman และการออกแบบการทดลอง พื้นผิวผลตอบสนองแบบ Box-Behnken	115

## สารบัญ (ต่อ)

หน้า

ภาคผนวก จ การวิเคราะห์ความสมรูปของสมการในการออกแบบทดลอง พื้นผิวผลตอบสนองแบบ Box-Behnken	122
ภาคผนวก ฉ การหาช่วงความเชื่อมั่นของร้อยละโดยนำหนักของเมทิลเอสเทอร์ ที่ผลิตด้วยสภาวะที่เหมาะสม	127
ภาคผนวก ช การหาอัตราการเกิดปฏิกิริยาเริ่มต้น	137
ประวัติการศึกษาและการทำงาน	140

## สารบัญตาราง

ตารางที่	หน้า
1 โครงสร้างทางเคมีของกรดไนมันท์ไวป์	7
2 องค์ประกอบทางเคมีของน้ำมันพีช	7
3 คุณสมบัติทางกายภาพและทางเคมีของน้ำมันในไออดีเซล	8
4 ข้อดีและข้อเสียของวิธีการตรึงเอน ใช้มีแบบจับนตัวพาหะ	14
5 การออกแบบการทดลองแบบ Two-way ANOVA เพื่อศึกษาสภาวะที่เหมาะสมต่อการตรึงเอน ใช้มีไลเปส	33
6 เวลาในการปราบภูของสารต่างๆ ในโครโนโตแกรมของการวิเคราะห์เมทิลเอสเทอร์ โมโนกลีเซอไรด์ ไดกเลอิโซไรด์ และ ไตรกเลอิโซไรด์ในไออดีเซลตัวอย่าง	37
7 สภาวะของการตรึงเอน ใช้มีไลเปสที่ได้จากการออกแบบการทดลองแบบ Two-way ANOVA เพื่อศึกษาสภาวะที่เหมาะสมต่อการตรึงเอน ใช้มีไลเปส	40
8 ค่ากิจกรรมของเอน ใช้มีไลเปสที่ถูกตรึงตามการออกแบบการทดลองแบบ Two-way ANOVA	41
9 การวิเคราะห์ทางสถิติของค่าเฉลี่ยของค่ากิจกรรมของเอน ใช้มีไลเปสที่ถูกตรึงจากผลการออกแบบการทดลองแบบ Two-way ANOVA	42
10 สภาวะในการทดลองตามการออกแบบการทดลองแบบ Plankett-Burman และร้อยละโดยน้ำหนักของเมทิลเอสเทอร์ในผลิตภัณฑ์ที่ได้	48
11 ผลการวิเคราะห์ทางสถิติของปัจจัยหลักจากการออกแบบการทดลองแบบ Plankett-Burman	49
12 ผลการวิเคราะห์ทางสถิติของปัจจัยหลัก และปัจจัยร่วมจากการเชิงเส้นที่ได้จากการออกแบบการทดลองแบบ Plankett-Burman	51
13 สภาวะในการทดลองตามการออกแบบการทดลองแบบ Box-Behnken	59
14 ค่าทางสถิติที่ได้จากการออกแบบการทดลองแบบ Box-Behnken	60
15 ผลการวิเคราะห์ความแปรปรวนของแบบจำลองทางคณิตศาสตร์ของการออกแบบการทดลองแบบ Box-Behnken	62

## สารบัญตาราง (ต่อ)

ตารางที่	หน้า
16 การเปรียบเทียบแบบจำลองทางคณิตศาสตร์แบบต่างๆ	64
17 อุณหภูมิของปฏิกิริยาที่เหมาะสมในการเร่งปฏิกิริยาต่างๆของเอนไซม์ไลเปส	66
18 ร้อยละโดยน้ำหนักของเมทิลเอสเทอโรที่ผลิตได้จากสภาวะที่เหมาะสมในการเร่งปฏิกิริยาของเอนไซม์ไลเปส	78
19 ค่าคงที่ทางจลนพัสดุศาสตร์โดยใช้วิธีทางกราฟและวิธีเชิงตัวเลขด้วยคอมพิวเตอร์	86
 ตารางผนวกที่	
ก1 วิธีการเตรียมสารละลายพารา-ในไตรฟีโนล ( <i>p</i> -NP) สำหรับการสร้างกราฟมาตรฐานสารพารา-ในไตรฟีโนลสำหรับหาค่ากิจกรรมของเอนไซม์ไลเปส	98
ก2 ค่าดูดกลืนแสงที่ความยาวคลื่น 410 นาโนเมตรในการหาค่าความเข้มข้นของพารา-ในไตรฟีโนลเพื่อหาค่ากิจกรรมของเอนไซม์ไลเปสที่ถูกดึง	101
ข1 วิธีการหาค่าสถิติสำหรับการทดสอบความแปรปรวนสำหรับการออกแบบทดลองแบบ Two-way ANOVA	105
ค1 วิธีการเตรียมสารมาตรฐานของไฮปะเดคาโนอิกเมทิลเอสเทอโร	108
ค2 ข้อมูลพื้นที่ได้กราฟของสารต่างๆในการสร้างกราฟมาตรฐานของเมทิลเอสเทอโร	109
ง1 ผลการทดลองจากการออกแบบการทดลองแบบ Plankett-Burman	116
ง2 ผลการทดลองจากการออกแบบการทดลองแบบ Box-Behnken	119
จ1 การทดสอบความไม่สมรูปของแบบจำลอง และ ข้อมูลการทดลอง	124
จ2 ค่าสถิติของการออกแบบการทดลองแบบ Box-Behnken	126
ฉ1 ค่าร้อยละโดยน้ำหนักของเมทิลเอสเทอโรที่ได้จากการทดลองในสภาวะที่เหมาะสมที่ได้จากการออกแบบการทดลองพื้นผิวลดตอบสนองแบบ Box-Behnken	134

## สารบัญภาพ

ภาพที่	หน้า
1 โครงสร้างโมเลกุลของไตรกลีเซอไรด์ ไอกลีเซอไรด์ และโมโนกลีเซอไรด์	6
2 ปฏิกิริยาทรานส์อสเทอเรวิฟิเคชั่นของไตรกลีเซอไรด์กับแอลกอฮอล์	10
3 การเปลี่ยนแปลงผลิตงานภายในของระบบที่มีปฏิกิริยาเคมีเกิดขึ้น	11
4 การตรวจเอนไซม์แบบเชื่อมไข้วร	15
5 การตรวจเอนไซม์แบบห่อหุ้ม	15
6 โครงสร้างทางเคมีของไกคิน	16
7 โครงสร้างทางเคมีของไกโตซาน	16
8 ความสัมพันธ์ระหว่างอัตราการเกิดปฏิกิริยาเริ่มต้นกับความเข้มข้นของสารตั้งต้นเริ่มต้นชนิดเดียว	18
9 ความสัมพันธ์ระหว่าง $1/V$ กับ $1/[S]$ ตามวิธีของ Lineweaver-Burk	19
10 กลไกการเข้าทำปฏิกิริยาแบบสุ่ม	20
11 กลไกการเข้าทำปฏิกิริยาแบบเป็นลำดับ	20
12 กลไกการเข้าทำปฏิกิริยาแบบปิงปอง	21
13 กลไกของปฏิกิริยาทรานส์อสเทอเรวิฟิเคชั่นของไตรกลีเซอไรด์และเมทานอลด้วยเอนไซม์ไอลเปส	22
14 ความสัมพันธ์ระหว่างค่ากิจกรรมของเอนไซม์ไอลเปสที่ถูกต้องในสภาพการตรวจตามวิธีการออกแบบการทดลองแบบ Two-way ANOVA	44
15 ค่ากลาง ค่ามากที่สุดและค่าน้อยที่สุดของข้อมูลค่ากิจกรรมของเอนไซม์ไอลเปสที่ถูกต้องตามวิธีการออกแบบการทดลองแบบ Two-way ANOVA	45
16 การกระจายของข้อมูลแบบปกติของค่ากิจกรรมของเอนไซม์ไอลเปสที่ถูกต้องตามวิธีการออกแบบการทดลองแบบ Two-way ANOVA	46
17 กราฟของพาราโtopicของการออกแบบการทดลองแบบ Plankett-Burman	52
18 การกระจายแบบปกติของอิทธิพลปัจจัยต่างๆ ในการออกแบบการทดลองแบบ Plankett-Burman	52
19 อิทธิพลหลักของแต่ละปัจจัยในการออกแบบการทดลองแบบ Plankett-Burman	55

## สารบัญภาพ (ต่อ)

ภาพที่	หน้า
20 อิทธิพลร่วมของปัจจัยในการออกแบบการทดลองแบบ Plankett-Burman	56
21 ตำแหน่งของการทดลองแบบ Box-Behnken สำหรับ 3 ปัจจัย ได้แก่ อุณหภูมิ อัตราส่วนโดยไมลของเมทานอลต่อน้ำมันเมล็ดดอกทานตะวัน และ ร้อยละโดยน้ำหนักของเอนไซม์ไอลเปสที่ถูกตรึง	58
22 (ก) กราฟของพื้นผิวแสดงความสัมพันธ์ระหว่างอุณหภูมิของปฏิกิริยา และ อัตราส่วนโดยไมลของเมทานอลต่อน้ำมันเมล็ดดอกทานตะวัน ต่อ FAME ที่ $IM = 50$	67
(ข) กราฟคอนทัวร์แสดงความสัมพันธ์ระหว่างอุณหภูมิของปฏิกิริยา และ อัตราส่วนโดยไมลของเมทานอลต่อน้ำมันเมล็ดดอกทานตะวัน ต่อ FAME ที่ $IM = 50$	67
23 (ก) กราฟของพื้นผิวแสดงความสัมพันธ์ระหว่างอุณหภูมิของปฏิกิริยา และ อัตราส่วนโดยไมลของเมทานอลต่อน้ำมันเมล็ดดอกทานตะวัน ต่อ FAME ที่ $IM = 30$	68
(ข) กราฟคอนทัวร์แสดงความสัมพันธ์ระหว่างอุณหภูมิของปฏิกิริยา และ อัตราส่วนโดยไมลของเมทานอลต่อน้ำมันเมล็ดดอกทานตะวัน ต่อ FAME ที่ $IM = 30$	68
24 (ก) กราฟของพื้นผิวแสดงความสัมพันธ์ระหว่างอุณหภูมิของปฏิกิริยา และ อัตราส่วนโดยไมลของเมทานอลต่อน้ำมันเมล็ดดอกทานตะวัน ต่อ FAME ที่ $IM = 10$	69
(ข) กราฟคอนทัวร์แสดงความสัมพันธ์ระหว่างอุณหภูมิของปฏิกิริยา และ อัตราส่วนโดยไมลของเมทานอลต่อน้ำมันเมล็ดดอกทานตะวันต่อ FAME ที่ $IM = 10$	69
25 (ก) กราฟของพื้นผิวแสดงความสัมพันธ์ระหว่างร้อยละโดยน้ำหนักของเอนไซม์ไอลเปสที่ถูกตรึง และ อัตราส่วนโดยไมลของเมทานอลต่อน้ำมันเมล็ดดอกทานตะวันต่อ FAME ที่ อุณหภูมิ $50^{\circ}\text{C}$	71
(ข) กราฟคอนทัวร์แสดงความสัมพันธ์ระหว่างร้อยละโดยน้ำหนักของเอนไซม์ไอลเปสที่ถูกตรึง และ อัตราส่วนโดยไมลของเมทานอลต่อน้ำมันเมล็ดดอกทานตะวันต่อ FAME ที่ อุณหภูมิ $50^{\circ}\text{C}$	71

## สารบัญภาพ (ต่อ)

ภาพที่	หน้า
26	72
(ก) กราฟของพื้นผิวแสดงความสัมพันธ์ระหว่างร้อยละโดยนำหนักของเอนไซม์ไอลペสที่ถูกตรึง และ อัตราส่วนโดยไมลของเมทานอลต่อน้ำมันเมล็ดดอกทานตะวันต่อ FAME ที่อุณหภูมิ $40^{\circ}\text{C}$	
(ข) กราฟคอนทัวร์แสดงความสัมพันธ์ระหว่างร้อยละโดยนำหนักของเอนไซม์ไอลペสที่ถูกตรึง และ อัตราส่วนโดยไมลของเมทานอลต่อน้ำมันเมล็ดดอกทานตะวัน ต่อ FAME ที่อุณหภูมิ $40^{\circ}\text{C}$	
27	73
(ก) กราฟของพื้นผิวแสดงความสัมพันธ์ระหว่างร้อยละโดยนำหนักของเอนไซม์ไอลペสที่ถูกตรึง และ อัตราส่วนโดยไมลของเมทานอลต่อน้ำมันเมล็ดดอกทานตะวันต่อ FAME ที่อุณหภูมิ $30^{\circ}\text{C}$	
(ข) กราฟคอนทัวร์แสดงความสัมพันธ์ระหว่างร้อยละโดยนำหนักของเอนไซม์ไอลペสที่ถูกตรึง และ อัตราส่วนโดยไมลของเมทานอลต่อน้ำมันเมล็ดดอกทานตะวัน ต่อ FAME ที่อุณหภูมิ $30^{\circ}\text{C}$	
28	75
(ก) กราฟของพื้นผิวแสดงความสัมพันธ์ระหว่างร้อยละโดยนำหนักของเอนไซม์ไอลペสที่ถูกตรึง และ อุณหภูมิต่อ FAME ที่อัตราส่วนโดยไมลของเมทานอล ต่อ น้ำมันเมล็ดดอกทานตะวันเป็น 6:1	
(ข) กราฟคอนทัวร์แสดงความสัมพันธ์ระหว่างร้อยละโดยนำหนักของเอนไซม์ไอล佩สที่ถูกตรึง และ อุณหภูมิต่อ FAME ที่อัตราส่วนโดยไมลของเมทานอล ต่อ น้ำมันเมล็ดดอกทานตะวันเป็น 6:1	
29	76
(ก) กราฟของพื้นผิวแสดงความสัมพันธ์ระหว่างร้อยละโดยนำหนักของเอนไซม์ไอลペสที่ถูกตรึง และ อุณหภูมิต่อ FAME ที่อัตราส่วนโดยไมลของเมทานอล ต่อ น้ำมันเมล็ดดอกทานตะวันเป็น 3.75:1	
(ข) กราฟคอนทัวร์แสดงความสัมพันธ์ระหว่างร้อยละโดยนำหนักของเอนไซม์ไอลペสที่ถูกตรึง และ อุณหภูมิต่อ FAME ที่อัตราส่วนโดยไมลของเมทานอล ต่อ น้ำมันเมล็ดดอกทานตะวันเป็น 3.75:1	

## สารบัญภาพ (ต่อ)

ภาพที่	หน้า
30 (ก) กราฟของพื้นผิวแสดงความสัมพันธ์ระหว่างร้อยละโดยนำหนักของเอนไซม์ไอลเปสที่ถูกตรึง และ อุณหภูมิต่อ FAME ที่อัตราส่วนโดยไมลของเมทานอล ต่อ น้ำมันเมล็ดดอกทานตะวันเป็น 1.5:1 (ข) กราฟคอนทัวร์แสดงความสัมพันธ์ระหว่างร้อยละ โดยนำหนักของเอนไซม์ไอลเปสที่ถูกตรึง และ อุณหภูมิต่อ FAME ที่อัตราส่วนโดยไมลของเมทานอล ต่อ น้ำมันเมล็ดดอกทานตะวันเป็น 1.5:1	77
31 ช่วงค่าเฉลี่ยที่แท้จริงของค่าร้อยละ โดยนำหนักของเมทิลเอสเทอร์ที่ได้จากการวัดที่ เหมาะสม ( $T = 30^\circ \text{C}$ $MO = 6:1$ $IM = 50$ )	79
32 ความสัมพันธ์ระหว่างอัตราการเกิดปฏิกิริยาเริ่มต้นกับความเข้มข้นของน้ำมันเมล็ด ดอกทานตะวันที่ความเข้มข้นของเมทานอลคงตั้งแต่ 20-200 มิลลิโลลาร์	80
33 ความสัมพันธ์ระหว่าง $1/V_i$ และ ส่วนกลับของความเข้มข้นน้ำมันเมล็ดดอก ทานตะวัน	81
34 ความสัมพันธ์ระหว่าง $\frac{K_{m,Tri}}{V_{\max}} \left( 1 + \frac{[MeOH]}{K_{i,MeOH}} \right)$ และ ความเข้มข้นของเมทานอล	82
35 ความสัมพันธ์ระหว่าง $\frac{K_{m,Tri}}{V_{\max}} \left( 1 + \frac{[MeOH]}{K_{i,MeOH}} \right)$ และ ความเข้มข้นของเมทานอลเมื่อ พิจารณาถึงข้อมูลที่ความเข้มข้นของเมทานอลเป็น 200 มิลลิโลลาร์	83
36 ความสัมพันธ์ระหว่าง $\left( \frac{K_{m,MeOH}}{V_{\max}[MeOH]} + \frac{1}{V_{\max}} \right)$ และ ส่วนกลับความเข้มข้น ของเมทานอล	84
37 ความสัมพันธ์ระหว่าง $\left( \frac{K_{m,MeOH}}{V_{\max}[MeOH]} + \frac{1}{V_{\max}} \right)$ และ ส่วนกลับของ ความเข้มข้นเมทานอลเมื่อพิจารณาถึงข้อมูลที่ความเข้มข้นของเมทานอลเป็น 20 100 และ 200 มิลลิโลลาร์	85

## สารบัญภาพ (ต่อ)

ภาพผนวกที่	หน้า
ก1 ภาพมาตรฐานสำหรับหาค่าความเข้มข้นของพารา-ไนโตรฟีโนล	99
ก1 ภาพมาตรฐานของเศปตະเดคาโนอิคเมทิลเอสเทอร์	109
ก2 โครมาโตแกรมที่นำหนักของเศปตະเดคาโนอิคเมทิลเอสเทอร์ 0 มิลลิกรัม	110
ก3 โครมาโตแกรมที่นำหนักของเศปตະเดคาโนอิคเมทิลเอสเทอร์ 9.72 มิลลิกรัม	110
ก4 โครมาโตแกรมที่นำหนักของเศปตະเดคาโนอิคเมทิลเอสเทอร์ 19.44 มิลลิกรัม	111
ก5 โครมาโตแกรมที่นำหนักของเศปตະเดคาโนอิคเมทิลเอสเทอร์ 29.16 มิลลิกรัม	111
ก6 โครมาโตแกรมที่นำหนักของเศปตະเดคาโนอิคเมทิลเอสเทอร์ 38.90 มิลลิกรัม	112
ก7 โครมาโตแกรมที่นำหนักของเศปตະเดคาโนอิคเมทิลเอสเทอร์ 48.60 มิลลิกรัม	112
ก8 โครมาโตแกรมของไบโอดีเซลตัวอย่าง $T = 30^\circ\text{C}$ $MO = 1:6$ $IM = 30$	114
ก1 โครมาโตแกรมของไบโอดีเซลสำหรับยืนยันสภาพที่เหมาะสม $(T = 30^\circ\text{C}$ $MO = 1:6$ $IM = 30)$ ตัวอย่างที่ 1	128
ก2 โครมาโตแกรมของไบโอดีเซลสำหรับยืนยันสภาพที่เหมาะสม $(T = 30^\circ\text{C}$ $MO = 1:6$ $IM = 30)$ ตัวอย่างที่ 2	130
ก3 โครมาโตแกรมของไบโอดีเซลสำหรับยืนยันสภาพที่เหมาะสม $(T = 30^\circ\text{C}$ $MO = 1:6$ $IM = 30)$ ตัวอย่างที่ 3	132
ช1 วิธีการหาค่าอัตราการเกิดปฏิกิริยาเริ่มต้นจากการเปลี่ยนแปลงความเข้มข้น ของสารตัวตัวตัวและสารผลิตภัณฑ์	138
ช2 วิธีการหาค่าอัตราการเกิดปฏิกิริยาเริ่มต้นที่ 10 มิลลิโมลของน้ำมันเมล็ดดอก ทานตะวัน และ 37.5 มิลลิโมลของเมทานอล ที่ $30^\circ\text{C}$	139

### คำอธิบายสัญลักษณ์และคำย่อ

$\circ$	=	องศาเซลเซียส
มก.	=	มิลลิกรัม
มก./มค.	=	มิลลิกรัมต่อมิลลิตร
มล.	=	มิลลิลิตร
$a_X$	=	ความชันของกราฟมาตรฐาน
$A_{is}$	=	พื้นที่ได้พิเศษของสารมาตรฐานภายใน
$A_{FAME}$	=	พื้นที่ได้พิเศษของเมทิลเอสเทอร์
$b_X$	=	จุดตัดแกนวิภาคของกราฟมาตรฐาน
$\beta_0$	=	สัมประสิทธิ์ของเทอมค่าคงที่ของแบบจำลอง
$\beta_i$	=	สัมประสิทธิ์เชิงเส้นของแบบจำลอง
$\beta_{ii}$	=	สัมประสิทธิ์เชิงกำลังสองของแบบจำลอง
$\beta_{ij}$	=	สัมประสิทธิ์เชิงปัจจัยร่วมของแบบจำลอง
$CS$	=	ร้อยละ โดยนำหนักของตัวทำละลายร่วม
df	=	Degree of freedom
$\xi_i$	=	ปัจจัยของการทดลองชนิดที่ i
$FAME$	=	ร้อยละ โดยนำหนักของเมทิลเอสเทอร์
$F_B$	=	Block F-value
$F_{Tr}$	=	Treatment F-value
$H_0$	=	สมมติฐานหลัก
$H_1$	=	สมมติฐานวิจัย
$IM$	=	ร้อยละ โดยนำหนักของเอนไซม์ไลเปสที่ถูกต้อง
$K_{m,tri}$	=	ค่าคงที่ของไนโตรเจลลิสของไตรกลีเซอไรด์
$K_{m,MeOH}$	=	ค่าคงที่ของไนโตรเจลลิสของเมทานอล
$K_{i,MeOH}$	=	ค่าคงที่การยับยั้งปฏิกิริยาของเมทานอล
$\alpha$	=	ระดับนัยสำคัญ
$\alpha_i$	=	อิทธิพลหลักของปัจจัย A
$\gamma_i$	=	อิทธิพลหลักของปัจจัย B

### คำอธิบายสัญลักษณ์และคำย่อ (ต่อ)

$M$	=	ความเข้มข้น (ไมลต์อลิตร)
$MO$	=	อัตราส่วนโดยไมลของเมทานอลต่อน้ำมันเมล็ดดอกทานตะวัน
$MS$	=	Mean square
$MS(B)$	=	Block mean square
$MS(E)$	=	Error mean square
$MS(Tr)$	=	Treatment mean square
$[MeOH]$	=	ความเข้มข้นของเมทานอล
$\mu$	=	ค่าเฉลี่ยของประชากร
$\mu\text{mol/ml}$	=	ไมโครไมลต์มิลลิลิตร
$P$	=	ค่าสถิติ P
$pH$	=	ค่าความเป็นกรดด่าง
$p\text{-NPP}$	=	พารา-ไนโตรฟีน-il ปาล์มมิเตด
$p\text{-NP}$	=	พารา-ไนโตรฟีโนล
$R^2$	=	ค่าสหสัมพันธ์ของแบบจำลอง
$R^2\text{-adj}$	=	ค่าสหสัมพันธ์ที่มีการปรับแก้ค่าของแบบจำลอง
$S$	=	ค่าผิดพลาดมาตรฐาน
$SS(B)$	=	Sum of square of block
$SS(E)$	=	Sum of square of error
$SS(T)$	=	Sum of square total
$SS(Tr)$	=	Sum of square of treatment
$STTP$	=	โซเดียมไตรโพลิฟอสเฟต
$[Sunflower oil]$	=	ความเข้มข้นของน้ำมันเมล็ดดอกทานตะวัน
$T$	=	อุณหภูมิ
$T$	=	ค่าสถิติ T
$[Trigly]$	=	ความเข้มข้นของไตรกลีเซอไรด์
$U$	=	หน่วยของกิจกรรมการเร่งดีวย่อนใช้มี

(12)

### คำอธิบายสัญลักษณ์และคำย่อ (ต่อ)

$V_i$	=	อัตราการเกิดปฏิกิริยา
$V_i^e$	=	อัตราการเกิดปฏิกิริยาที่ได้จากการทดลอง
$V_i^m$	=	อัตราการเกิดปฏิกิริยาที่ได้จากการทดลองจำลองทางชลนพลศาสตร์
$V_{max}$	=	อัตราการเกิดปฏิกิริยาสูงสุด
%v/v	=	ร้อยละ โดยปริมาตรต่อปริมาตร
$W$	=	ร้อยละ โดยน้ำหนักของน้ำ
$W_{FAME}$	=	น้ำหนักของเมทิลเอสเทอร์ (mg)
$\bar{x}$	=	ค่าเฉลี่ยของตัวอย่าง
$y$	=	ค่าตอบสนองจากการทดลอง
$\hat{y}$	=	ค่าตอบสนองแบบจำลอง

# การใช้สถิติในการหาปัจจัยที่เหมาะสมของการผลิตไบโอดีเซลจากน้ำมันทานตะวันและ เอนไซม์ไอลิเปสที่ถูกตรึง

## Statistical Application to obtain the Optimum Condition of Biodiesel production from Sunflower Oil and Immobilized Lipase

### คำนำ

ในปัจจุบันมนุษย์ใช้ทรัพยากรธรรมชาติต่างๆ ทั้งรูปแบบ อาหาร แร่ธาตุ และพลังงาน แต่เนื่องจากประชากรมนุษย์เพิ่มปริมาณขึ้นอย่างมากในระยะเวลาอันสั้น ทำให้ทรัพยากรธรรมชาติลดลงจนก่อให้เกิดปัญหาความขาดแคลนทรัพยากรธรรมชาติต่างๆ ปัญหาที่สำคัญประการหนึ่ง คือ ขาดแคลนแหล่งพลังงาน โดยเฉพาะอย่างยิ่งการขาดแคลนเชื้อเพลิงที่ได้จากฟอสซิล เช่น น้ำมันก๊าซโซลิน (Gasoline Oil) และน้ำมันดีเซล (Diesel Oil) โดยเฉพาะอย่างยิ่ง น้ำมันดีเซลซึ่งถูกใช้ในปริมาณมากในแต่ละปี เนื่องจากเป็นน้ำมันเชื้อเพลิงหลักในการขนส่งและการผลิต ประกอบกับพลังงานทดแทนที่ใช้ทดแทนเชื้อเพลิงที่ได้จากฟอสซิลที่นำมาใช้ทดแทนน้ำมันก๊าซโซลิน และดีเซล เช่น ก๊าซธรรมชาติที่อาจหมดไปได้ในอนาคตอันใกล้ ด้วยเหตุนี้จึงมีความจำเป็นที่ต้องมีการศึกษาและวิจัยหาแหล่งเชื้อเพลิงทดแทนใหม่ๆ เพื่อแก้ปัญหาการขาดแคลนน้ำมันเชื้อเพลิง ซึ่งแนวทางที่ดีประการหนึ่งคือการนำพลังงานที่ไม่มีวันหมดไปมาใช้ทดแทน (พิสมัย, 2544)

ไบโอดีเซล (Biodiesel) เป็นเชื้อเพลิงทดแทนที่มีศักยภาพ และมีข้อดีในหลายประการ เช่น วัตถุคุณภาพหลักที่ใช้ในการผลิตสามารถผลิตได้จากแหล่งพลังงานที่ไม่มีวันหมดไป เช่น น้ำมันจากพืช และเมล็ดพืชใหม่ในครัวเรือนตั้งแต่ก่อให้เกิดการบ่อนบนของไชต์ อนุภาคผุ่นผงขนาดเล็ก และสารไฮโดรคาร์บอนที่ไม่เผาไหม้ในปริมาณต่ำ การผลิตไบโอดีเซลสามารถทำได้ด้วยปฏิกรรมทางรานส์ เอสเทอโรฟิเกชั่นของน้ำมันจากพืช สัตว์ หรืออุดลสาหร่าย กับแอลกอฮอล์ โดยจำเป็นต้องใช้ตัวเร่งปฏิกรรมเพื่อช่วยให้ปฏิกรรมเกิดขึ้น ได้เร็วขึ้น โดยตัวเร่งปฏิกรรมมีหลายชนิด ได้แก่ ตัวเร่งปฏิกรรมชนิดกรด เปส และตัวเร่งปฏิกรรมด้วยเอนไซม์ไอลิเปสเป็นต้น

เอนไซม์ไอลิเปสเป็นเอนไซม์ที่ถูกใช้อย่างกว้างขวางในอุตสาหกรรมหลายประเภท ตัวอย่างเช่น อุตสาหกรรมอาหาร และอุตสาหกรรมเกษตร เอนไซม์ไอลิเปสสามารถนำมาใช้ผลิตไบโอดีเซลเพื่อ

ทดลองตัวเร่งปฏิกิริยาชนิดกรดหรือเบส โดยถึงแม้ว่าตัวเร่งปฏิกิริยาชนิดกรด หรือเบสมีข้อดี คือสามารถให้ร้อยละ โดยน้ำหนักของเมทิลเอสเทอร์ในปริมาณสูง แต่ย่างไรก็ดีตัวเร่งปฏิกิริยาชนิดกรด หรือเบสยังพบว่ามีข้อเสียอีกหลายประการ เช่น ใช้อุณหภูมิระห่วงทำปฏิกิริยาค่อนข้างสูงกว่า  $60^{\circ}\text{C}$  ซึ่งจำเป็นต้องมีการอุ่นน้ำมันก่อนทำปฏิกิริยา ทำให้ต้องใช้พลังงานในการผลิต อีกทั้งตัวเร่งปฏิกิริยาชนิดกรดหรือเบส เป็นตัวเร่งปฏิกิริยาแบบเอกพันธุ์ (Homogenous Catalyst) จึงจำเป็นต้องมีกระบวนการแยกเอาตัวเร่งปฏิกิริยาออกจากผลิตภัณฑ์ที่ผลิต ได้อาจทำการแยกด้วยน้ำ ทั้งนี้น้ำล้างผลิตภัณฑ์ที่มีตัวเร่งปฏิกิริยากรดหรือเบสอยู่ เมื่อถูกปล่อยให้ปนเปื้อนไปกับสิ่งแวดล้อมอาจก่อให้เกิดปัญหาสิ่งแวดล้อมตามมาได้ ในขณะที่เอนไซม์ไอลเปสมีข้อดีหลายประการคือ สามารถเร่งปฏิกิริยาที่อุณหภูมิปกติ จึงไม่จำเป็นต้องใช้พลังงานในการอุ่นน้ำมัน อีกทั้งสามารถตีริงเอนไซม์ไอลเปสในวัสดุได้หลายชนิดซึ่งทำให้สามารถแยกเอนไซม์ไอลเปสที่ถูกต้องออกจากผลิตภัณฑ์ได้สะดวกและสามารถใช้เอนไซม์ไอลเปสที่ถูกต้องช้าได้หลายครั้ง นอกจากนี้ใบโอดีเซลที่ผลิตได้จากเอนไซม์ไอลเปสที่ถูกต้อง ไม่จำเป็นต้องล้างผลิตภัณฑ์ที่ได้ด้วยน้ำทำให้ลดต้นทุนที่เกิดจากการนำบัดน้ำทิ้งจากการผลิตใบโอดีเซลได้

โดยปกติงานวิจัยที่เกี่ยวข้องกับการผลิตใบโอดีเซลจากเอนไซม์ไอลเปสมีตัวแปรที่ต้องศึกษา หลายตัวแปร งานวิจัยนี้มีจุดมุ่งหมายประการหนึ่ง คือ สามารถเป็นแนวทางให้ผู้วิจัยศึกษาการผลิตใบโอดีเซลจากเอนไซม์ไอลเปสสามารถพิจารณาได้ว่าควรศึกษาปัจจัยใดเป็นสำคัญ ซึ่งทำให้ผู้วิจัยสามารถลดจำนวนปัจจัยที่ศึกษาลงได้ โดยอาศัยวิธีการทางสถิติแต่ยังคงทำให้งานวิจัยที่ได้มีคุณภาพและใช้ทรัพยากรในการวิจัยประหยัดและมีประสิทธิภาพสูงสุด

## วัตถุประสงค์

1. เพื่อหาสภาวะที่เหมาะสมในการตรึงเอนไซม์ไลเปสโดยใช้สถิติค่าวิธีการออกแบบการทดลองแบบ Two-way ANOVA
2. เพื่อศึกษาปัจจัยที่มีอิทธิพลในกระบวนการผลิตใบโอดีเซลจากน้ำมันเมล็ดดอกทานตะวัน และเมทานอลโดยใช้เอนไซม์ไลเปสที่ถูกตรึงโดยใช้สถิติค่าวิธีการออกแบบการทดลองแบบ Plankett-Burman
3. เพื่อศึกษาหาสภาวะที่เหมาะสมในการผลิตใบโอดีเซลจากน้ำมันเมล็ดดอกทานตะวันและ เมทานอลโดยใช้เอนไซม์ไลเปสที่ถูกตรึงโดยใช้สถิติค่าวิธีการออกแบบการทดลองแบบ Box-Behnken
4. เพื่อศึกษาหาค่าคงที่ทางจนผลศาสตร์ของปฏิกิริยาทรานส์อสเตอเรติฟิเกชั่นของน้ำมัน เมล็ดดอกทานตะวันและเมทานอลโดยใช้เอนไซม์ไลเปสที่ถูกตรึง

## ขอบเขตงานวิจัย

1. ศึกษาสภาวะที่เหมาะสมในการตรึงเอนไซม์ไลเปสจากจุลินทรีย์ *Pseudomonas fluorescne* โดยปัจจัยที่ศึกษาประกอบด้วย อัตราส่วนโดยน้ำหนักของเอนไซม์ไลเปสต่อสารละลายไกโตซาน และ ร้อยละโดยปริมาตรของกรดอะซิติก
2. ศึกษาอิทธิพลของปัจจัยที่มีต่อการผลิตใบโอดีเซลจากน้ำมันเมล็ดดอกทานตะวันและ เมทานอลโดยใช้เอนไซม์ไลเปสที่ถูกตรึง โดยปัจจัยที่ศึกษาได้แก่
  - อุณหภูมิ ในช่วง 30 – 50 ° ซ
  - อัตราส่วนโดยไมลของเมทานอลต่อน้ำมันเมล็ดดอกทานตะวัน ในช่วง 1.5:1 – 6:1
  - ร้อยละ โดยน้ำหนักของเอนไซม์ไลเปสที่ถูกตรึง ในช่วง 10 – 50
  - ร้อยละ โดยน้ำหนักของตัวทำละลายร่วม (นอร์มอล-เซกเซน) ในช่วง 0 – 10
  - ร้อยละ โดยน้ำหนักของน้ำ ในช่วง 0 – 6

3. สร้างแบบจำลองทางคณิตศาสตร์เพื่อทำนายค่าร้อยละโดยนำหนักของเมทิลเอสเทอร์ที่สกาวต่างๆ และศึกษาสกาวที่เหมาะสมของการผลิตไบโอดีเซลจากน้ำมันเมล็ดดอกทานตะวันและเมทานอลโดยใช้ออนไซซ์ไมเพลสที่ถูกต้อง โดยปัจจัยที่ศึกษาได้แก่

อุณหภูมิ ในช่วง  $30 - 50^\circ\text{C}$

อัตราส่วนโดยไมลของเมทานอลต่อน้ำมันเมล็ดดอกทานตะวัน ในช่วง  $1.5:1 - 6:1$

ร้อยละโดยนำหนักของออนไซซ์ไมเพลสที่ถูกต้อง ในช่วง  $10 - 50$

4. ศึกษาค่าคงที่ทางจำนวนพลศาสตร์ของการผลิตเมทิลเอสเทอร์จากน้ำมันเมล็ดดอกทานตะวันและเมทานอลด้วยออนไซซ์ไมเพลสที่ถูกต้อง

## การตรวจเอกสาร

### 1. ไขมันและน้ำมัน

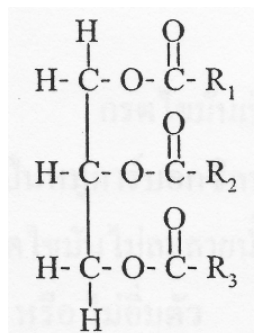
ไขมันและน้ำมันที่พบในสัตว์และพืชเป็นสารประกอบที่ไม่ละลายนำโดยเป็นของผสมของไตรกลีเซอไรด์ (Triglyceride) 90 – 98% ไดกเลอเรอิค (Diglyceride) และ โมโนกลีเซอไรด์ (Monoglyceride) ปริมาณเล็กน้อย นอกจากนี้ยังอาจประกอบด้วยกรดไขมันอิสระ (Fatty acid) ซึ่งเกิดจากปฏิกิริยาเคมีระหว่างการเก็บรักษา ทั้งนี้องค์ประกอบต่างๆของสารในไขมันและน้ำมันเป็นดังนี้

#### 1.1 ไตรกลีเซอไรด์

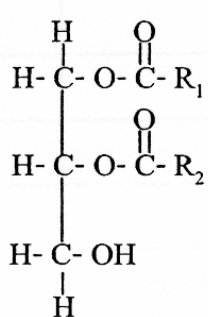
ไตรกลีเซอไรด์เป็นเอสเทอร์ของกรดไขมันจำนวน 3 โมเลกุล และ กลีเซอรอลจำนวน 1 โมเลกุล โดยปกติน้ำมันที่พบในธรรมชาติซึ่งสามารถจำแนกตามแหล่งที่มาได้ 2 แหล่งคือ น้ำมันจากพืชซึ่งมักประกอบด้วยไตรกลีเซอไรด์ซึ่งมักประกอบด้วยกรดไขมันไม่อิมตัว และน้ำมันจากสัตว์ซึ่งมักประกอบด้วยกรดไขมันอิมตัว (Ma and Hanna, 1999)

#### 1.2 ไดกเลอเรอิคและ โมโนกลีเซอไรด์

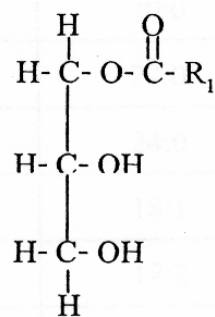
ไดกเลอเรอิคและ โมโนกลีเซอไรด์เป็นเอสเทอร์ของกลีเซอรอลกับกรดไขมันจำนวนหนึ่ง และสองโมเลกุลตามลำดับ โดยยังคงมีหมู่ไฮดรอกซิล (-OH) อิสระเหลืออยู่ โดยไดกเลอเรอิค และ โมโนกลีเซอไรด์จะเหลือหมู่ไฮดรอกซิลอยู่จำนวนหนึ่งและสองหมู่ตามลำดับ ดังแสดงในภาพที่ 1 โดย  $R_1$ ,  $R_2$  และ  $R_3$  คือกรดไขมัน



ไตรกลีเซอไรด์



1,2- ไดกเลอิเซอไรด์



1- โนโนกเลอิเซอไรด์

**ภาพที่ 1 โครงสร้างโมเลกุลของไตรกลีเซอไรด์ ไดกเลอิเซอไรด์ และโนโนกเลอิเซอไรด์**

### 1.3 กรดไขมัน

กรดไขมันเป็นกรดอินทรีย์ที่ส่วนมากมีจำนวนคาร์บอนอะตอมระหว่าง 4-24 โดยปลายข้างหนึ่งเป็นหมู่คาร์บอชิลป์ลายอิกข้างหนึ่งเป็นสายโซ่ยาวของไฮด्रอคราร์บอนที่ไม่มีข้อซึ่งทำให้กรดไขมันไม่คล้ายน้ำ โดยในธรรมชาติกรดไขมันจะมีจำนวนคาร์บอนเป็นเลขคู่โดยเป็นสายโซ่ยาวที่อิมตัวหรือไม่ก็ได้

ทั้งนี้กรดไขมันที่พบในพืชและสัตว์มักจะมีจำนวนคาร์บอนอะตอมเป็นเลขคู่ระหว่าง 14-22 อะตอม โดยจำนวนคาร์บอนในโนโนกรดระหว่าง 16 และ 18 จะพบได้มากที่สุด (ดูยถี, 2549) ลักษณะสำคัญประการหนึ่งของกรดไขมันคือเกลือของกรดไขมันสามารถสร้างไฮเซลล์ในน้ำได้และไม่เซลล์สามารถคงรูปอยู่ได้ด้วยอันตรกิริยาแบบไฮโดรโฟบิก (อาภัสสรา, 2537) ทั้งนี้โครงสร้างทางเคมีของกรดไขมันทั่วไปแสดงได้ดังตารางที่ 1 และชนิดของกรดไขมันที่พบได้ทั่วไปในน้ำมันพืชชนิดต่างๆ แสดงได้ดังตารางที่ 2

ตารางที่ 1 โครงสร้างทางเคมีของกรดไขมันทั่วไป

Fatty acid	Structure name	Structure	Formula
Lauric	Decanoic	12:0	C <sub>12</sub> H <sub>24</sub> O <sub>2</sub>
Myristic	Tetradecanoic	14:0	C <sub>14</sub> H <sub>28</sub> O <sub>2</sub>
Palmitic	Hexadecanoic	16:0	C <sub>16</sub> H <sub>32</sub> O <sub>2</sub>
Stearic	Octadecanoic	18:0	C <sub>18</sub> H <sub>36</sub> O <sub>2</sub>
Arachidic	Eicosanic	20:0	C <sub>20</sub> H <sub>40</sub> O <sub>2</sub>
Behenic	Docosanoic	22:0	C <sub>22</sub> H <sub>44</sub> O <sub>2</sub>
Lignoceric	Tetracosanoic	24:0	C <sub>24</sub> H <sub>48</sub> O <sub>2</sub>
Oleic	Cis-9- Octadecanoic	18:1	C <sub>18</sub> H <sub>34</sub> O <sub>2</sub>
Linoleic	Cis-9,cis-12- Octadienoic	18:2	C <sub>18</sub> H <sub>32</sub> O <sub>2</sub>
Linolenic	Cis-9,cis-12,cis-15- Octatrienoic	18:3	C <sub>18</sub> H <sub>30</sub> O <sub>2</sub>
Erueic	Cis-13-Docosenoic	22:1	C <sub>22</sub> H <sub>42</sub> O <sub>2</sub>

ที่มา: Srivastava and Prasad (2000)

ตารางที่ 2 องค์ประกอบทางเคมีของน้ำมันพืช

Vegetable oil	Fatty acid composition, wt%								
	16:0	18:0	20:0	22:0	24:0	18:1	22:1	18:2	18:3
Corn	12	2	-	0	0	25	0	6	-
Cottonseed	28	1	0	0	0	13	0	58	0
Linseed	5	2	0	0	0	20	0	18	55
Peanut	11	2	1	2	1	48	0	32	1
Rapeseed	3	1	0	0	0	64	0	22	8
High oleic sunflower	5	2	Tr	0	0	79	0	13	0
Sunflower	6	3	0	0	0	17	0	74	0
Soya bean	12	3	0	0	0	23	0	55	6

ที่มา: Srivastava and Prasad (2000)

## 2. ไบโอดีเซล

ไบโอดีเซล คือแอลกิลเอสเทอร์ (Alkyl Esters) ของกรดไขมัน สามารถผลิตได้จากไขมันหรือน้ำมันจากพืชหรือสัตว์ มีคุณสมบัติที่สามารถนำมาใช้เป็นเชื้อเพลิงได้คือ มีความหนืดใกล้เคียงกับน้ำมันดีเซล มีความคงตัวคือมีการเปลี่ยนแปลงความหนืดน้อยมากเมื่ออุณหภูมิเปลี่ยนแปลง มีจุดควบไฟที่สูงกว่าน้ำมันดีเซลจึงทำให้มีความปลอดภัยในการขนส่งและการจัดเก็บ มีชาติออกซิเจนเป็นองค์ประกอบสูงถึง 10 – 11 เปอร์เซนต์โดยน้ำหนัก จึงทำให้การเผาไหม้ในเครื่องยนต์มีความสมบูรณ์มากกว่า ซึ่งคุณสมบัติทางกายภาพและเคมีของไบโอดีเซลสามารถแสดงได้ดังตารางที่ 3

ตารางที่ 3 คุณสมบัติทางกายภาพและทางเคมีของน้ำมันไบโอดีเซล

Vegetable Oil methyl ester	Kinematic viscosity (mm <sup>2</sup> /s)	Cetane Number	Lower heating value (MJ/l)	Cloud point (°C)	Flash point (°C)	Density (g/ml)	Sulfur content (wt%)
Peanut <sup>a</sup>	4.9 (37.8 °C)	54	33.6	5	176	0.883	-
Soybean <sup>a</sup>	4.5 (37.8 °C)	45	33.5	1	178	0.885	-
Soybean <sup>b</sup>	4 (40.0 °C)	45.7-46	32.7	-	-	0.880 (15 °C)	-
Babassu <sup>a</sup>	3.6 (37.8 °C)	63	31.8	4	127	0.879	-
Palm <sup>a</sup>	5.7 (37.8 °C)	62	33.5	13	164	0.880	-
Palm <sup>b</sup>	4.3-4.5 (40 °C)	64.3-70	32.4	-	-	0.872-0.877 (15 °C)	-
Sunflower <sup>a</sup>	4.6 (37.8 °C)	49	33.5	1	183	0.860	-
Tallow <sup>a</sup>	-	-	-	12	96	-	-
Rapeseed <sup>b</sup>	4.2 (40 °C)	51-59.7	32.8	-	-	0.882	0.002
Used rapeseed <sup>c</sup>	9.8 (30 °C)	53	36.7	-	192	0.895	0.0013
Used corn oil <sup>c</sup>	6.23 (30 °C)	63.9	42.3	-	166	0.884	-
Diesel fuel <sup>b</sup>	1.2-3.5 (40 °C)	51	35.5	-	-	0.830-0.840 (15 °C)	0.05

ที่มา: <sup>a</sup>Srivastava and Prasad (2000)

<sup>b</sup>Varese and Varese (1996)

<sup>c</sup>Yamane *et al.*, (2001)

ในปัจจุบันการผลิตไบโอดีเซลเป็นการนำน้ำมันพืช หรือสัตว์ตลอดจนน้ำมันที่ผ่านการใช้งานแล้วมาผ่านการเปลี่ยนแปลงทางเคมีโดยการทำปฏิกิริยากับแอลกอฮอล์ เช่น เมทานอล หรือ เอทานอล โดยปฏิกิริยานี้จำเป็นต้องอาศัยตัวเร่งปฏิกิริยาเพื่อเปลี่ยนให้เป็นแอลกอฮอล์และกลีเซอรอล

## 2.1 กระบวนการผลิตไบโอดีเซล

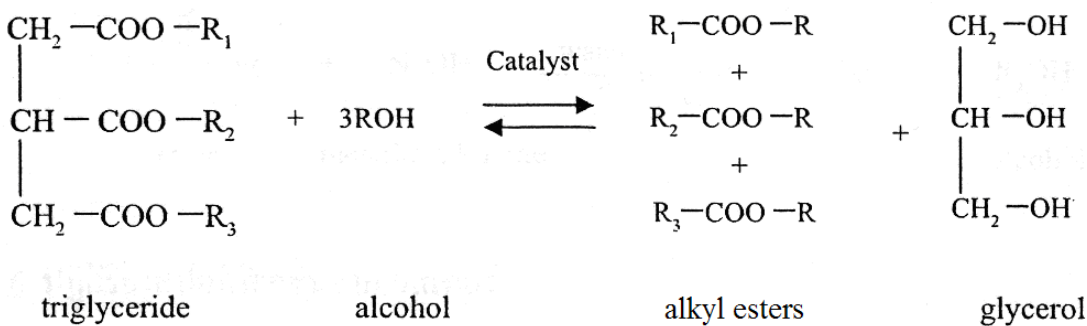
ในปัจจุบันมีวิธีการผลิตไบโอดีเซลหลายวิธี ทั้งนี้อาจแบ่งวิธีการผลิตได้เป็น 3 วิธี (Khan, 2002) คือ

### 2.1.1 การใช้โดยตรงและการผสม (Direct Use and Blending)

วิธีการใช้โดยตรงอาจสามารถเติมน้ำมันพืชบริสุทธิ์ได้โดยตรงกับเครื่องยนต์ดีเซลเนื่องจากในการออกแบบเครื่องยนต์ดีเซลตั้งแต่เริ่มต้นก็มีวัตถุประสงค์ให้ใช้น้ำมันพืชหรือสัตว์ในการเป็นเชื้อเพลิงอยู่แล้ว แต่ในอดีตน้ำมันดีเซลจากปีโตรเลียมมีราคาถูกจึงทำให้มีการพัฒนาเครื่องยนต์ดีเซลให้เหมาะสมกับน้ำมันดีเซลจากปีโตรเลียมมากกว่าที่จะใช้น้ำมันจากพืชและสัตว์โดยตรง ดังนั้นวิธีการใช้โดยตรงจึงอาจเหมาะสมกับเครื่องยนต์ดีเซลที่ใช้ในภาคอุตสาหกรรมเกษตรในครัวเรือน แต่อาจไม่เหมาะสมกับภาคอุตสาหกรรมขนาดใหญ่ ทั้งนี้เนื่องจากน้ำมันจากพืชหรือสัตว์ที่ไม่ผ่านกระบวนการผลิตเป็นไบโอดีเซลอาจมีความหนืดสูง มีปริมาณกรดไขมันอิสระและยางเหนียวที่เกิดจากปฏิกิริยาออกซิเดชันและพอลิเมอร์ไรเซชันในระหว่างการเก็บรักษา (Fukuda *et al.*, 2001) แต่อย่างไรก็ตามมีรายงานการทดลองว่าการผสมน้ำมันพืชลงไบโคน้ำมันดีเซลในอัตราส่วน น้ำมันพืชต่อน้ำมันดีเซลในอัตราส่วน 1:10 ถึง 2:10 สามารถนำไปใช้งานได้ (ดุษฎี, 2549)

### 2.1.2 ปฏิกิริยาtranส์อสเทอโรฟิเคชัน (Transesterification Reaction)

ปฏิกิริยาtranส์อสเทอโรฟิเคชันเป็นปฏิกิริยาเคมีระหว่างไขมันกับแอลกอฮอล์เพื่อเปลี่ยนรูปให้เป็นสารประกอบอสเทอร์โดยมีผลิตภัณฑ์ร่วมคือกลีเซอรอล ซึ่งปฏิกิริยาทั่วไปแสดงได้ดังภาพที่ 2



## ภาพที่ 2 ปฏิกิริยาtranส์อสเทอโรฟิเคชั่นของไตรกลีเซอไรด์กับแอลกอฮอล์

ทั้งนี้ปฏิกิริยาtranส์อสเทอโรฟิเคชั่นเป็นปฏิกิริยาผันกลับได้ โดยปฏิกิริยาเริ่มจากไตรกลีเซอไรด์ถูกเปลี่ยนเป็นไอกลีเซอไรด์ จากนั้นไอกลีเซอไรด์จะถูกเปลี่ยนเป็นโนโนกลีเซอไรด์ และ โนโนกลีเซอไรด์จะถูกเปลี่ยนเป็นกลีเซอรอล ซึ่งในแต่ละขั้นตอนจะได้ผลิตภัณฑ์เป็นอสเทอเรนนิ่งโมเลกุล โดยอัตราส่วนโดยโมลของเมทานอลต่อไตรกลีเซอไรด์คือ 3:1 หรืออาจเพิ่มขึ้นเป็น 6:1 เพื่อเพิ่มผลผลิต ทั้งนี้ตัวร่วงปฏิกิริยาที่ใช้อาจเป็นสารละลายกรด สารละลายเบส และเอนไซม์ไลප์ และแอลกอฮอล์ที่ใช้ในปฏิกิริยาได้แก่ เมทานอล เอทานอล โพրพานอล บิวทานอล และเอมิลแอลกอฮอล์

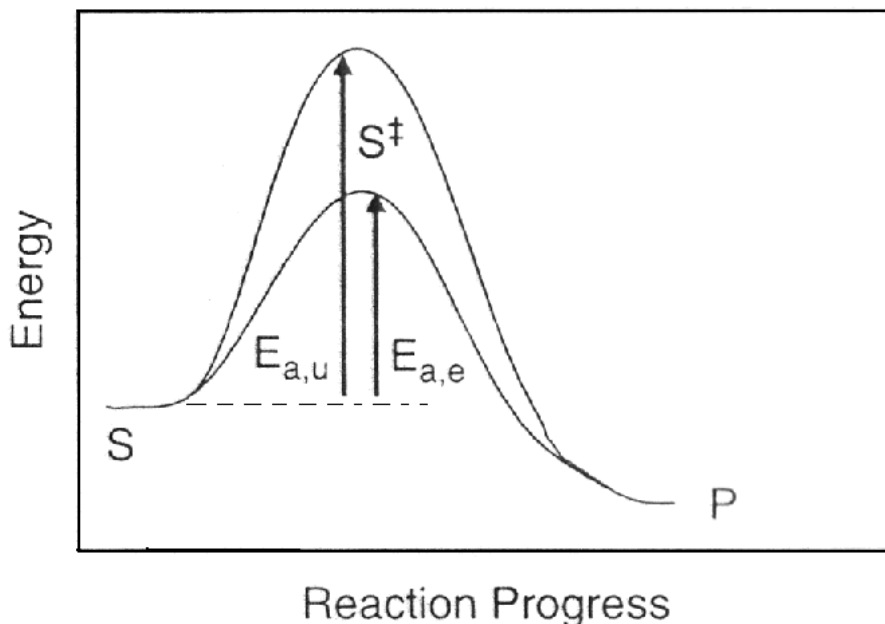
### 2.1.3 ปฏิกิริยาเมทานอลเหนืออิกกุต (Supercritical Methanol)

ปฏิกิริยาtranส์อสเทอโรฟิเคชั่นสามารถเกิดได้โดยปราศจากตัวเร่งปฏิกิริยาโดยใช้เมทานอลที่สภาวะเหนืออิกกุต ซึ่งจะต้องทำปฏิกิริยาที่อุณหภูมิและความดันสูงซึ่งอาจต้องทำให้ใช้ต้นทุนในการผลิตสูงเพื่อสร้างสภาวะดังกล่าว แต่มีข้อดีคือให้สารผลิตภัณฑ์ที่มีความบริสุทธิ์สูง (Nagesha *et al.*, 2004)

## 3. เอนไซม์ไลප์

เอนไซม์ไลเปสจะจัดเป็นเอนไซม์ประเภท Triglycerol Acylhydrolases ตาม The International Union of Biochemistry (IUB) System มีรหัสเป็น EC.3.1.1.3 โดยทำหน้าที่เร่งการย่อยสลายโมเลกุลของน้ำมันและไขมันได้ผลิตภัณฑ์เป็นกรดไขมันอิสระ ไอกลีเซอไรด์ โนโนกลีเซอไรด์ และกลีเซอรอล ปฏิกิริยาการย่อยสลายนี้สามารถผันกลับได้ในระบบที่มีน้ำอยู่ (Microaqueous) หรือในระบบของตัวทำละลายอินทรีย์ โดยปฏิกิริยาผันกลับได้ในพบรากท์ที่ห้องปฏิบัติการคือปฏิกิริยาtranส์อสเทอโรฟิเคชั่น และอสเทอโรฟิเคชั่น

เอนไซม์ไอลเปสมีคุณสมบัติในการเป็นตัวเร่งปฏิกิริยาทางชีวภาพโดยทำหน้าที่ลดพลังงานกระตุ้น (Activation Energy) ของปฏิกิริยา ทั้งนี้ทำให้ปฏิกิริยาสามารถเกิดได้เร็วขึ้นแต่ไม่ทำให้สมดุลเคมีของปฏิกิริยาเปลี่ยนแปลงไป (Marangoni, 2003) ดังแสดงในภาพที่ 3



ภาพที่ 3 การเปลี่ยนแปลงพลังงานภายในของระบบที่มีปฏิกิริยาเคมีเกิดขึ้น

ที่มา: Marangoni, 2003

เมื่อ  $S$  = สารตั้งต้น

$P$  = สารผลิตภัณฑ์

$E_{a,e}$  = พลังงานกระตุ้นเมื่อมีเอนไซม์เป็นตัวเร่งปฏิกิริยาในระบบ

$E_{a,u}$  = พลังงานกระตุ้นที่ไม่มีเอนไซม์เป็นตัวเร่งปฏิกิริยา

$S^{\ddagger}$  = สารตั้งต้นในสภาพกระตุ้น

ทั้งนี้ข้อดีของปฏิกิริยาเคมีที่มีการเร่งด้วยเอนไซม์ที่ดีกว่าตัวเร่งปฏิกิริยาเคมีชนิดอื่นคือ (Lee, 1992)

1. เอนไซม์มีความจำเพาะเจาะจงกับสารตั้งต้นสูง
  2. เอนไซม์มีเสถียรภาพดีเมื่อมีการเก็บบันทึกพำนัก
  3. อัตราการเกิดปฏิกิริยาด้วยเอนไซม์ที่มักจะมีค่าสูงกว่าปฏิกิริยาชนิดเดียวกันที่ถูกเร่งโดยตัวเร่งปฏิกิริยาทางเคมี
  4. สภาวะของปฏิกิริยา เช่น อุณหภูมิ ความดัน และค่าความเป็นกรดและด่างมักเป็นสภาวะไม่รุนแรง
  5. สามารถพัฒนาให้ใช้เอนไซม์หลายชนิดในปฏิกิริยาเดียวกันได้
  6. ผลิตภัณฑ์มักไม่ปนเปื้อนไปด้วยเอนไซม์จึงเหมาะสมกับการผลิตอาหารและยา
  7. สามารถหดปฏิกิริยาได้ง่ายโดยการแยกเอาเอนไซม์ออกไปโดยเฉพาะเอนไซม์ที่ถูกต้องบนตัวพำนัก
  8. สามารถแยกเอนไซม์ออกจากผลิตภัณฑ์ได้ง่าย
- 3.1 แหล่งของเอนไซม์ไอลิปase

ไอลิปase เป็นเอนไซม์ที่สำคัญในเมตาบólism (Metabolism) ของน้ำมันหรือไขมันในเซลล์ของสิ่งมีชีวิต ดังนั้นจึงสามารถพบในเอนไซม์ไอลิปase ได้ทั้งในสัตว์ พืช และจุลินทรีย์ (ณกัญภัทร, 2547)

#### 3.1.1 เอนไซม์ไอลิปase จากสัตว์ (Animal Lipase)

เอนไซม์ไอลิปase จากสัตว์ชนิดแรกที่มนุษย์ค้นพบคือเอนไซม์ไอลิปase จากตับอ่อน (Pancreatic Lipase) ซึ่งทำหน้าที่ย่อยสลายไขมันในน้ำนมในระบบย่อยอาหารของสัตว์เลี้ยงลูกด้วยนม ซึ่งเอนไซม์ชนิดดังกล่าวเป็นเอนไซม์ที่ผลิตโดยเนื้อเยื่อ (Tissue Lipase) ปัจจุบันนักวิทยาศาสตร์สนใจเอนไซม์ไอลิปase จากสัตว์ตระกูล Canine เนื่องจากมีลำดับของรหัสพันธุกรรมในไอลิปase จากมนุษย์ ซึ่งอาจใช้ทดสอบเอนไซม์ไอลิปase จากตับอ่อนของมนุษย์สำหรับมนุษย์ที่ไม่สามารถสร้างเอนไซม์ไอลิปase ได้

#### 3.1.2 เอนไซม์ไอลิปase จากพืช (Plant Lipase)

เอนไซม์ไอลิปase จากพืชพบได้ในส่วนต่างๆ ของพืชที่มีการสะสมน้ำมัน เช่น ผลปาล์ม เมล็ดข้าวโพด เมล็ดถั่วเหลือง เมล็ดดอกทานตะวัน มะกอก ข้าวสาลี และข้าวเจ้าเป็นต้น ซึ่งเอนไซม์

ไอลเปสที่ผลิตจากพืชจะมีความจำเพาะต่อชั้นเศรษฐกิจ สูง มีสมบัติจำเพาะซึ่งไม่สามารถพบคุณลักษณะดังกล่าวในสัตว์เลี้ยงลูกด้วยนม และจุลินทรีย์

### 3.1.3 เอนไซม์ไอลเปสจากจุลินทรีย์ (Microbial Lipase)

เอนไซม์ไอลเปสจากจุลินทรีย์นับว่ามีความหลากหลายมากที่สุดเมื่อเปรียบเทียบกับเอนไซม์ไอลเปสจากสัตว์และพืช นอกจากนี้ยังสกัดออกมาจากเชลล์จุลินทรีย์ได้สะดวกกว่าการสกัดจากเนื้อเยื่อของสัตว์และพืช จึงทำให้เอนไซม์ไอลเปสจากจุลินทรีย์ถูกนำไปใช้อย่างกว้างขวางในอุตสาหกรรมทางด้านเทคโนโลยีชีวภาพ

## 3.2 ความจำเพาะของเอนไซม์ไอลเปส

การศึกษาความจำเพาะของเอนไซม์ไอลเปสต่อกรดไขมันตัวแทนที่ 1 ในโโนเดกุลของไตรก๊ลิเซอไรด์ทำให้สามารถจำแนกชนิดของเอนไซม์ไอลเปสได้เป็นสามกลุ่ม (Macrae, 1983) คือ

กลุ่มที่หนึ่ง คือ เอนไซม์ไอลเปสที่มีความจำเพาะกับตัวแทนที่ 1 และ 3 ซึ่งไฮโดรไลส์ไตรก๊ลิเซอไรด์ได้กรดไขมันอิสระและ 1,2- หรือ 2,3- ไดก๊ลิเซอไรด์ และได้ 2-โนโนเอชิลก๊ลิเซอโรลที่อาจไม่เสถียร และหากใช้เวลาในการย่อยนานขึ้นจะได้ผลิตภัณฑ์สุดท้ายคือ 1,3-ไดเอชิลก๊ลิเซอโรล และ 1- หรือ 3-โนโนเอชิลก๊ลิเซอโรล แต่ถ้าให้ปฏิกิริยานี้เกิดขึ้นอย่างสมบูรณ์จะได้ก๊ลิเซอโรลและกรดไขมันอิสระ ตัวอย่างของเอนไซม์ไอลเปสในกลุ่มนี้ได้แก่เอนไซม์ไอลเปสจากจุลินทรีย์ *Aspergillus niger*, *Pseudomonas fluorescens*, *Rhizopus arrhizus* และ เอนไซม์ไอลเปสจากรำข้าวเป็นต้น

กลุ่มที่สอง คือ เอนไซม์ไอลเปสที่ไม่มีความจำเพาะต่อทั้งตัวแทนและชนิดของกรดไขมันในโนเดกุลของไตรก๊ลิเซอไรด์ สามารถย่อยได้เป็นกรดไขมันอิสระและก๊ลิเซอโรล แต่อาจพบไดก๊ลิเซอไรด์ และ โนโนก๊ลิเซอไรด์เป็นสารตัวกลางระหว่างปฏิกิริยาได้ ตัวอย่างของเอนไซม์ไอลเปสในกลุ่มนี้ เช่น ไอลเปสจากจุลินทรีย์ *Candida cylindracea*, *Corynebacterium acnes*, *Staphylococcus aureus* และ เอนไซม์ไอลเปสจากตับอ่อนของสุกรเป็นต้น

กลุ่มที่สาม คือ เอนไซม์ไอลิเปสที่มีความจำเพาะต่อชนิดของกรดไขมัน ซึ่งเอนไซม์ไอลิเปสจากจุลินทรีย์มักไม่แสดงคุณสมบัตินี้ แต่อาจมีจุลินทรีย์บางชนิดเช่น *Geotrichum candidum* ที่สามารถย่อยไตรกลีเซอไรด์ที่มีกรดไขมันสายโมเลกุลยาวที่ประกอบด้วยพันธะคู่ที่เป็น cis-form ในตำแหน่งที่ 9

### 3.3. เอนไซม์ไอลิเปสที่ถูกตรึง

เอนไซม์ไอลิเปสที่ถูกตรึง หมายถึง เอนไซม์ที่ถูกกำหนดหรือทำให้มาอยู่ในขอบเขตที่จำกไว้ อาจมีโมเลกุลใหญ่ขึ้นด้วยการเชื่อมพันธะเคมี หรือไม่มีพันธะเคมี ละลายน้ำได้ยากหรือไม่ได้เลย (ปราษี, 2535) วิธีจับตรึงเอนไซม์แบ่งได้ดังนี้

#### 3.3.1 วิธีจับนตัวพาหะ (Carrier Binding Method)

วิธีจับนตัวพาหะเป็นวิธีที่เก่าแก่ที่สุดในเทคนิคการตรึงเอนไซม์ ในวิธีการดังกล่าว เอนไซม์จะถูกจับอยู่บนนตัวพาหะโดยค่ากิจกรรมของเอนไซม์จะขึ้นอยู่กับธรรมชาติของตัวพาหะ วิธีการนี้สามารถแบ่งได้เป็น 3 วิธีซึ่งข้อดีและข้อเสียของแต่ละวิธีแสดงได้ในตารางที่ 4

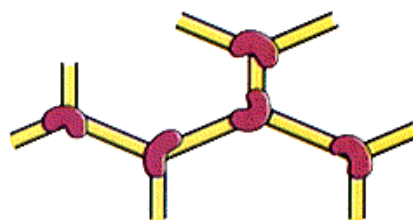
ตารางที่ 4 ข้อดีและข้อเสียของวิธีการตรึงเอนไซม์แบบจับนตัวพาหะ

วิธีการ	ข้อดี	ข้อเสีย
การคุชชันทางภายใน	1. มีการเปลี่ยนแปลงโครงสร้างของเอนไซม์หลังการตรึงน้อยมาก 2. ง่ายและราคาถูก	1. อาจเกิดการขยายตัวของโปรตีนจาก การเปลี่ยนแปลงอุณหภูมิ ความเป็นกรดและด่าง
การสร้างพันธะโโคแคนต์	1. เอนไซม์ไอลิเปสที่ถูกตรึงมีความเสถียรสูง ทำให้ลดโอกาสที่เอนไซม์จะถูกชะไปเมื่อป้อนสารตั้งต้นผ่านเอนไซม์ไอลิเปสที่ถูกตรึงด้วยวิธีนี้	1. ราคาสูง 2. ค่ากิจกรรมของเอนไซม์อาจเปลี่ยนแปลงเนื่องจากพื้นที่ว่างไวต่อปฏิกิริยาอาจเปลี่ยนแปลงเนื่องจากเกิดพันธะโโคแคนต์
การสร้างพันธะไอออนิก	1. สภาวะในการตรึงไม่รุนแรง เหมือนกับการสร้างพันธะโโคแคนต์ 2. มีค่ากิจกรรมของเอนไซม์เปลี่ยนแปลงน้อยมาก	1. อาจเกิดการสูญเสียเอนไซม์ โดยเฉพาะสารตั้งต้นที่มีความแรงของไอออนสูงหรือมีการเปลี่ยนแปลงค่าความเป็นกรดค่อนข้างมาก

ที่มา: Lee (1992)

### 3.3.2 วิธีเชื่อมไขว้ (Cross Link Method)

วิธีเชื่อมไขว้เป็นวิธีที่อาศัยพันธะเคมีเดียวกันหรือต่างชนิดกันก็ได้ ทั้งนี้การจับแบบเชื่อมไขว้เป็นการจับกันแบบสามมิติดังแสดงในภาพที่ 4

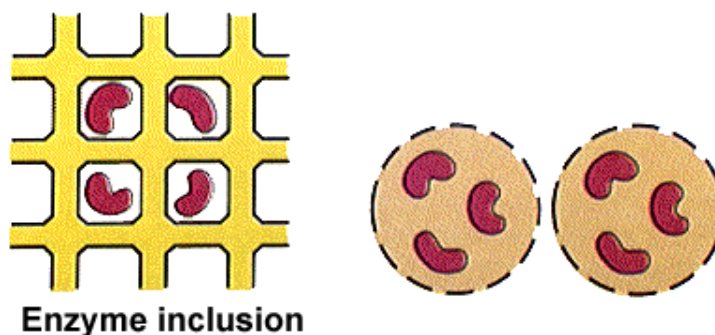


ภาพที่ 4 การตรึงเอนไซม์แบบเชื่อมไขว้

ที่มา: [http://www.agen.ufl.edu/%7Echyn/age4660/lect/lect\\_21/FG12\\_017.GIF](http://www.agen.ufl.edu/%7Echyn/age4660/lect/lect_21/FG12_017.GIF)

### 3.3.3 วิธีการห่อหุ้ม (The Entrapment Method)

วิธีการห่อหุ้มเป็นวิธีที่ตรึงเอนไซม์บนโครงสร้างของพอลิเมอร์หรือเมมเบรน ซึ่งสามารถแสดงได้ดังภาพที่ 5 ซึ่งอาจแบ่งได้เป็นสองวิธีคือ วิธีการห่อหุ้มในโครงสร้าง (ภาพที่ 5 ก) และวิธีห่อหุ้มในแคบชุด (ภาพที่ 5 ข)



(ก) ในพาราฟินแบบโครงสร้าง

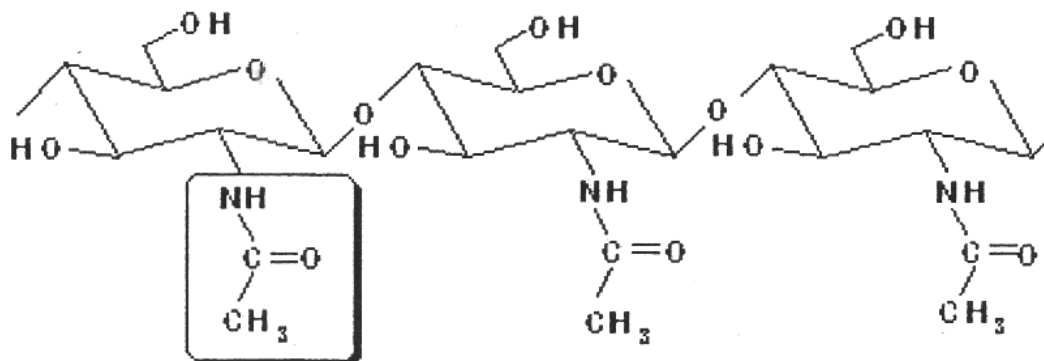
(ข) ในพาราฟินแบบแคบชุด

ภาพที่ 5 การตรึงเอนไซม์แบบห่อหุ้ม

ที่มา: [http://www.agen.ufl.edu/%7Echyn/age4660/lect/lect\\_21/FG12\\_017.GIF](http://www.agen.ufl.edu/%7Echyn/age4660/lect/lect_21/FG12_017.GIF)

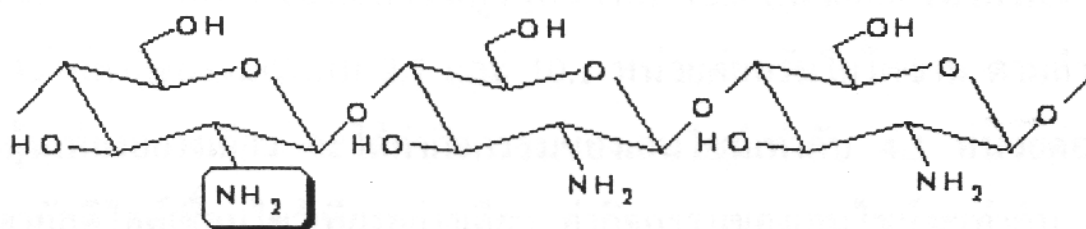
### 3.4 การใช้ไฮด्रอเจนเป็นตัวพยุงสำหรับเอนไซม์

ไฮด्रอเจนเป็นไฮดรอลิเมอร์ธรรมชาติที่มีมากที่สุดในโลกของจากเซลลูโลส รู้จักเป็นครั้งแรกในปี ก.ศ. 1811 ประกอบด้วยอนุพันธ์ของน้ำตาลกลูโคสที่มีราชตุ้นในโครงเรนเคะอยู่ภายในโมเลกุล ไฮด्रอเจนเป็นอนุพันธ์ของไฮดราที่ตัดเอาหมู่ acetyl ของน้ำตาล N-acetyl-D-glucosamine ออกตั้งแต่ ร้อยละ 50 ขึ้นไป และมีคุณสมบัติคล้ายได้ในการดัดแปลงโครงสร้างทางเคมีของไฮดราทและไฮด्रอเจน แสดงได้ดังภาพที่ 6 และ 7



ภาพที่ 6 โครงสร้างทางเคมีของไฮดราท

ที่มา: ประวัติศาสตร์ (2548)



ภาพที่ 7 โครงสร้างทางเคมีของไฮด्रอเจน

ที่มา: ประวัติศาสตร์ (2548)

Juang *et al.*, (2001) ได้ศึกษาการตรวจเอนไซม์ Acid phosphatase บนไก่โตชานโดยใช้กลูตาอัลดีไฮด์ที่ความเข้มข้นต่างๆ พบว่า ที่ความเข้มข้นของกลูตาอัลดีไฮด์ 5000 มิลลิกรัมต่อลิตรมีสภาวะในการตรวจ คือ ความเข้มข้นของเอนไซม์ 377 มิลลิกรัมต่อลิตร พีเอช 5 อุณหภูมิ 4° ซ และใช้เวลาในการตรวจ 18 ชั่วโมง จะให้ค่ากิจกรรมของเอนไซม์เท่ากับ 6 ในโครงรัมต่อนาที

Pereira *et al.*, (2003) ได้ศึกษาการตรวจเอนไซม์ไลเปสจาก *Candida rugosa* และ ไลเปส *Porcine pancreas* บนไก่โตชานด้วยวิธีคุณภาพทางกายภาพ โดยใช้ไก่โตชานชนิดแผ่นและชนิดเม็ด ที่อัตราส่วนระหว่างไก่โตชานต่อไลเปสเท่ากับ 1:0.25 โดยใช้เวลาในการตรวจ 3 ชั่วโมงพบว่าเมื่อใช้ไก่โตชานชนิดเม็ดในการตรวจ ไลเปสทั้ง 2 ชนิด จะให้ค่ากิจกรรมของเอนไซม์สูงกว่าเมื่อใช้ไก่โตชานชนิดแผ่น โดยไลเปสจาก *Candida rugosa* จะให้ค่ากิจกรรมของเอนไซม์เท่ากับ 42.7 หน่วยต่อมิลลิกรัม ส่วนไลเปสจาก *Porcine pancreas* ให้ค่ากิจกรรมของเอนไซม์เท่ากับ 42.6 หน่วยต่อมิลลิกรัม

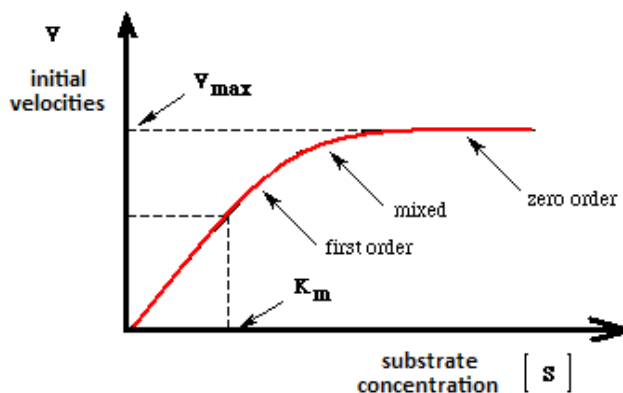
Chiou and Wu (2004) ได้ศึกษาการตรวจเอนไซม์ไลเปสจาก *Candida rugosa* บนไก่โตชานโดยใช้คาร์บอเดเมียด์ในการกระตุนหมู่ไฮดรอกซิลของไก่โตชาน เนื่องจากโครงสร้างของไก่โตชานประกอบด้วยหมู่ไฮดรอกซิลจำนวน 2 หมู่ ทำให้เอนไซม์สามารถยึดจับบนไก่โตชานได้เพิ่มขึ้นที่สภาวะการตรวจคือความเข้มข้นของคาร์บอเดเมียด์ 0.75 เปอร์เซนต์โดยน้ำหนักต่อปริมาตร พีเอช 6 อุณหภูมิ 25° ซ พบร่วมจะได้ค่ากิจกรรมของเอนไซม์ 3.28 หน่วยต่อกิโลกรัมไก่ชาน

#### 4. จนผลศาสตร์ของปฏิกิริยาการเร่งด้วยเอนไซม์

จนผลศาสตร์ของปฏิกิริยาการเร่งด้วยเอนไซม์มีความสำคัญเป็นอย่างยิ่งในการผลิตในระดับอุตสาหกรรมเนื่องจากข้อมูลจนผลศาสตร์ของปฏิกิริยาจะถูกใช้ในการออกแบบถังปฏิกิริยาระหว่างการผลิตในระดับอุตสาหกรรม (Doran,1995) ทั้งนี้ในการหาค่าคงที่ทางจนผลศาสตร์ของปฏิกิริยาการเร่งด้วยเอนไซม์นิยมใช้วิธีอัตราการเกิดปฏิกิริยาเริ่มต้น (Initial Rate Method) เนื่องจากการเร่งปฏิกิริยาด้วยเอนไซม์มีข้อจำกัดอยู่ประการหนึ่งคือจะสามารถเร่งปฏิกิริยาได้ที่ค่าความเข้มข้นของสารตั้งต้นได้มากที่สุดค่าหนึ่งเท่านั้น เมื่อความเข้มข้นเกินกว่าค่านี้อัตราการเกิดปฏิกิริยาจะมีค่าคงที่ทั้งนี้ชนิดของจนผลศาสตร์ถูกพิจารณาตามชนิดของกลไกของปฏิกิริยาได้ดังนี้

#### 4.1 จอนพลศาสตร์ของสารตั้งต้นชนิดเดียว

จอนพลศาสตร์ของสารตั้งต้นชนิดเดียวเป็นจอนพลศาสตร์อย่างง่าย ทั้งนี้สามารถอธิบายได้ด้วยสมการของไม่คิลลิส และ เมนเทน (Michaelis and Menten) ซึ่งได้แบ่งช่วงของการเกิดปฏิกิริยาเป็น 3 ช่วงคือช่วงของความเข้มข้นเริ่มต้นของสารตั้งต้นมีค่าต่ำ จะได้อัตราการเริ่วปฏิกิริยาของเอนไซม์จะเป็นอันดับที่หนึ่ง แต่เมื่อถึงความเข้มข้นเริ่มต้นที่สูงพอเป็นค่าหนึ่งอัตราการเริ่วปฏิกิริยาของเอนไซม์จะเป็นอันดับที่ศูนย์ ในขณะที่ช่วงการเปลี่ยนแปลงจะมีอันดับของปฏิกิริยาเป็นแบบผสม (Barker and Leach, 1993) ทั้งนี้ภาพที่ 8 แสดงความสัมพันธ์ระหว่างอัตราการเกิดปฏิกิริยาเริ่มต้นกับความเข้มข้นของสารตั้งต้น



ภาพที่ 8 ความสัมพันธ์ระหว่างอัตราการเกิดปฏิกิริยาเริ่มต้นกับความเข้มข้นของสารตั้งต้นเริ่มต้นชนิดเดียว

ที่มา: [http://osp.mans.edu.eg/medbiochem\\_mi/Courses/Biochemistry/1st\\_year\\_medicine/Enzymes/files/figures/l3\\_7.gif](http://osp.mans.edu.eg/medbiochem_mi/Courses/Biochemistry/1st_year_medicine/Enzymes/files/figures/l3_7.gif)

$$V = \frac{V_{max}[S]}{K_m + [S]} \quad (1)$$

โดยที่  $V$  = อัตราการเกิดปฏิกิริยา

$V_{max}$  = อัตราการเกิดปฏิกิริยาสูงสุด

$K_m$  = ค่าคงที่ของไมคิลลิส

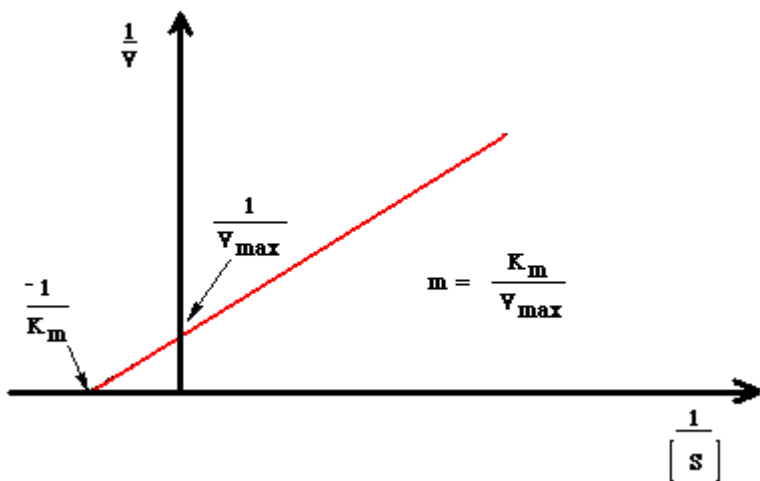
$[S]$  = ความเข้มข้นของสารตั้งต้น

สมการดังกล่าวเรียกว่าสมการของ ไมเกลลิสและเมนเเทน เพื่อหาค่าคงที่ทางจอนพลศาสตร์

สมการที่ (1) ถูกจัดรูปใหม่ตามวิธีกราฟของ ไลวีเวอร์เบริก (Lineweaver-Burk) ดังนี้

$$\frac{1}{V} = \frac{K_m}{V_{\max}} \frac{1}{[S]} + \frac{1}{V_{\max}} \quad (2)$$

เมื่อสร้างกราฟความสัมพันธ์ระหว่าง  $1/V$  กับ  $1/[S]$  จะได้  $K_m/V_{\max}$  คือความชันของกราฟ ( $m$ ) และ  $1/V_{\max}$  คือจุดตัดแกน  $V$  ดังภาพที่ 9



ภาพที่ 9 ความสัมพันธ์ระหว่าง  $1/V$  กับ  $1/[S]$  ตามวิธีของ Lineweaver-Burk

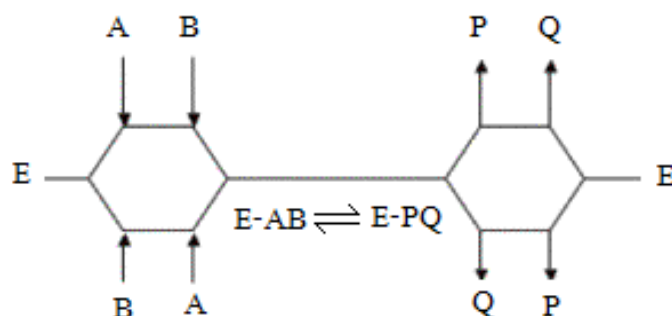
ที่มา: [http://osp.mans.edu.eg/medbiochem\\_mi/Cources/Biochemistry/1st\\_year\\_medicine/Enzymes/files/figures/l3\\_8.gif](http://osp.mans.edu.eg/medbiochem_mi/Cources/Biochemistry/1st_year_medicine/Enzymes/files/figures/l3_8.gif)

#### 4.2 จอนพลศาสตร์ของสารตั้งต้นสองชนิด

ปฏิกิริยาการผลิตไบโอดีเซลเป็นปฏิกิริยาที่มีสารตั้งต้นสองชนิด คือ ไฮดรอกซิโซโรล และ ออกไซโซล์ ซึ่งกลไกของปฏิกิริยาของสารตั้งต้นสองชนิดแบ่งได้เป็น 3 ชนิด (Barker and Leach, 1993) คือ

### กลไกการเข้าทำปฏิกิริยาแบบสุ่ม (Random-sequential Bi Bi Mechanism)

กลไกการเข้าทำปฏิกิริยาแบบสุ่มของสารตั้งต้น A และ B ที่เข้าจับกับพื้นที่ที่ว่างไว้ต่อปฏิกิริยาของเอนไซม์ก่อนที่สารผลิตภัณฑ์ P และ Q จะเกิดขึ้น โดยที่สารตั้งต้น A และ B จะเข้าจับกับพื้นที่ที่ว่างไว้ต่อปฏิกิริยาแบบสุ่มทำให้ได้ผลิตภัณฑ์ P และ Q ที่เกิดขึ้นเป็นแบบสุ่มด้วยโอกาสที่ 10 แสดงกลไกของปฏิกิริยาแบบสุ่ม

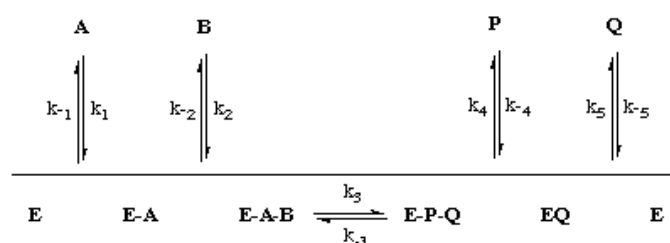


ภาพที่ 10 กลไกการเข้าทำปฏิกิริยาแบบสุ่ม

ที่มา: <http://employees.csbsju.edu/hjakubowski/classes/ch331/transkinetics/random.GIF>

### กลไกการเข้าทำปฏิกิริยาแบบเป็นลำดับ (Ordered Bi Bi Mechanism)

กลไกชนิดนี้สารตั้งต้น A และ B ที่เข้าจับกับพื้นที่ที่ว่างไว้ต่อปฏิกิริยาของเอนไซม์ ก่อนที่สารผลิตภัณฑ์ P และ Q จะเกิดขึ้น โดยที่สารตั้งต้น A และ B จะเข้าจับกับพื้นที่ที่ว่างไว้ต่อปฏิกิริยาแบบตามลำดับกล่าวคือสารตั้งต้น A ต้องเข้าจับกับพื้นที่ที่ว่างไว้ต่อปฏิกิริยา ก่อนสารตั้งต้น B แล้วทำให้ได้ผลิตภัณฑ์ P และ Q ที่เกิดขึ้นตามลำดับ

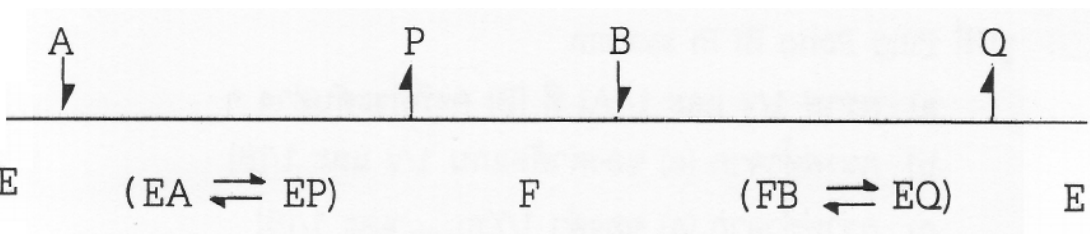


ภาพที่ 11 กลไกการเข้าทำปฏิกิริยาแบบเป็นลำดับ

ที่มา: <http://employees.csbsju.edu/hjakubowski/classes/ch331/transkinetics/sequential.GIF>

### กลไกการเข้าทำปฏิกิริยาแบบปิงปอง (Ping Pong Bi Bi Mechanism)

กลไกชนิดนี้สารตั้งต้น A จะเข้าจับกับพื้นที่ที่ว่างไวต่อปฏิกิริยาแล้วจึงเกิดเป็นสารผลิตภัณฑ์ P ก่อน จากนั้นสารตั้งต้น B จะเข้าจับกับพื้นที่ที่ว่างไวต่อปฏิกิริยาแล้วเกิดเป็นผลิตภัณฑ์ Q ซึ่งกลไกของปฏิกิริยาแสดงได้ดังภาพที่ 12



ภาพที่ 12 กลไกการเข้าทำปฏิกิริยาแบบปิงปอง

ที่มา: ปราณี, 2535

ทั้งนี้มีงานวิจัยหลายงานที่พบว่ากลไกการเร่งปฏิกิริยาของปฏิกิริยาของการผลิตในโอดีเซลจากเอนไซม์ไลเพสที่ถูกตรึงเป็นกลไกแบบปิงปอง ใบ ใบ (Hari and Karanth, 2001) ซึ่งการหาอัตราการเกิดปฏิกิริยาหาได้ดังนี้

$$K_m^A = \frac{k_{-1} + k_2}{k_1} = \frac{[E][A]}{[EA]} \quad (3)$$

$$K_m^B = \frac{k_{-3} + k_4}{k_3} = \frac{[E'][B]}{[E'B]} \quad (4)$$

$$[E_T] = [E] + [EA] + [E'] + [E'B] \quad (5)$$

ทั้งนี้สมการแสดงอัตราการเกิดปฏิกิริยากับความเข้มข้นของสารตั้งต้น A และ B เป็นดังสมการ

$$\frac{V_i}{V_{\max}} = \frac{[A][B]}{(k_4/k_1)K_m^A[B] + K_m^B[A] + [A][B]\left(1 + \frac{k_4}{k_2}\right)} \quad (6)$$

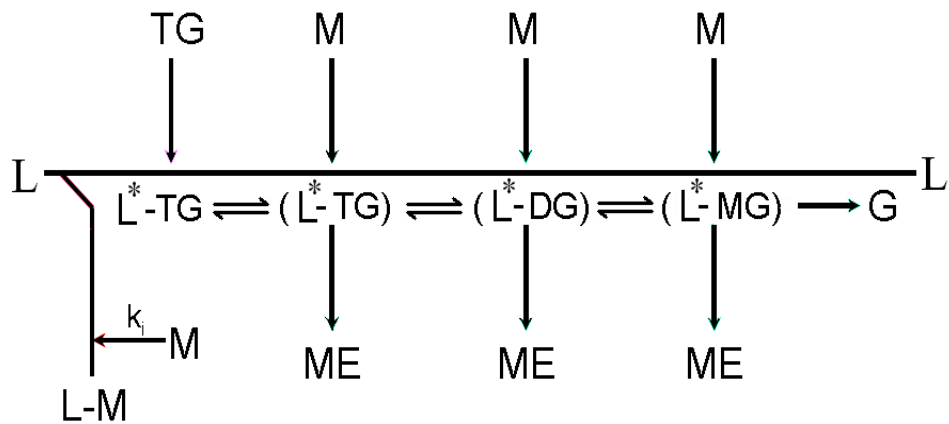
เมื่อ  $V_{max} = k_{cat}[E_T]$  และ  $k_{cat} = k_4$  แต่อย่างไรก็ดีขั้นตอนกำหนดปฏิกิริยาคือขั้นตอนการเปลี่ยน  $E/B$  ไปเป็น  $EQ$  จะได้  $k_2 >> k_4$  ดังนั้นสมการปิงปอง สามารถครุบลงได้เป็น

$$\frac{V_i}{V_{max}} = \frac{[A][B]}{\alpha K_m^A[B] + K_m^B[A] + [A][B]} \quad (7)$$

$$\text{เมื่อ } \alpha = k_4 / k_2$$

### 5. จอนพลศาสตร์ของปฏิกิริยาทรานส์อสเทอโรฟิเคนชั่นของน้ำมันเมล็ดดอกทานตะวันและเมทานอลด้วยเอ็นไซม์ไอลิเปส

กลไกการผลิตไบโอดีเซลจากไตรกลีเซอโรลด์และเมทานอล จัดการขับยั้งด้วยปริมาณของแอลกอฮอล์ที่ความเข้มข้นสูงกว่าความเข้มข้นที่่อนไนซ์สามารถทนได้ การยับยั้งปฏิกิริยานี้พื้นที่ว่องไวในเอ็นไซม์ไอลิเปสจะถูกจับโดยไม่เลกูลของแอลกอฮอล์แบบถาวรจึงทำให้ไม่สามารถใช้พื้นที่ว่องไวในการเร่งปฏิกิริยาระหว่างไตรกลีเซอโรลด์กับเมทานอลได้ ทั้งนี้สามารถอธิบายกลไกของปฏิกิริยาการผลิตไบโอดีเซลจากไตรกลีเซอโรลด์และเมทานอลได้เป็นดังภาพที่ 13



ภาพที่ 13 กลไกของปฏิกิริยาทรานส์อสเทอโรฟิเคนชั่นของไตรกลีเซอโรลด์และเมทานอลด้วยเอ็นไซม์ไอลิเปส

เมื่อ  $L = \text{ไอลิเปส}$   $M = \text{เมทานอล}$   $TG = \text{ไตรกลีเซอโรลด์}$   $ME = \text{เมทิลเอสเทอร์}$

$G = \text{กลีเซอรอล}$   $L^* - TG = \text{ไอลิเปสไตรกลีเซอโรลด์คอมเพล็กซ์}$

$L^* - DG = \text{ไอลิเปสไคอกลีเซอโรลด์คอมเพล็กซ์}$

$L^* - MG = \text{ไอลิเปสโนโนกกลีเซอโรลด์คอมเพล็กซ์}$

ที่มา: Kasipar et al., (2007)

Combes and Marty (2002) และ Yuanyuan *et al.*, (2005) พนวจณาพศาสตร์ของปฏิกิริยา  
ทรานส์เอสเทอเรฟิเคนชั่นของไตรกลีเซอไรด์และเมทานอลด้วยเยอนไซม์ไลเปสไมก์ไกของปฏิกิริยาเป็น<sup>2</sup>  
แบบปิงปอง ไบ ไบ (Ping Pong Bi Bi) ซึ่งค่าอัตราการเกิดปฏิกิริยาขึ้นกับความเข้มข้นของไตรกลีเซอไรด์ และ เมทานอลเป็นไปดังสมการ

$$\frac{V_i}{V_{\max}} = \frac{[Trigly][MeOH]}{K_{m,Tri}[MeOH] \left( 1 + \frac{[MeOH]}{K_{i,MeOH}} \right) + K_{m,MeOH}[Trigly] + [Trigly][MeOH]} \quad (8)$$

เมื่อ $V_i$	=	อัตราการเกิดปฏิกิริยา
$V_{\max}$	=	อัตราการเกิดปฏิกิริยาสูงสุด
[Trigly]	=	ความเข้มข้นเริ่มต้นของไตรกลีเซอไรด์
[MeOH]	=	ความเข้มข้นเริ่มต้นของเมทานอล
$K_{m,Tri}$	=	ค่าคงที่ของไไมเคเดลลิสของไตรกลีเซอไรด์
$K_{m,MeOH}$	=	ค่าคงที่ของไไมเคเดลลิสของเมทานอล
$K_{i,MeOH}$	=	ค่าคงที่การยับยั้งปฏิกิริยาของเมทานอล

โดยวิธีการที่ใช้ในการหาค่าพารามิเตอร์ต่างๆ ในสมการ (8) สามารถทำได้ 2 วิธีการคือ

### 5.1 วิธีการสร้างกราฟสองขั้นตอน (Double Reciprocal Plot)

วิธีกราฟเป็นวิธีการดั้งเดิมที่ใช้ในการหาค่าคงที่ทางจนพศาสตร์ของปฏิกิริยาการเร่งด้วยเยอนไซม์ โดยเป็นวิธีการจัดรูปสมการ (8) ใหม่ได้ดังนี้

$$\frac{1}{V_i} = \frac{K_{m,Tri}[MeOH] \left( 1 + \frac{[MeOH]}{K_{i,MeOH}} \right)}{V_{\max}[Trigly][MeOH]} + \frac{K_{m,MeOH}[Trigly]}{V_{\max}[Trigly][MeOH]} + \frac{[Trigly][MeOH]}{V_{\max}[Trigly][MeOH]} \quad (9)$$

เมื่อจัดสมการให้อยู่ในรูปสมการเส้นตรงจะได้

$$\frac{1}{V_i} = \frac{K_{m,Tri}}{V_{\max}} \left( 1 + \frac{[MeOH]}{K_{i,MeOH}} \right) \bullet \left( \frac{1}{[Trigly]} \right) + \left( \frac{K_{m,MeOH}}{V_{\max} [MeOH]} + \frac{1}{V_{\max}} \right) \quad (10)$$

ทำการทดลองหาค่าอัตราการเกิดปฏิกิริยาที่ความเข้มข้นของน้ำมันเมล็ดดอกทานตะวัน และ เมทานอลที่แตกต่างกัน แล้วจึงสร้างความสัมพันธ์ระหว่าง  $\frac{1}{V_i}$  กับ  $\frac{1}{[Trigly]}$  จะได้ความสัมพันธ์เป็นเส้นตรงที่มีค่าความชันคือ  $\frac{K_{m,Tri}}{V_{\max}} \left( 1 + \frac{[MeOH]}{K_{i,MeOH}} \right)$  และจุดตัดแกนรายคือ  $\left( \frac{K_{m,MeOH}}{V_{\max} [MeOH]} + \frac{1}{V_{\max}} \right)$  ทั้งนี้ความชันที่ได้จากการที่ 10 จะพบว่าเป็นฟังก์ชันกับความเข้มข้นของเมทานอล และ จุดตัดแกนรายเป็นฟังก์ชันกับส่วนกลับของความเข้มข้นของเมทานอล

ดังนั้นเมื่อนำความชันและจุดตัดแกนรายที่ได้มาทำการสร้างกราฟซ้ำ (Double Reciprocal Plot) ทำให้สามารถหาค่าคงที่ทางจนผลศาสตร์ของปฏิกิริยาทรานส์อสเตอร์ิฟิเคลชันของน้ำมันเมล็ดดอกทานตะวันและเมทานอลด้วยออนไลน์ไปเปลี่ยนที่ถูกต้องได้

## 5.2 วิธีเชิงตัวเลขด้วยคอมพิวเตอร์ (Computer Numerical Method)

วิธีเชิงตัวเลขด้วยคอมพิวเตอร์เป็นวิธีที่ถูกเสนอโดย Combes and Marty (2002) เนื่องด้วยพบว่าค่าคงที่ทางจนผลศาสตร์ที่ได้จากการสร้างกราฟสองขั้นตอนให้ค่าที่ผิดพลาดสูง โดยวิธีนี้ เป็นการพิจารณาผลต่างกำลังสองน้อยที่สุด (Least Square Method) ของอัตราการเกิดปฏิกิริยาที่ได้จากการทดลองกับค่าอัตราการเกิดปฏิกิริยาที่ได้จากการแบบจำลองทางคณิตศาสตร์ในสมการ (8) โดยทำการสุ่มตัวเลขค่าคงที่ทางจนผลศาสตร์ด้วยโปรแกรมคอมพิวเตอร์ Excel (จกต, 2549) ซึ่งสมการสำหรับการพิจารณาผลต่างกำลังสองน้อยที่สุดแสดงได้ดังสมการ

$$Total\ error = \sum_i (V_i^e - V_i^m)^2 \quad (11)$$

เมื่อ

$$\begin{aligned} V_i^e &= \text{อัตราการเกิดปฏิกิริยาที่ได้จากการทดลอง} \\ V_i^m &= \text{อัตราการเกิดปฏิกิริยาที่ได้จากการแบบจำลองทางจนผลศาสตร์} \end{aligned}$$

## 6. การออกแบบการทดลองทางสถิติ

การออกแบบการทดลองทางสถิติเป็นวิธีการวิเคราะห์ข้อมูลที่ได้จากการทดลองโดยทำการศึกษาอิทธิพลของปัจจัยซึ่งในทางสถิติจะเรียกว่าทรีตเมนต์ (Treatment) กับผลได้ของการทดลอง (Yield) ทั้งนี้การออกแบบการทดลองที่ใช้ในงานวิจัยนี้มี 3 ชนิดคือ

### 6.1 การออกแบบการทดลองแบบ Two-way ANOVA

การออกแบบการทดลองแบบ Two-way ANOVA อาศัยการทดสอบสมมติฐานดังนี้  
(สุภี, 2547)

$$H_0 : \mu_1 = \mu_2 = \mu_3 = \dots = \mu_k$$

$$H_1 : \mu_i \neq \mu_j \text{ อย่างน้อย } 1 \text{ คูณของ } \mu_i \text{ และ } \mu_j$$

เมื่อ  $H_0$  คือสมมติฐานหลัก

$H_1$  คือสมมติฐานทางเลือก หรือ สมมติฐานวิจัย

$\mu_i$  และ  $\mu_j$  คือค่าเฉลี่ยของผลได้ของการทดลองที่ทำการทดลองเปลี่ยนทรีตเมนต์  
ที่  $i$  และ  $j$  ตามลำดับ

ทั้งนี้สมมติฐานหลัก ( $H_0$ ) เป็นสมมติฐานที่ต้องทดสอบว่าสามารถปฏิเสธได้หรือไม่ โดยหากสามารถปฏิเสธได้แสดงว่าสมมติฐานเลือกหรือสมมติฐานวิจัยถูกต้อง และ แสดงให้เห็นว่าการเปลี่ยน  
แปลง สภาวะของทรีตเมนต์ทำให้ค่าเฉลี่ยผลได้เปลี่ยนไป

### 6.2 การออกแบบการทดลองแบบ Plankett-Burman

การออกแบบการทดลองแบบ Plankett-Burman เป็นหนึ่งในวิธีการออกแบบการทดลอง  
แบบแฟคทอเรียล (Factorial Design) ซึ่งเป็นการทดลองที่มีทรีตเมนต์ประกอบด้วยการรวมกันของ  
ระดับของปัจจัยตั้งแต่ 2 ปัจจัยขึ้นไป (วิจตรา, 2543)

การออกแบบการทดลองแบบ Plankett-Burman อาศัยการทดสอบสมมติฐานดังนี้  
 (ประไพบศรี และ พงษ์ชันน์, 2551)

การทดสอบสมมติฐานของปัจจัย A

$$H_0 : \alpha_1 = \alpha_2 = \alpha_3 = \dots = \alpha_k \quad (\text{ไม่มีอิทธิพลหลักของปัจจัย A})$$

$$H_1 : \alpha_i \neq 0 \text{ อย่างน้อย 1 ค่า}$$

การทดสอบสมมติฐานของปัจจัย B

$$H_0 : \gamma_1 = \gamma_2 = \gamma_3 = \dots = \gamma_k \quad (\text{ไม่มีอิทธิพลหลักของปัจจัย B})$$

$$H_1 : \gamma_i \neq 0 \text{ อย่างน้อย 1 ค่า}$$

การทดสอบสมมติฐานของอิทธิพลร่วมระหว่างสองปัจจัย

$$H_0 : (\alpha\gamma)_{11} = (\alpha\gamma)_{12} = \dots = (\alpha\gamma)_{ij} \quad (\text{ไม่มีอิทธิพลร่วมระหว่างปัจจัย A และ B})$$

$$H_1 : (\alpha\gamma)_{ij} \neq 0 \text{ อย่างน้อย 1 ค่า}$$

เมื่อ  $H_0$  คือสมมติฐานหลัก

$H_1$  คือสมมติฐานทางเลือก หรือ สมมติฐานวิจัย  
 $\alpha_i$  และ  $\gamma_j$  คืออิทธิพลหลักของปัจจัย A และ B ตามลำดับ  
 $(\alpha\gamma)_{ij}$  คืออิทธิพลร่วมของปัจจัย A และ B

### 6.3 การออกแบบการทดลองแบบ Box-Behnken

การออกแบบการทดลองแบบ Box-Behnken เป็นการการออกแบบการทดลองที่เหมาะสมสำหรับปัจจัยเชิงปริมาณ (Myers, 1979) เช่น เวลา อุณหภูมิ ความดัน ความเข้มข้น ฯลฯ การออกแบบการทดลองนี้อาศัยหลักการรวมของการทดลองแฟคทอเรียลผนวกกับจุดกึ่งกลาง ทำให้การออกแบบการทดลองแบบ Box-Behnken มีประสิทธิภาพสูงและสามารถประมาณค่าผลกระทบเชิงเส้น

ผลกระทบกำลังสอง และผลกระทบร่วมได้ (ประไพบูลย์ และ พงศ์ชันน์, 2551) ซึ่งแสดงในรูปสมการได้ดังนี้

$$Y = \beta_0 + \sum \beta_i x_i + \sum \beta_{ii} x_i^2 + \sum \beta_{ij} x_i x_j + \varepsilon \quad (12)$$

ทั้งนี้การออกแบบทดลองแบบ Box-Behnken มีการทดสอบสมมติฐานดังนี้

### 6.3.1 การทดสอบสมมติฐานของสัมประสิทธิ์

การทดสอบสมมติฐานของสัมประสิทธิ์จะเป็นการทดสอบของสัมประสิทธิ์ในสมการที่ (12) ดังนี้

การทดสอบสัมประสิทธิ์สำหรับผลกระทบเชิงเส้น

$$H_0 : \beta_i = 0$$

$$H_1 : \beta_i \neq 0 \text{ อย่างน้อย } 1 \text{ ค่า}$$

การทดสอบสัมประสิทธิ์สำหรับผลกระทบกำลังสอง

$$H_0 : \beta_{ii} = 0$$

$$H_1 : \beta_{ii} \neq 0 \text{ อย่างน้อย } 1 \text{ ค่า}$$

การทดสอบสัมประสิทธิ์สำหรับผลกระทบอิทธิพลร่วมกัน

$$H_0 : \beta_{ij} = 0$$

$$H_1 : \beta_{ij} \neq 0 \text{ อย่างน้อย } 1 \text{ ค่า}$$

### 6.3.2 การทดสอบสมมติฐานของความสมรูปของสมการ

$H_0$  = "ไม่มีความไม่สมรูประหว่างข้อมูลการทดสอบกับสมการ"

$H_1$  = "มีความไม่สมรูประหว่างข้อมูลการทดสอบกับสมการ"

## 7. การหาสภาวะที่เหมาะสมในการผลิตไบโอดีเซลจากเอนไซม์ไลเปสที่ถูกตรึงด้วยการอุดแบบการทดลองเชิงสถิติ

Shieh *et al.*, (2003) ได้ทำการศึกษาการผลิตไบโอดีเซลจากเอนไซม์ไลเปสที่ถูกตรึงจาก *Rhizomucor miehei* (Lipozyme IM-77) จากปฏิกิริยาทรานส์อสเทอร์ฟิเคชั่นของน้ำมันถั่วเหลือง และเมทานอลด้วยวิธีอุดแบบการทดลองแบบพื้นผิวตอบสนอง (Response Surface Methodology) ของ 5 ปัจจัยอันได้แก่ เวลาในการทำปฏิกิริยา อุณหภูมิ ปริมาณเอนไซม์ อัตราส่วนโดยโมลของ เมทานอลต่อน้ำมันถั่วเหลือง และปริมาณน้ำ ซึ่งสภาวะที่เหมาะสมได้แก่เวลาในการทำปฏิกิริยาเป็น 6.3 ชั่วโมง อุณหภูมิ 36.5 ° ซ ปริมาณเอนไซม์ 0.9 BAUN (Batch Acidolysis Units NOVO) อัตราส่วนโดยโมลของ เมทานอลต่อน้ำมันเมล็ดคอกทานตะวันเป็น 3.4:1 ปริมาณน้ำที่เติม 5.8% โดยได้ร้อยละการเปลี่ยนเป็น 92.2

Hari *et al.*, (2001) ได้ศึกษาการสังเคราะห์ไออกซิเอมิลไออกซิบิวทิเรตจากเอนไซม์ไลเปสที่ถูกตรึงจาก *Rhizomucor miehei* จากปฏิกิริยาเอกสาร์ฟิเคชั่นของกรดไออกซิบิวทิริก และไออกซิเอมิล แอลกอฮอล์ ในนอร์มอลเซกเชน ด้วยวิธีอุดแบบการทดลองแบบพื้นผิวตอบสนองของ 4 ปัจจัยอันได้แก่ เวลาในการทำปฏิกิริยา อุณหภูมิ อัตราส่วนของเอนไซม์ต่อชั้บสเตรท และปริมาณชั้บสเตรท โดยพบว่าการเพิ่มขึ้นของอุณหภูมิมีผลทำให้สามารถเพิ่มอัตราการเกิดปฏิกิริยาได้สูงขึ้น แต่ทำให้ได้ปริมาณการเปลี่ยนรวมไม่เปลี่ยนแปลง โดยพบว่าผลได้มีค่าสูงสุดที่อุณหภูมิระหว่าง 30 ถึง 40 ° ซ โดย สภาวะที่เหมาะสมคือ อัตราส่วนของเอนไซม์ต่อชั้บสเตรทคือ 19.6 กรัมต่อโมล ความเข้มข้นของชั้บสเตรทคือ 2.5 มิลลิโมลาร์ เวลาในการทำปฏิกิริยาคือ 18 ชั่วโมง และอุณหภูมิในการทำปฏิกิริยาคือ 26.5 ° ซ

Chiang *et al.*, (2003) ได้ศึกษาความสามารถในการเร่งปฏิกิริยาของ ชีส-3-เอกเซน-1-ออล และไตรอซิติน ในนอร์มอลเซกเชนด้วยวิธีอุดแบบการทดลองแบบพื้นผิวตอบสนองของ 5 ปัจจัยอันได้แก่ เวลาในการทำปฏิกิริยา (8 – 24 ชั่วโมง) อุณหภูมิในการทำปฏิกิริยา (25-65 ° ซ) ปริมาณเอนไซม์ (0.02-0.1 BAUN) อัตราส่วนโดยโมลของชีส-3-เอกเซน-1-ออล ต่อไตรอซิติน (1:1 – 3:1) ปริมาณน้ำ (10-20%) ต่อร้อยละการเปลี่ยนโดยโมลของ 3-เอกเซน-1 อิล อะซิเตด โดยพบว่าอุณหภูมิของปฏิกิริยาและ อัตราส่วนโดยโมลของชั้บสเตรทเป็นปัจจัยที่มีอิทธิพลต่อปฏิกิริยา โดยพบว่าสภาวะที่เหมาะสมคือ อุณหภูมิของปฏิกิริยา 19.2 ชั่วโมง อุณหภูมิของปฏิกิริยาคือ 48.5 ° ซ ปริมาณเอนไซม์ 0.09 BANU

อัตราส่วนโดยไมลของชั้นเสตรทคือ 2.5:1 และปริมาณนำที่เติมคือ 7.85% โดยได้ปริมาณค่าการเปลี่ยนเป็น 82.1%

## อุปกรณ์และวิธีการ

### อุปกรณ์

1. วัตถุดิบ

- 1.1 น้ำมันแมล็ดดอกทานตะวัน บริษัทนากรจำกัด
- 1.2 เอนไซม์ไลเปสทางการค้าชนิดผงจาก *Pseudomonas fluorescens*

Food grade Fluka, Switzerland

- 1.3 ไคโตซานชนิดแผ่น, food grade

2. สารเคมีในการตรวจเอนไซม์ไลเปส

- 2.1 กรดอะซิติก: Analytical grade, Ajax Fine chem., Australia , purity > 99.9%
- 2.2 กลูตาอัลดีไฮด์เข้มข้น 50 เปอร์เซนต์: Analytical grade, Merck, Germany
- 2.3 โซเดียมไตรโพลิฟอสเฟต: Analytical grade, Merck, Germany
- 2.4 โพแทสเซียมไดไฮดรเจนօโทร์ฟอสเฟต ( $\text{KH}_2\text{PO}_4$ ) : Analytical grade,

Ajax Fine chem., Australia

2.5 ไดโพแทสเซียมไดไฮดรเจนօโทร์ฟอสเฟต ( $\text{K}_2\text{HPO}_4$ ) : Analytical grade,  
Ajax Fine chem., Australia

3. อุปกรณ์ในการตรวจเอนไซม์ไลเปส

- 3.1 กระดาษกรอง Whatman เปอร์ 41
- 3.2 เครื่องวัดค่าความเป็นกรด-ด่าง (pH meter): model 420A, Orion,

4. สารเคมีที่ใช้ในการผลิตและวิเคราะห์เมทิลเอสเทอร์

- 4.1 เมทานอล: Analytical grade, Merck, Germany, purity > 99.9%
- 4.2 เอกเซน: Analytical grade, J.T. Baker, USA, purity > 99.9%
- 4.3 N-methyl-N-trimethylsilyl trifluoroacetamide (MSTFA): Analytical grade,  
Fluka, Switzerland, purity > 99.9%
- 4.4 นอร์มอล-เชปเทน: Analytical grade, Labscan, Ireland, purity > 99.0%

4.5 ไตรแคป্রิน: Analytical grade, Merck, Germany, purity > 99.9%

4.6 ไฟรีดิน: Analytical grade, Analar, England, purity > 99.5%

## 5. อุปกรณ์ที่ใช้ในการผลิตและวิเคราะห์เมทิลเอสเทอร์

5.1 เครื่องแก๊ส โคลร์มา โടกราฟี: model Shimadzu 1200, Japan

5.2 คอลัมน์ DB-5HT, J&W, USA

5.3 เครื่องเขย่าแบบปรับอุณหภูมิได้ (Incubator shaker): model SK2-DO, CTL

5.4 เครื่องปั่นเหวี่ยง (Centrifuge): model PLC-012, GEMMY, Taiwan

5.5 เครื่องผสม (Vertex mixture): model KMC-1300V, Vision, Korea

5.6 ขวด vial ขนาด 1 และ 10 มิลลิลิตร

5.7 Syringe ขนาด 10 มิลลิลิตร หัวเข็มขนาด 23G

5.8 อ่างควบคุมอุณหภูมิ : model SBD 50-Cold, Heto, Denmark

## 6. สารเคมีสำหรับวิเคราะห์กิจกรรมของเอนไซม์

6.1 4-paranitrophenyl palmitate: Analytical grade, Merck, Germany, purity > 99.9%

6.2 2-ฟอร์ฟานอล: Analytical grade, J.T. Baker, USA, purity > 99.8%

6.3 Triton X-100: General purpose grade

6.4 Gum Arabic: Analytical grade, Fluka, France

6.5 โซเดียม ไคโรเจนฟอสเฟต: Analytical grade, Merck, Germany

## 7. อุปกรณ์สำหรับวิเคราะห์กิจกรรมของเอนไซม์

7.1 เครื่องสเปกโตร โฟโตมิเตอร์ (Spectrophotometer) : model Anthelie

Advanced, Secoman, France

7.2 เครื่องชั่งไฟฟ้าทศนิยมสี่ตำแหน่ง: model BL210S, Sartorius, Goettingen, Germany

## วิธีการ

### 1. วิธีการทดลอง

งานวิจัยนี้แบ่งการทดลองออกเป็น 3 ส่วนประกอบด้วย ส่วนแรกเป็นการศึกษาสภาวะที่เหมาะสมในวิธีการตีร่องเอนไซม์ไลเพสบนเม็ดไคโตซานด้วยวิธีหุ่มโดยใช้การออกแบบการทดลองแบบ Two-way ANOVA โดยทำการศึกษาอัตราส่วนโดยน้ำหนักของเอนไซม์ไลเพสกับสารละลายไคโตซานที่ 1:100 1:150 และ 1:200 กับร้อยละ โดยน้ำหนักต่อปริมาตรของผงไคโตซันกับสารละลายกรดอะซิติกที่ 1 1.5 และ 2 ตามลำดับ ส่วนที่สองเป็นการศึกษาปัจจัยที่มีอิทธิพลต่อการผลิตไบโอดีเซล และศึกษาสภาวะที่เหมาะสมของปัจจัยที่มีอิทธิพลในการผลิตไบโอดีเซลจากเอนไซม์ไลเพสที่ถูกตีร่องบนเม็ดไคโตซานด้วยวิธีหุ่มด้วยวิธีการออกแบบการทดลองแบบ Plankett-Burman และการออกแบบการทดลองแบบพื้นผิวด้วยวิธีของ Box-Behnken โดยการทดลองส่วนสุดท้ายเป็นการศึกษาค่าคงที่ทางจนผลศาสตร์ในการเร่งปฏิกิริยาทรานส์อสเทอโรฟิเคลชันของน้ำมันเมล็ดดอกทานตะวันและเมทานอลด้วยเอนไซม์ไลเพสที่ถูกตีร่องบนไคโตซันด้วยวิธีหุ่ม

#### 1.1 การศึกษาสภาวะที่เหมาะสมต่อการตีร่องเอนไซม์ไลเพส

เอนไซม์ไลเพสจาก *Pseudomonas fluorescens* ซึ่งมีค่ากิจกรรมของเอนไซม์คือ 2,200 หน่วยต่อกرام ถูกใช้ในการศึกษาสภาวะที่เหมาะสมต่อการตีร่องเอนไซม์ไลเพสด้วยการออกแบบการทดลองแบบ Two-way ANOVA โดยการเตรียมสารละลายไคโตซาน 3 ความเข้มข้นคือความเข้มข้นที่ 1 ทำละลายผงไคโตซาน 1 กรัมในสารละลายกรดอะซิติกร้อยละ 1 โดยปริมาตรจำนวน 100 มล. ความเข้มข้นที่ 2 ทำละลายผงไคโตซาน 1.5 กรัมกับสารละลายกรดอะซิติกร้อยละ 1.5 โดยปริมาตร 100 มล. และความเข้มข้นที่ 3 ทำละลายผงไคโตซาน 2 กรัมกับสารละลายกรดอะซิติก ร้อยละ 2 โดยปริมาตร 100 มล. จากนั้นทำละลายเอนไซม์ไลเพสที่ปริมาณต่างๆในสารละลายกรดอะซิติกร้อยละ 1 โดยปริมาตรแล้วทำละลายในสารละลายไคโตซานจากทั้ง 3 ความเข้มข้นข้างต้นจนมีอัตราส่วนโดยน้ำหนักของเอนไซม์ไลเพสกับสารละลายไคโตซานเป็น 1:100 1:150 และ 1:200 ตามลำดับ ทั้งนี้การออกแบบการทดลองด้วยวิธีการออกแบบการทดลองแบบ Two-way ANOVA แสดงได้ดังตารางที่ 5

**ตารางที่ 5 การออกแบบการทดลองแบบ Two-way ANOVA เพื่อศึกษาสภาวะที่เหมาะสม  
ต่อการตรึงเอนไซม์ไอลิปส์**

ร้อยละโดยปริมาตรของสารละลายกรดอะซิติก	อัตราส่วนโดยน้ำหนักของเอนไซม์ไอลิปส์ต่อสารละลายไกโตกาน		
	1:100	1:150	1:200
1	$y_{11}$	$y_{12}$	$y_{13}$
1.5	$y_{21}$	$y_{22}$	$y_{23}$
2	$y_{31}$	$y_{32}$	$y_{33}$

หมายเหตุ ปริมาณผงไกโตกานในสารละลายไกโตกานที่ร้อยละ 1 โดยปริมาตรคือ 1 กรัม ปริมาณผงไกโตกานในสารละลายไกโตกานที่ร้อยละ 1.5 โดยปริมาตรคือ 1.5 กรัม และปริมาณผงไกโตกานในสารละลายไกโตกานที่ร้อยละ 2 โดยปริมาตร คือ 2 กรัม และ  $y_{ij}$  คือค่ากิจกรรมของเอนไซม์ที่ได้

สารละลายเอนไซม์ไอลิปส์ในไกโตกานถูกหยดด้วยเข็มฉีดยาขนาด 23G ลงในสารละลาย 0.136 โมลาร์ของสารละลายโซเดียมไตรโพลิฟอสเฟต (ซึ่งเตรียมได้โดยสารละลายโซเดียมไตรโพลิฟอสเฟต ในสารละลายฟอสเฟตบัฟเฟอร์ พีเอช 7.2) จากนั้นทำการแร่เอนไซม์ไอลิปส์ที่ถูกตรึงในสารละลายดังกล่าวเป็นเวลา 75 นาที แล้วจึงล้างเอนไซม์ไอลิปส์ที่ถูกตรึง 2 ครั้งด้วยฟอสเฟตบัฟเฟอร์ พีเอช 7 แล้วจึงนำไปศึกษาหาค่ากิจกรรมของเอนไซม์ไอลิปส์ที่ตรึงได้ต่อไป

## 1.2 การศึกษาปัจจัยที่มีอิทธิพลในกระบวนการผลิตไบโอดีเซลจากน้ำมันเมล็ดดอกทานตะวันและเมทานอลโดยใช้เอนไซม์ไอลิปส์ที่ถูกตรึงบนแม่ดีไกโตกานด้วยวิธีห่อหุ้ม

น้ำมันเมล็ดดอกทานตะวัน เมทานอล เอกเซน น้ำ และ เอนไซม์ไอลิปส์ที่ถูกตรึงในปริมาณตามอัตราส่วนที่กำหนดในการออกแบบการทดลองแบบ Plankett-Burman ถูกผสมในภาชนะขนาด 50 มิลลิลิตร จากนั้นนำไป燮าด้วยเครื่อง燮าควบคุมอุณหภูมิซึ่งควบคุมอุณหภูมิในช่วง 30-50° ซ อัตราการ燮าที่ 200 รอบต่อนาทีเป็นเวลา 24 ชั่วโมง จากนั้นจึงหยุดการ燮าและการองแยกสารละลายออกจากเอนไซม์ไอลิปส์ที่ถูกตรึง นำสารละลายที่ได้ไปปั่นให้ว่างที่ 3,000 รอบต่อนาที เป็นเวลา 20 นาที สารละลายที่ได้จะแยกเป็นสองชั้น นำสารละลายไปอังไอน้ำด้วยอ่างน้ำควบคุม

อุณหภูมิที่ 65° ช เป็นเวลา 30 นาทีเพื่อระเหยເອກເຊນ จากนั้นแยกสารละลายส่วนบนเก็บไว้สำหรับ การวิเคราะห์หาปริมาณเมทิลเอสเทอร์ในขั้นตอนต่อไป

### 1.3 การศึกษาสภาวะที่เหมาะสมในการผลิตไบโอดีเซลจากน้ำมันเมล็ดดอกทานตะวันและ เมทานอลโดยใช้ออนไซม์ไอลเปสที่ถูกตรึงบนเม็ดไกโคไซด์ด้วยวิธีห่อหุ้ม

น้ำมันเมล็ดดอกทานตะวัน เมทานอล และอ่อน ไชม์ไอลเปสที่ถูกตรึงในปริมาณตาม อัตราส่วนที่กำหนดในการออกแบบทดลองแบบ Box-Behnken ถูกผสมในภาชนะด้วยปูนพูนดาด 50 มิลลิลิตร จากนั้นถูกล่าน้ำไปเบย่าด้วยเครื่องเบย่าควบคุมอุณหภูมิซึ่งควบคุมอุณหภูมิในช่วง 30-50° ช อัตราการเบย่าที่ 200 รอบต่อนาทีเป็นเวลา 24 ชั่วโมง จากนั้นจึงหยุดการเบย่าและการแยกสารละลาย ออกจากอ่อน ไชม์ไอลเปสที่ถูกตรึง นำสารละลายที่ได้ไปปั่นให้ว่องที่ 3,000 รอบต่อนาที เป็นเวลา 20 นาที สารละลายที่ได้จะแยกเป็นสองชั้น จากนั้นแยกสารละลายส่วนบนเก็บไว้สำหรับการวิเคราะห์หา ปริมาณเมทิลเอสเทอร์ในขั้นตอนต่อไป

### 1.4. การศึกษาหาค่าคงที่ทางジョンพลศาสตร์ของปฏิกิริยาทรานส์เอสเทอเรติกเคชั่นของ น้ำมันเมล็ดดอกทานตะวันและเมทานอลโดยใช้ออนไซม์ไอลเปสที่ถูกตรึง

ジョンพลศาสตร์ในการเร่งปฏิกิริยาของอ่อน ไชม์ มีความสำคัญเป็นอย่างยิ่งในการออกแบบ ถังปฏิกิริยาระหว่างภาพ (Hari and Karanth, 2001) โดยเฉพาะอย่างยิ่งการออกแบบขนาดของถังปฏิกิริยานี้ให้ ได้ผลิตภัณฑ์ที่มีความเข้มข้นและปริมาณตามต้องการ

อัตราการเกิดปฏิกิริยาถูกศึกษาด้วยวิธีอัตราการเกิดปฏิกิริยาเริ่มต้น (Initial rate method) ซึ่งเป็นการหาอัตราการเกิดปฏิกิริยาในสภาวะที่เริ่มทำปฏิกิริยา ในการทดลองนี้ทำการแปรค่าความ เข้มข้นของน้ำมันเมล็ดดอกทานตะวันที่ 5 7 10 และ 12 มิลลิโลมาր์ และเมทานอลแปรค่าที่ 20 37.5 50 62.5 100 และ 200 มิลลิโลมาր์ โดยใช้ปริมาณอ่อน ไชม์ไอลเปสที่ถูกตรึง 1 กรัม ซึ่งนำมันเมล็ดดอก ทานตะวัน เมทานอล และ อ่อน ไชม์ไอลเปสที่ถูกตรึงในปริมาณต่างๆ ถูกใส่ในภาชนะด้วยปูนพูนดาด 50 มล. ทำการเบย่าด้วยเครื่องเบย่าควบคุมอุณหภูมิที่ความเร็วรอบ 200 รอบต่อนาที เป็นเวลา 24 ชั่วโมง ควบคุมอุณหภูมิที่ 30° ช จากนั้นทำการหาปริมาณเมทิลเอสเทอร์ที่ได้

## 2. วิธีวิเคราะห์

## 2.1 การหาค่ากิจกรรมของเอนไซม์ไลเปส

ค่ากิจกรรมของเอนไซม์ (Enzyme activity) เป็นค่าที่ใช้แสดงความสามารถในการเร่งปฏิกิริยาของเอนไซม์ ซึ่งการหาค่ากิจกรรมของเอนไซม์ไลเปสในงานวิจัยนี้มี 2 ส่วนคือการหาค่ากิจกรรมของเอนไซม์ไลเปสอิสระ และการหาค่ากิจกรรมของเอนไซม์ไลเปสที่ถูกตรึง ซึ่งเอนไซม์ทั้งสองชนิดถูกใช้ในการเร่งปฏิกิริยาการย่อยสารพารา-ไนโตรฟีนิลปาล์มิเตด (p-NPP) ให้เป็นสารพารา-ไนโตรฟีโนล (p-NP) ซึ่งการหาค่ากิจกรรมทำได้โดยการเตรียมสารตั้งต้น A ซึ่งเป็นการทำละลายสารพารา-ไนโตรฟีนิลปาล์มิเตด (p-NPP) 30 มิลลิกรัม ใน 2-โพրพานอล 10 มิลลิลิตร และเตรียมสารตั้งต้น B ซึ่งเตรียมได้โดยทำละลาย 0.4 กรัมของ Triton-X-100 กับ 0.1 กรัมของ Gum Arabic ในสารละลายฟอสเฟตบัฟเฟอร์ พีเอช 8 ปริมาตร 90 มิลลิลิตร ผสมสารละลาย A และ B ด้วยอัตราส่วนโดยปริมาตรเป็น 1:9 ทั้งนี้หน่วยกิจกรรมของเอนไซม์ไลเปสถูกนิยามดังนี้

หน่วยกิจกรรมของเอนไซม์ไลเปส คือปริมาณของเอนไซม์ไลเปสที่ใช้ในการเร่งปฏิกิริยาการผลิต 1 ไมโครโมลของ พารา-ไนโตรฟีโนล ต่อนาทีภายใต้สภาวะที่ทำการทดลอง

### 2.1.1 การหาค่ากิจกรรมของเอนไซม์ไลเปสอิสระ

การหาค่ากิจกรรมของเอนไซม์ไลเปสอิสระจะทำตามวิธีของ Winkler and Struckmann (1979) ดังนี้

1. ซึ่ง 0.05 กรัมของเอนไซม์ไลเปส เติม 10 มิลลิลิตรของฟอสเฟตบัฟเฟอร์ พีเอช 8 ปีเปตสารละลายที่ได้ 0.01 มิลลิลิตร เติมฟอสเฟตบัฟเฟอร์ พีเอช 8 ปริมาตร 1.99 มิลลิลิตร
2. ปีเปตสารละลายที่ได้ 0.1 มิลลิลิตร เติมสารตั้งต้น 2 มิลลิลิตร จากนั้นบ่มสารละลายที่ได้ที่อุณหภูมิห้องเป็นเวลา 15 นาที
3. ปีเปตสารละลายที่ได้ 0.2 มิลลิลิตร เติม 2.9 มิลลิลิตรของตัวหยุดปฏิกิริยาแล้วหาค่าการดูดกลืนคลื่นแสงที่ 410 นาโนเมตรด้วยเครื่องสเปกโตรโฟโตมิเตอร์ หาความเข้มข้นของพารา-ไนโตรฟีโนล (p-NP) จากกราฟมาตราฐานที่แสดงในภาคผนวก ก1

### 2.1.2 การหาค่ากิจกรรมของเอนไซม์ไลเปสที่ถูกตรึง

การหาค่ากิจกรรมของเอนไซม์ไลเปสอิสระทำตามวิธีของ Winkler and Struckmann (1979) ดังนี้

1. ชั่ง 0.01 กรัมของเอนไซม์ไลเปส เติม 2 มิลลิลิตรของฟอสเฟตบัฟเฟอร์ พีเอช 8 เติมสารตั้งต้น 2 มิลลิลิตร จากนั้นบ่มสารละลายที่ได้ที่อุณหภูมิห้องเป็นเวลา 15 นาที

2. เติม 3 มิลลิลิตรของตัวขุดคลีนคลีนแสงที่ 410 นาโนเมตรด้วยเครื่องสเปกโตรโฟโตมิเตอร์ หาความเข้มข้นของพารา-ไนโตรฟีนอล ( $p\text{-NP}$ ) จากราฟมาตรฐานที่แสดงในภาคผนวก ก1

## 2.2 วิธีการหาปริมาณเมทิลເອສເທອຣ์ในสารละลาย

ชั่งสารละลายที่จะวิเคราะห์ประมาณ 50 มิลลิกรัมด้วยเครื่องชั่ง 4 ตำแหน่ง (จดบันทึกค่าที่แน่นอนไว้) เติม 50 ไมโครลิตรของไตรแคปริน (Tricaprin) ความเข้มข้น 8 มก./มล. ของไพริดิน โดยสารละลายไตรแคปรินทำหน้าที่เป็นสารมาตรฐานภายใน (Internal standard) จากนั้นเติม 100 ไมโครลิตรของสาร MSTFA ผสมสารอย่างรุนแรงแล้วตั้งทิ้งไว้ 15 นาที จากนั้นจึงเติมเชปเทน 8 มิลลิลิตร และวิจัยวิเคราะห์หาปริมาณเมทิลເອສເທອຣ์ด้วยเครื่องแก๊สโคมากอตกราฟีซึ่งมีสภาวะดังนี้

คอลัมน์ DB-5HT ขนาดยาว 15 เมตร เส้นผ่านศูนย์กลาง 0.25 มิลลิเมตร

แก๊สตัวพา ไนโตรเจน

ปริมาณสารตัวอย่างที่ฉีด 1 ไมโครลิตร

ตัวตรวจวัด Flame ionized detector (FID) มีอุณหภูมิ  $380^{\circ}\text{C}$

### การตั้งอุณหภูมิ

อุณหภูมิคงที่  $50^{\circ}\text{C}$  เป็นเวลา 1 นาที จากนั้นเพิ่มด้วยอัตรา  $15^{\circ}\text{C}$  ต่อนาที จนมีอุณหภูมิที่  $180^{\circ}\text{C}$  จากนั้นเพิ่มอุณหภูมิด้วยอัตรา  $7^{\circ}\text{C}$  ต่อนาที จนมีอุณหภูมิ  $230^{\circ}\text{C}$  จากนั้นเพิ่มอุณหภูมิด้วยอัตรา  $10^{\circ}\text{C}$  ต่อนาที จนมีอุณหภูมิ  $370^{\circ}\text{C}$  ทั้งนี้เวลาในการประมวลผลสารต่างๆในโคมากอตกราฟีแล้วในตารางที่ 6

ตารางที่ 6 เวลาในการประมวลผลสารต่างๆในโคมากอตกราฟี

ตารางที่ 6 โน้มโนกลีเซอไรด์ ไดกเลิเซอไรด์ และไตรกลีเซอไรด์ในไขมันดิบตัวอย่าง

สาร	เวลาปรากฏ (นาที)
กลีเซอรอล (glycerol)	3.8
เมทิลลิโนลีอเอท (Methyl linoleate)	9.9
1-โน้มโน่ในริสติด-แรค-กลีเซอรอล (1-monomyristyl-rac-glycerol)	12.3
เชปตัดเดคาโนอิก เมทิลเอสเทอร์ (Heptadecanoic methyl ester) (as methyl ester standard)	14.8
โน้มโนกลีเซอไรด์ (Monoglyceride)	16.0
ไตรแคปริน (Tricaprin) (as internal standard)	21.6
ไดกเลิเซอไรด์ (Diglyceride)	24.5-25.8
ไตรกลีเซอไรด์ (Triglyceride) (as triolein)	30.1-32.7

ที่มา: AOCS, Official Method Ce 1-62

การหาปริมาณเมทิลเอสเทอร์พิจารณาได้จากเชปตัดเดคาโนอิกเมทิลเอสเทอร์ ซึ่งการสร้างกราฟมาตรฐานแสดงในภาคผนวก ค

ปริมาณเมทิลเอสเทอร์สามารถหาได้จากการหาราก

$$W_{FAME} = a_x \times \left( \frac{A_{FAME}}{A_{is}} \right) + b_x \quad (13)$$

เมื่อ

- |            |   |                                 |
|------------|---|---------------------------------|
| $W_{FAME}$ | = | น้ำหนักของเมทิลเอสเทอร์ (มก.)   |
| $a_x$      | = | ความชันของกราฟมาตรฐาน           |
| $A_{FAME}$ | = | พื้นที่ใต้พีกของเมทิลเอสเทอร์   |
| $A_{is}$   | = | พื้นที่ใต้พีกของสารมาตรฐานภายใน |
| $b_x$      | = | จุดตัดแกนว่ายของกราฟมาตรฐาน     |

ปริมาณเมทิลเอสเทอร์ในสารละลายน้ำได้จากการสมการ

$$\frac{\text{ร้อยละโดยน้ำหนักของ}}{\text{เมทิลเอสเทอร์}} = \frac{\text{น้ำหนักของเมทิลเอสเทอร์ (มก.)} \times 100}{\text{น้ำหนักของสารตัวอย่าง (มก.)}}$$
 (14)

## ผลและวิจารณ์

งานวิจัยนี้แบ่งการทดลองออกเป็น 3 ส่วนประกอบด้วย ส่วนแรกเป็นการศึกษาสภาวะที่เหมาะสมในวิธีการตรึงเอนไซม์ไอลเปสบันเม็ดไก่โต查นาด้วยวิธีห่อหุ้มโดยใช้การออกแบบการทดลองแบบ Two-way ANOVA ส่วนที่สองเป็นการศึกษาปัจจัยที่มีอิทธิพลต่อการผลิตไบโอดีเซล และศึกษาสภาวะที่เหมาะสมของปัจจัยที่มีอิทธิพลในการผลิตไบโอดีเซลจากเอนไซม์ไอลเปสที่ถูกตรึงบนเม็ดไก่โต查นาด้วยวิธีห่อหุ้มด้วยวิธีการออกแบบการทดลองแบบ Plackett-Burman และการออกแบบการทดลองแบบพื้นผิวตอบสนองด้วยวิธีของ Box-Behnken โดยการทดลองส่วนสุดท้ายเป็นการศึกษาค่าคงที่ทางจนพลศาสตร์ในการเร่งปฏิกิริยาทรานส์เอสเตอเรติกเขั้นของน้ำมันเมล็ดดอกทานตะวัน และ เมทานอลด้วยเอนไซม์ไอลเปสที่ถูกตรึงบนไก่โต查นาดด้วยวิธีห่อหุ้ม

### 1. การศึกษาสภาวะที่เหมาะสมต่อการตรึงเอนไซม์ไอลเปสโดยใช้สถิติด้วยวิธีการออกแบบการทดลองแบบ Two-way ANOVA

สภาวะที่เหมาะสมในการตรึงเอนไซมน์นับเป็นปัจจัยที่มีความสำคัญต่อการผลิตไบโอดีเซล เอนไซม์ที่ถูกตรึงที่มีคุณสมบัติที่ดี คือ ต้องมีค่ากิจกรรมของเอนไซม์สูง มีความเสถียร และสามารถนำกลับมาใช้ใหม่ได้ (Balaraman and Soundar, 2004) เพื่อศึกษาสภาวะที่เหมาะสมต่อการตรึงเอนไซม์ไอลเปสจาก *Pseudomonas fluorescens* ซึ่งถูกตรึงในสภาวะต่างๆดังแสดงในตารางที่ 7 โดยสภาวะดังกล่าวได้จากการออกแบบการทดลองแบบ Two-way ANOVA

ตารางที่ 7 สภาวะของการตรีงเอนไซม์ไลเปสที่ได้จากการออกแบบทดลองแบบ Two-way ANOVA เพื่อศึกษาสภาวะที่เหมาะสมต่อการตรีงเอนไซม์ไลเปส

การทดลอง	น้ำหนัก เอนไซม์ไลเปส	สารละลายน้ำตาล
ที่	(กรัม)	ไคโตซาน
1	1	100 กรัมของสารละลายน้ำตาล (1% w/v ไคโตซานที่ทำละลายใน 1% v/v กรดอะซิติก)
2	0.67	100 กรัมของสารละลายน้ำตาล (1% w/v ไคโตซานที่ทำละลายใน 1% v/v กรดอะซิติก)
3	0.5	100 กรัมของสารละลายน้ำตาล (1% w/v ไคโตซานที่ทำละลายใน 1% v/v กรดอะซิติก)
4	1	100 กรัมของสารละลายน้ำตาล (1.5 %w/v ไคโตซานที่ทำละลายใน 1.5 %v/v กรดอะซิติก)
5	0.67	100 กรัมของสารละลายน้ำตาล (1.5 %w/v ไคโตซานที่ทำละลายใน 1.5 %v/v กรดอะซิติก)
6	0.5	100 กรัมของสารละลายน้ำตาล (1.5 %w/v ไคโตซานที่ทำละลายใน 1.5 %v/v กรดอะซิติก)
7	1	100 กรัมของสารละลายน้ำตาล (2%w/v ไคโตซานที่ทำละลายใน 2%v/v กรดอะซิติก)
8	0.67	100 กรัมของสารละลายน้ำตาล (2%w/v ไคโตซานที่ทำละลายใน 2%v/v กรดอะซิติก)
9	0.5	100 กรัมของสารละลายน้ำตาล (2%w/v ไคโตซานที่ทำละลายใน 2%v/v กรดอะซิติก)

เอนไซม์ที่ถูกตรึงในสภาวะดังกล่าวจะถูกนำไปศึกษาหาค่ากิจกรรมของการเร่งปฏิกิริยาทranส์เอสเตอเรฟิเชชั่นของ พารา-ไนโตรฟินิลปาล์มมิเตด (p-NPP) และ 2-โพราพาโนลด์ โดยโปรแกรมคอมพิวเตอร์ทางสถิติมินิแทบ รุ่นที่ 13 ถูกใช้ในการศึกษาซึ่งการออกแบบการทดลองทำการศึกษาค่าอัตราส่วนโดยน้ำหนักของเอนไซม์ไลเปสกับสารละลายไคโตซานเป็น 1:100 1:150 และ 1:200 และการเตรียมสารละลายไคโตซานที่ความเข้มข้นของสารละลายกรดอะซิติกที่ร้อยละ โดยปริมาตรคือ 1 1.5 และ 2 ซึ่งในแต่ละการทดลองมีการทำซ้ำจำนวน 3 ครั้งได้ผลการทดลองดังแสดงในตารางที่ 8

#### ตารางที่ 8 ค่ากิจกรรมของเอนไซม์ไลเปสที่ถูกตรึงตามการออกแบบการทดลองแบบ

Two-way ANOVA

ร้อยละโดย ปริมาตร สารละลาย กรดอะซิติก	อัตราส่วนโดยน้ำหนักของเอนไซม์ไลเปสต่อสารละลายไคโตซาน								
	1:100			1:150			1:200		
	1	1.5	2	1	1.5	2	1	1.5	2
1	230	260	280	374	382	402	355	363	371
1.5	368	379	392	383	394	410	379	394	404
2	323	341	362	334	358	386	298	322	348

หมายเหตุ น้ำหนักผงไคโตซานในสารละลายไคโตซานที่ร้อยละ โดยปริมาตรของสารละลายกรดอะซิติกที่ร้อยละ 1 1.5 และ 2 คือ 1, 1.5 และ 2 กรัมตามลำดับ

ข้อมูลจากตารางที่ 8 แสดงให้เห็นว่าสภาวะในการเตรียมเอนไซม์ไลเปสที่ถูกตรึงมีอิทธิพลต่อค่ากิจกรรมของเอนไซม์ไลเปสที่ถูกตรึงที่ได้ ซึ่งผลการวิเคราะห์ทางสถิติที่ได้จากโปรแกรมคอมพิวเตอร์มินิแทบ รุ่นที่ 13 แสดงได้ดังตารางที่ 9

**ตารางที่ 9 การวิเคราะห์ทางสถิติของค่าเฉลี่ยของค่ากิจกรรมของเอนไซม์ไลเปสที่ถูกตั้งจากผลการออกแบบการทดลองแบบ Two-way ANOVA**

Source	Degree of freedom	SS	MS	F	P
%v/v (Treatment A)	2	18,897	9448.5	11.38	0.003
w/w (Treatment B)	2	15,740	7870	9.48	0.006
Error (E)	22	18,264	830.2		
Total	26	52,901.2			

เมื่อ SS = Sum square Treatment

MS = Mean square

$$F_A = \frac{MSA}{MSE} = \frac{9448.5}{830.2} = 11.38$$

$$F_B = \frac{MSB}{MSE} = \frac{7870}{830.2} = 9.48$$

P = โอกาสที่น้อยที่สุดที่จะปฏิเสธสมมติฐานหลักได้ในการทดสอบสมมติฐาน เมื่อสมมติฐานหลักนั้นถูกต้อง

จากค่าพารามิเตอร์ทางสถิติในตารางที่ 9 แสดงให้เห็นอิทธิพลของร้อบลั่นโดยปริมาตรของสารละลายกรดอะซิติกที่ใช้ในการเตรียมสารละลายไคโตชาแน (%v/v, Treatment A) เป็นปัจจัยที่มีความสำคัญทางสถิติต่อค่ากิจกรรมของเอนไซม์ไลเปสที่ถูกตั้ง ซึ่งแสดงได้ด้วยค่าสถิติ P ที่มีค่าเป็น 0.003 ซึ่งแสดงให้เห็นว่ามีโอกาสที่จะปฏิเสธสมมติฐานหลักเมื่อสมมติฐานหลักนั้นถูกต้องเพียง 0.003 และยังแสดงได้ว่าค่าสถิติ P ที่ได้มีค่าน้อยกว่า 0.01 (ระดับนัยสำคัญ 99%) จึงสามารถปฏิเสธสมมติฐานหลักได้ นั่นคือร้อบลั่นโดยปริมาตรของสารละลายกรดอะซิติกที่ใช้ในการเตรียมสารละลาย

ไคโตซาน (Treatment A) มีอิทธิพลต่อค่าเฉลี่ยของค่ากิจกรรมของเอนไซม์ไลเปสที่ถูกตรึง จึงทำให้ไม่สามารถตัดปัจจัยนี้ออกໄປได้

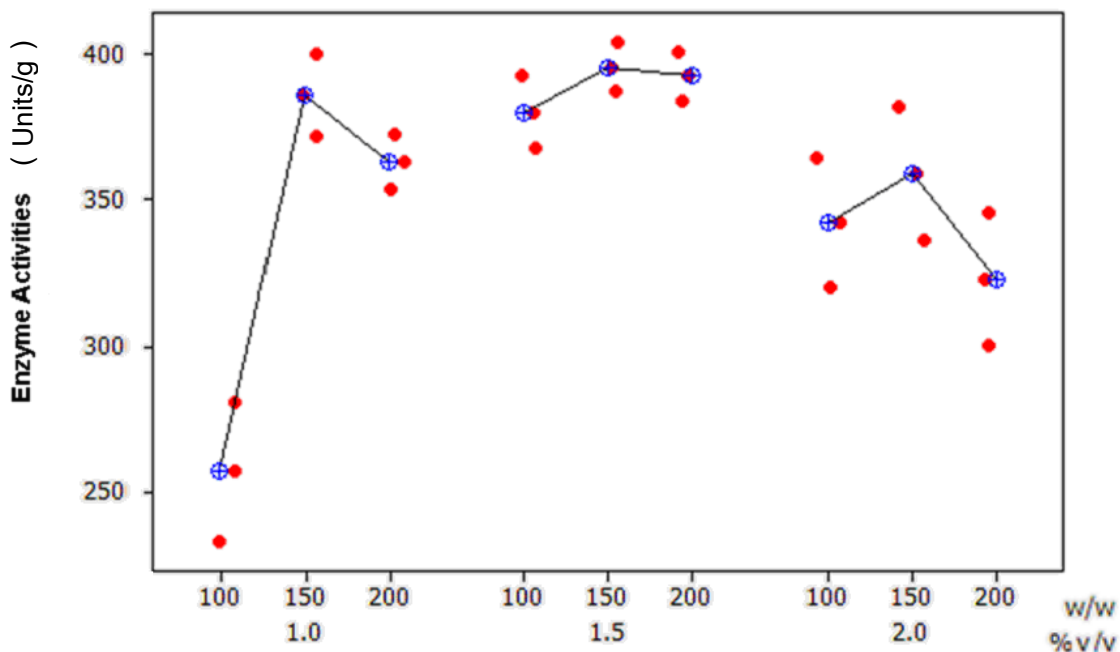
จากค่าสถิติ P ของอัตราส่วนโดยน้ำหนักของเอนไซม์ไลเปสต่อสารละลายไคโตซาน (w/w, Treatment B) พบว่ามีค่าเป็น 0.006 แสดงให้เห็นว่ามีโอกาสที่จะปฏิเสธสมมติฐานหลักเมื่อสมมติฐานหลักนี้ถูกต้องเพียง 0.006 และยังแสดงได้ว่าค่าสถิติ P ที่ได้มีค่าน้อยกว่า 0.01 (ระดับนัยสำคัญ 99%) จึงสามารถปฏิเสธสมมติฐานหลักได้ นั่นคืออัตราส่วนโดยน้ำหนักของเอนไซม์ไลเปสต่อสารละลายไคโตซานมีอิทธิพลต่อค่าเฉลี่ยของค่ากิจกรรมของเอนไซม์ไลเปสที่ถูกตรึง จึงทำให้ไม่สามารถตัดปัจจัยนี้ออกໄປได้

ภาพที่ 14 แสดงความสัมพันธ์ระหว่างค่ากิจกรรมของเอนไซม์ไลเปสที่ถูกตรึงที่สภาวะในการทดลองตามวิธีการออกแบบการทดลองแบบ Two-way ANOVA จากกราฟแสดงให้เห็นว่าสภาวะที่เหมาะสมในการตรึงเอนไซม์ไลเปสจาก *Pseudomonas fluorescens* คือ ร้อยละ โดยปริมาตรของสารละลายกรดอะซิติกที่ใช้ในการเตรียมสารละลายไคโตซานเป็น 1.5 และ อัตราส่วนโดยน้ำหนักของเอนไซม์ไลเปสต่อสารละลายไคโตซานเป็น 1:150 โดยให้ค่ากิจกรรมของเอนไซม์ไลเปสที่ถูกตรึงเป็น 396 หน่วยต่อกรัมของเอนไซม์ไลเปสที่ถูกตรึง โดยที่สภาวะนี้ยังให้ลักษณะของเอนไซม์ไลเปสที่ถูกตรึงมีความเสถียรมากที่สุด

เมื่อทำการเปรียบเทียบกับสภาวะที่ร้อยละ โดยปริมาตรของสารละลายกรดอะซิติกที่ใช้ในการเตรียมสารละลายไคโตซานเป็น 1 และ อัตราส่วนโดยน้ำหนักของเอนไซม์ไลเปสต่อสารละลายไคโตซานเป็น 1:100 ซึ่งให้ค่าเฉลี่ยของค่ากิจกรรมของเอนไซม์ไลเปสที่ถูกตรึงเป็น 256.7 โดยลักษณะของเม็ดเอนไซม์ไลเปสที่ถูกตรึงพบว่ามีลักษณะนิ่มและเปื่อยยุ่ยแตกง่าย ไม่เป็นเม็ด อีกทั้งในขณะแยกอาจเอนไซม์ไลเปสที่ถูกตรึงออกจากสารละลายไตรโพลิฟอสเฟตตลอดจนการถังด้วยสารละลายฟอสเฟตบัฟเฟอร์พีโอช 8 จำนวน 2 ครั้ง อาจมีการสูญเสียเอนไซม์ไลเปสไประหว่างกระบวนการดังกล่าวจึงทำให้ที่สภาวะดังกล่าวได้ค่ากิจกรรมของเอนไซม์มีค่าต่ำกว่าสภาวะอื่นๆ

ในขณะที่ร้อยละ โดยปริมาตรของสารละลายกรดอะซิติกที่ถูกใช้ในการเตรียมสารละลายไคโตซานเท่ากับ 2 จะพบว่าไคโตซานที่ใช้มีปริมาณมากเกินไปจนอาจทำให้โครงข่ายในการห่อหุ้มเอนไซม์มีความแน่นมากกว่าที่ร้อยละ โดยปริมาตรเป็น 1.5 ซึ่งในทุกความเข้มข้นของสารละลายไคโตซานเอนไซม์ไลเปสไม่มีการหลุดออกໄไปกับสารละลายระหว่างกระบวนการเตรียมเอนไซม์ไลเปสที่ถูกตรึง

อย่างไรก็ตาม เอนไซม์อาจเสื่อมสภาพเมื่อถูกคลายในสารละลายน้ำซึ่งติดต่อที่มีความเข้มข้นสูงกว่าร้อยละ โดยปริมาตรเป็น 1.5 จึงทำให้ได้ค่ากิจกรรมของเอนไซม์ที่ลดลง

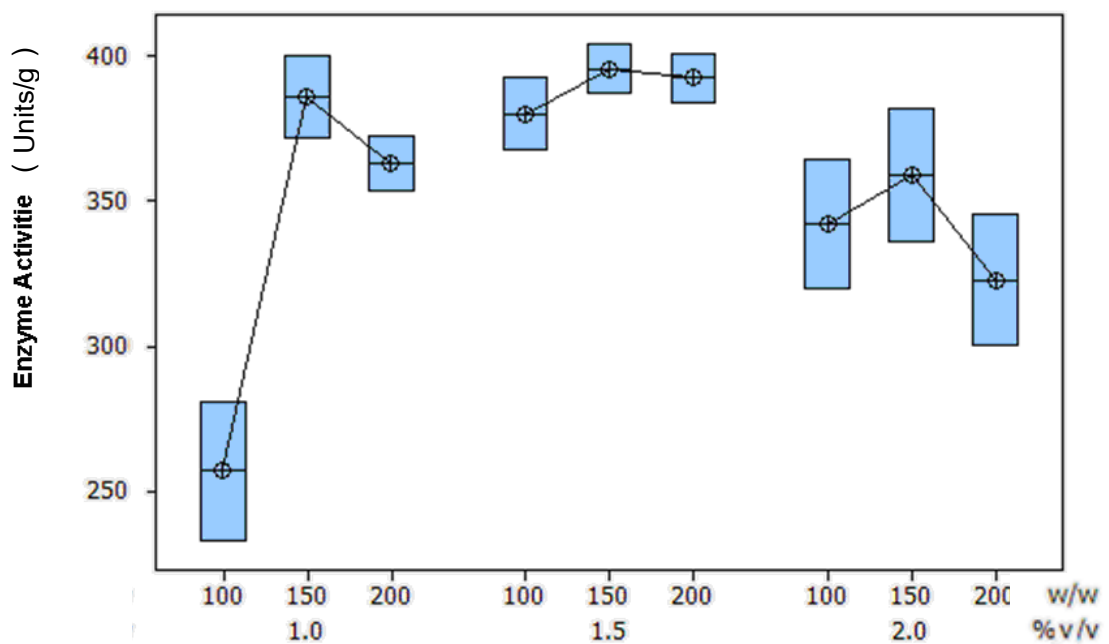


ภาพที่ 14 ความสัมพันธ์ระหว่างค่ากิจกรรมของเอนไซม์ไอลิเพสที่ถูกตรึงในสภาวะ

การตรึงตามวิธีการออกแบบทดลองแบบ Two-way ANOVA

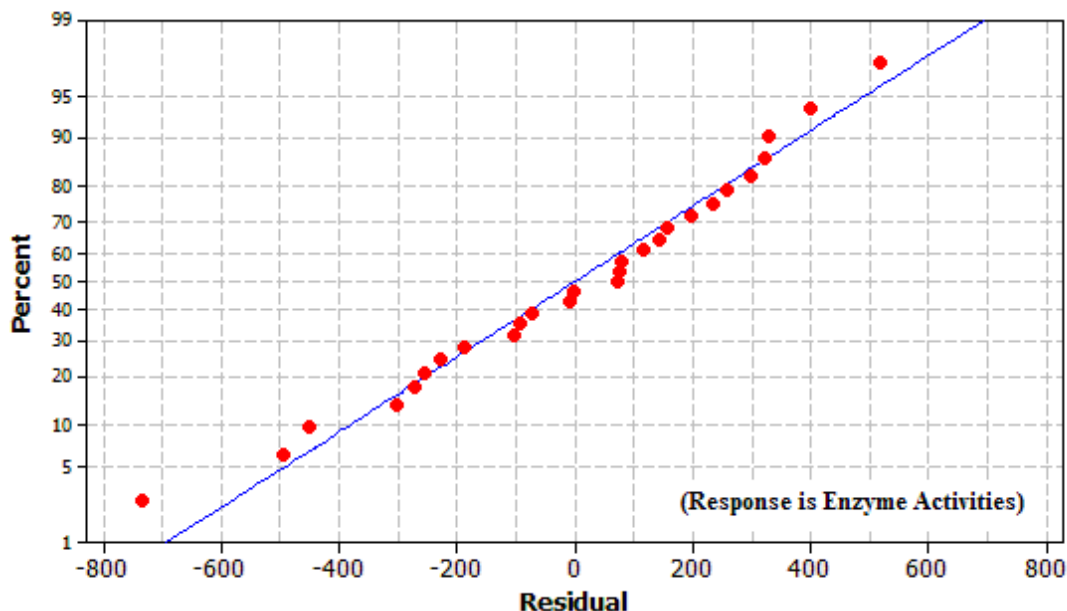
- หมายเหตุ • คือค่ากิจกรรมของเอนไซม์ไอลิเพสที่ถูกตรึงที่ได้จากการทดลอง  
⊕ คือค่าเฉลี่ยของกิจกรรมของเอนไซม์ไอลิเพสที่ถูกตรึงที่ได้จากโปรแกรม  
สถิติมินิแท็บ รุ่นที่ 13

ภาพที่ 15 แสดงค่ากลาง (Median) ของข้อมูลในแต่ละสภาวะ ซึ่งแต่ละกล่องแสดงข้อมูลการทดลองโดยเส้นตรงในกล่องแสดงค่ากลางของข้อมูล ในขณะที่ขอบของกล่องแสดงข้อมูลที่มากที่สุด และต่ำที่สุดของข้อมูล จะเห็นได้ว่าข้อมูลค่ากิจกรรมที่ได้จากการตรึงเอนไซม์ที่เตรียมได้จากสารละลายน้ำตาลที่สภาวะ 1.5%v/v และอัตราส่วนโดยน้ำหนักของเอนไซม์ไอลิเพสที่ถูกตรึงกับสารละลายน้ำตาลเป็น 1:150 จะให้ค่ากิจกรรมของเอนไซม์สูงสุดคือ 396 หน่วยต่อกรัมของเอนไซม์ไอลิเพสที่ถูกตรึง นอกจากนี้ยังพบว่าข้อมูลที่สภาวะ 1.5%v/v ให้ค่ากิจกรรมของเอนไซม์สูงสุดและต่ำสุดใกล้เคียงกันมากที่สุดแสดงให้เห็นว่าการตรึงเอนไซม์ที่สภาวะดังกล่าวจะให้ค่ากิจกรรมของเอนไซม์ใกล้เคียงกันมากกว่าสภาวะอื่นๆ ซึ่งอาจเกิดจากในสภาวะดังกล่าวเอนไซม์ไอลิเพสที่ถูกตรึงมีเสถียรภาพสูงกว่าเอนไซม์ไอลิเพสที่ถูกตรึงในสภาวะอื่นๆ



ภาพที่ 15 ค่ากลาง ค่ามากที่สุดและค่าน้อยที่สุดของข้อมูลค่ากิจกรรมของเอนไซม์ไลเปสที่ถูกตรึงตามวิธีการออกแบบการทดลองแบบ Two-way ANOVA

ภาพที่ 16 แสดงกราฟการกระจายของข้อมูลซึ่งเป็นคุณสมบัติพื้นฐานของการจัดทำข้อมูลทางสถิติซึ่งข้อมูลที่นำมาใช้วิเคราะห์จะต้องมีกระจายของข้อมูลเป็นแบบปกติ โดยจุดที่แสดงในภาพที่ 16 อยู่ใกล้เคียงกับเส้นตรงซึ่งแสดงให้เห็นว่าการกระจายของข้อมูลในการทดลองนี้เป็นการกระจายแบบปกติ



ภาพที่ 16 การกระจายของข้อมูลแบบปกติของค่ากิจกรรมของเอนไซม์ไลเปสที่ถูกต้องตามวิธีการออกแบบการทดลองแบบ Two-way ANOVA

## 2. การศึกษาปัจจัยที่มีอิทธิพลในกระบวนการผลิตใบโอดีเซลจากน้ำมันเมล็ดดอกทานตะวันและเมทานอลโดยใช้เอนไซม์ไลเปสที่ถูกต้องบนแม่ดิคโคลา

ปัจจัยในการผลิตใบโอดีเซลจากเอนไซม์ไลเปสที่ถูกต้องที่นำมาศึกษาในงานวิจัยนี้ ประกอบด้วย อุณหภูมิของปฏิกิริยา ( $30\text{--}50^\circ\text{C}$ ) อัตราส่วนโดยโมลของเมทานอลต่อน้ำมันเมล็ดดอกทานตะวัน ( $1.5:1\text{--}6:1$ ) ร้อยละโดยน้ำหนักของน้ำ ( $0\text{--}6$ ) ร้อยละโดยน้ำหนักของเอนไซม์ไลเปสที่ถูกต้อง ( $10\text{--}50$ ) และร้อยละโดยน้ำหนักของตัวทำละลายร่วม ( $0\text{--}10$ ) ต่อร้อยละโดยน้ำหนักของ

เมทิลเอสเทอร์ในผลิตภัณฑ์ การศึกษาหาปัจจัยที่มีอิทธิพลต่อการผลิตไบโอดีเซลนี้ใช้วิธีการออกแบบ  
การทดลองแบบ Plankett-Burman

ผลการทดลองที่ได้ในแต่ละสภาวะในการออกแบบการทดลองแบบ Plankett-Burman แสดงได้ดังตารางที่ 10 การวิเคราะห์ผลทางสถิติอาชัยโปรแกรมทางสถิติมินิแทบ รุ่นที่ 13 และในตารางที่ 11 แสดงผลการวิเคราะห์ทางสถิติของการออกแบบการทดลองแบบ Plankett-Burman โดยการทดสอบทางสถิติตามวิธีการออกแบบการทดลองดังกล่าวเป็นการทดสอบสมมติฐานที่ปัจจัยต่างๆ มีผลต่อค่าเฉลี่ยของร้อยละโดยนำหนักของเมทิลเอสเทอร์ในผลิตภัณฑ์ดังนี้

$$H_0: \mu_1 = \mu_2 = \mu_3 = \dots = \mu_k$$

$$H_1: \mu_i \neq \mu_j \text{ อย่างน้อย } 1 \text{ คู่ } \text{ของ } \mu_i \text{ และ } \mu_j$$

เมื่อ  $H_0$  คือสมมติฐานหลัก

$H_1$  คือสมมติฐานทางเลือก หรือ สมมติฐานวิจัย

$\mu_i, \mu_j$  คือค่าเฉลี่ยร้อยละโดยนำหนักของเมทิลเอสเทอร์ในผลิตภัณฑ์ที่สภาวะของการทดลองที่  $i$  และ  $j$  ตามลำดับ

**ตารางที่ 10 สภาวะในการทดลองตามการออกแบบการทดลองแบบ Plankett-Burman และร้อยละโดยน้ำหนักของเมทิลเอสเทอร์ในผลิตภัณฑ์ที่ได้**

No.	$\xi_1$	$\xi_2$	$\xi_3$	$\xi_4$	$\xi_5$	FAME
1	50	6.0 : 1	50	0	0	12.38
2	50	1.5 : 1	50	10	0	1.20
3	30	1.5 : 1	10	0	0	10.16
4	30	6.0 : 1	50	10	6	25.51
5	50	6.0 : 1	10	0	6	1.10
6	30	1.5 : 1	50	0	6	12.30
7	30	6.0 : 1	10	10	0	13.22
8	50	1.5 : 1	10	10	6	2.50

- เมื่อ  $\xi_1$  = อุณหภูมิของปฏิกิริยา (°C)  
 $\xi_2$  = อัตราส่วนโดยไมลของเมทานอลต่อน้ำมันเมล็ดคอ�판ตะวัน  
 $\xi_3$  = ร้อยละโดยน้ำหนักของเอนไซม์ไลเปสที่ถูกตรึง  
 $\xi_4$  = ร้อยละโดยน้ำหนักของตัวทำละลายร่วม  
 $\xi_5$  = ร้อยละโดยน้ำหนักของน้ำ  
FAME = ร้อยละโดยน้ำหนักของเมทิลเอสเทอร์

#### 2.1 แบบจำลองทางคณิตศาสตร์และการวิเคราะห์ทางสถิติของการออกแบบการทดลองแบบ Plankett-Burman

ทั้งนี้จะได้แบบจำลองทางคณิตศาสตร์สำหรับการอธิบายอิทธิพลของแต่ละปัจจัยจากการออกแบบการทดลองแบบ Plankett-Burman แบบรหัส (Code equation) ซึ่งต้องแทนค่าปัจจัยต่างๆเป็นรหัสโดย -1 ที่ค่าต่ำสุด และ +1 ที่ค่าสูงสุด ซึ่งจะได้สมการเป็นดังนี้

$$\begin{aligned} FAME &= 9.147 + 3.905 MO - 4.864 T + 1.198 W + 1.450 CS \\ &\quad + 3.683 IM - 0.944 MO \times W + 4.418 MO \times IM \end{aligned} \quad (15)$$

เมื่อ	<i>FAME</i>	=	ร้อยละ โดยนำหน้าหักของเมทิลเอสเทอร์ในผลิตภัณฑ์
	<i>MO</i>	=	อัตราส่วน โดยไม่扣ของเมทานอลต่อน้ำมันเมล็ดคอกท่านตะวัน
	<i>T</i>	=	อุณหภูมิ
	<i>W</i>	=	ร้อยละ โดยนำหน้าหักของน้ำ
	<i>CS</i>	=	ร้อยละ โดยนำหน้าหักของตัวทำละลายร่วม
	<i>IM</i>	=	ร้อยละ โดยนำหน้าหักของเอนไซม์ไลเปสที่ถูกตรึง

ตารางที่ 11 ผลการวิเคราะห์ทางสถิติของปัจจัยหลักจากการออกแบบการทดลองแบบ Plackett-Burman

Source	df	Seq SS	Adj SS	Adj MS	F	P
Main Effects (M)	5	448.06	448.06	89.61	3.88	0.217
Residual Error (R)	2	46.17	46.17	23.08		
Total	7	494.23				

เมื่อ Seq SS = Sequential sum of square

Adj SS = Adjusted sum of square

df = Degree of freedom

Adj MS = Adjusted mean square

$$F_A = \frac{\text{Adj MS}(M)}{\text{Adj MS}(R)} = \frac{89.61}{23.08} = 3.88$$

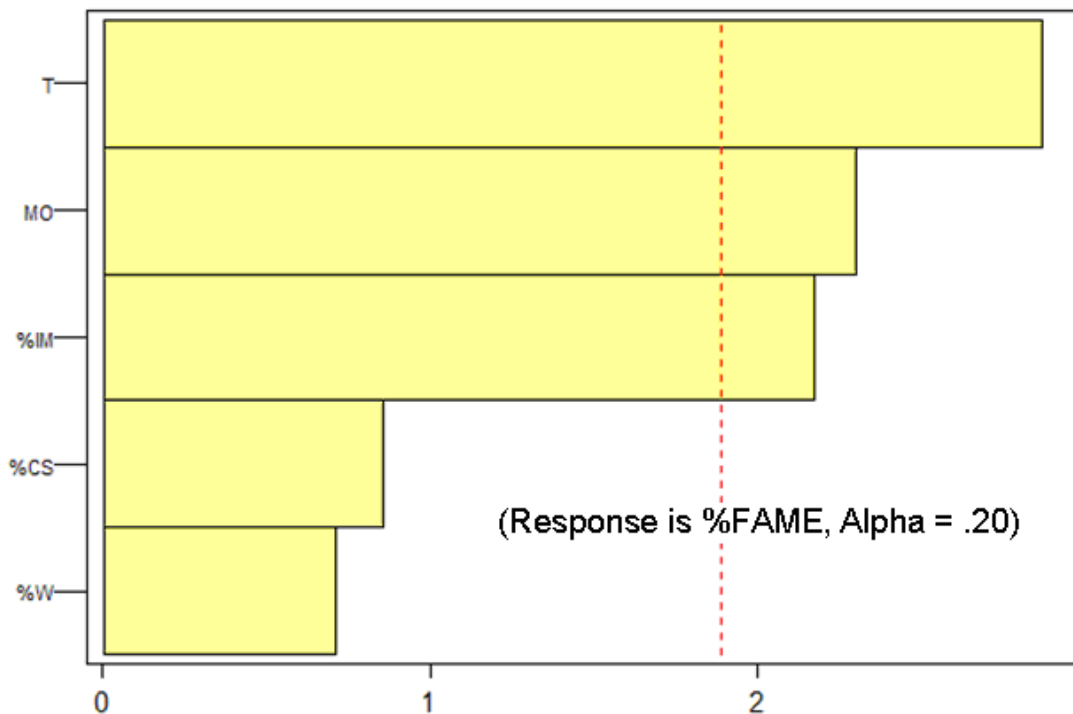
P = โอกาสที่น้อยที่สุดที่จะปฏิเสธสมมติฐานหลักได้ในการทดสอบ  
สมมติฐาน เมื่อสมมติฐานหลักนั้นถูกต้อง

จากตารางที่ 11 ซึ่งแสดงผลการวิเคราะห์ทางสถิติของการออกแบบการทดลอง พนว่าค่าสถิติ P ของการทดลองมีค่าเป็น 0.217 ซึ่งมีค่ามากกว่า 0.05 ซึ่งมีความหมายว่าโอกาสที่จะปฏิเสธสมมติฐานหลักเมื่อสมมติฐานหลักนั้นถูกต้องสูงถึง 0.217 ซึ่งแสดงว่าปัจจัยที่ใช้ศึกษาทั้ง 5 ปัจจัยไม่ทำให้ค่าเฉลี่ยของร้อยละ โดยน้ำหนักของเมทิลเอสเทอร์ในผลิตภัณฑ์แตกต่างกันที่ระดับความเชื่อมั่นร้อยละ 75 ( $P = 0.217 < 0.25$ ) นั่นคือปัจจัยทั้ง 5 ที่ทำการศึกษาอาจไม่มีอิทธิพลต่อปริมาณเมทิลเอสเทอร์ที่ผลิตได้แต่เมื่อพิจารณาจากผลทางสถิติที่แสดงในตารางที่ 12 ซึ่งแสดงให้เห็นว่าร้อยละของปริมาณเมทิลเอสเทอร์ที่ผลิตได้ขึ้นอยู่กับปัจจัยต่างๆ แต่จำนวนปัจจัยที่ศึกษาอาจมีจำนวนมากจนเกินไป และ แต่ละปัจจัยต่างมีอิทธิพลต่อผลการทดลองจึงทำให้เกิดอิทธิพลที่ทับซ้อนกันของปัจจัยต่างๆได้

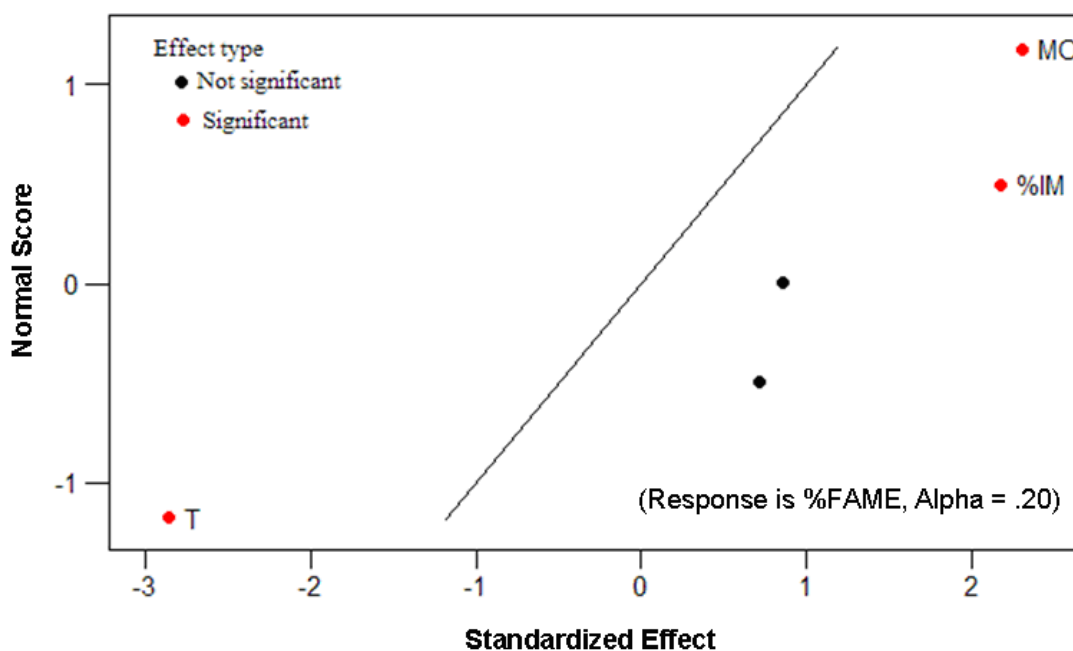
แต่อย่างไรก็ดี เมื่อพิจารณาตารางที่ 12 ร่วมกับกราฟของพาราโตในภาพที่ 17 และ กราฟการกระจายแบบปกติของปัจจัยต่างๆในภาพที่ 18 จะพบว่าในสมการ (21) ค่าคงที่ของสมการมีอิทธิพลสูงสุด ( $P = 0.033$ ) และปัจจัยอุณหภูมิของปฏิกิริยา อัตราส่วน โดยไม่ลงองเมทานอลต่อน้ำมันเมล็ดดอกทานตะวัน และ ร้อยละ โดยน้ำหนักของเอนไซม์ไลเปสที่ถูกตรึง เป็นปัจจัยที่มีอิทธิพลลำดับที่สองสาม และสี่ตามลำดับ โดยเป็นปัจจัยที่มีค่าสถิติ P เป็น 0.103 0.148 และ 0.162 ซึ่งแสดงให้เห็นว่า ปัจจัยที่สามให้โอกาสที่จะปฏิเสธสมมติฐานหลักเมื่อสมมติฐานหลักนั้นถูกต้องเป็น 0.2 ( $P < 0.2$ ) นั่นคือปัจจัยที่สามมีอิทธิพลต่อค่าร้อยละ โดยน้ำหนักของเมทิลเอสเทอร์ในผลิตภัณฑ์ที่ระดับนัยสำคัญร้อยละ 80

**ตารางที่ 12** ผลการวิเคราะห์ทางสถิติของปัจจัยหลัก และปัจจัยร่วมจากการเชิงเส้นที่ได้จากการ  
ออกแบบการทดลองแบบ Plankett-Burman

Term	Effect	Coefficient	SE	T	P
<b>coefficient</b>					
Constant		9.147	1.699	5.38	0.033
MeOH:Oil	7.811	3.905	1.699	2.30	0.148
Temperature	-9.727	-4.864	1.699	-2.86	0.103
%wt of water	2.396	1.198	1.699	0.71	0.554
%wt of co-solvent	2.900	1.450	1.699	0.85	0.483
%wt of immobilized enzyme	7.366	3.683	1.699	2.17	0.162



ภาพที่ 17 กราฟของพารามิเตอร์ของการออกแบบการทดลองแบบ Plackett-Burman



ภาพที่ 18 การกระจายแบบปกติของอิทธิพลปัจจัยต่างๆ ในการออกแบบการทดลองแบบ Plackett Burman

ในขณะที่ปัจจัยอีกสองปัจจัยอันได้แก่ ร้อยละ โดยน้ำหนักของตัวทำลายร่วม และร้อยละ โดยน้ำหนักของน้ำ พบว่ามีอิทธิพลต่อร้อยละของเมทิลเอสเทอร์ที่ได้น้อยมาก ซึ่งแสดงให้เห็นว่าปัจจัยของ การผลิตเมทิลเอสเทอร์ได้ร้อยละ โดยน้ำหนักที่น้อยนั้นอาจไม่เกิดมาจากการไม่ผสมกันระหว่างเมทานอลกับน้ำมันเมล็ดดอกทานตะวัน แต่อาจเกิดจากการแพร่เข้าไปในแคบชูลของเม็ดไก่โตชานมากกว่า

ด้วยเหตุดังกล่าวในการทดลองขั้นถัดไปจึงพิจารณาการหาสภาวะที่เหมาะสมในการผลิตเมทิลเอสเทอร์เฉพาะปัจจัยที่มีความสำคัญจำนวน 3 ปัจจัยคือ อุณหภูมิของปฏิกิริยา อัตราส่วนโดยโมลของ เมทานอลต่อน้ำมันเมล็ดดอกทานตะวัน และร้อยละ โดยน้ำหนักของตัวทำลายร่วมในการออกแบบ การทดลองแบบ Box-Behnken

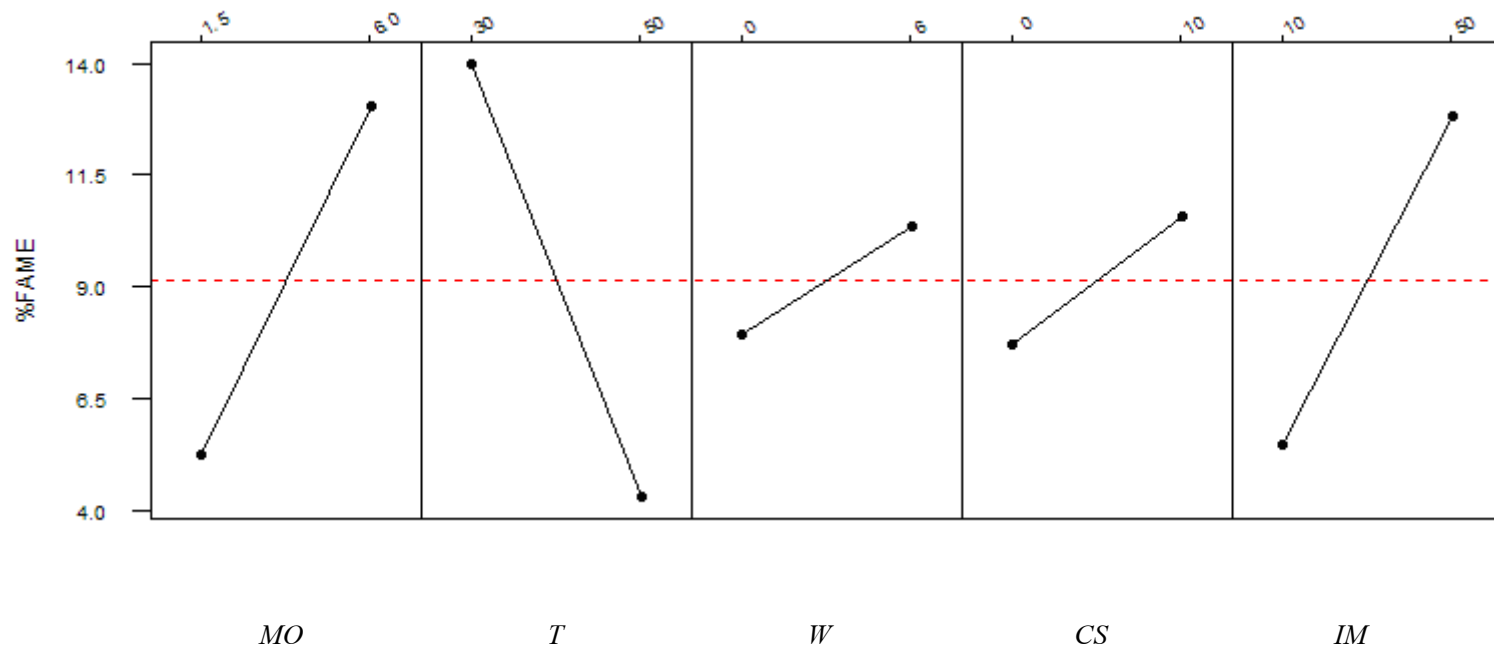
## 2.2 อิทธิพลของปัจจัยจากการออกแบบการทดลองแบบ Plackett-Burman

กราฟอิทธิพลของปัจจัยหลักในภาพที่ 19 แสดงอิทธิพลของปัจจัยต่างๆต่อการ ผลิตเมทิลเอสเทอร์จากเมธิลเอสเทอร์ ไซม์ไอลีสท์ ถูกต้อง โปรแกรมทางสถิติมินแทบ รุ่นที่ 13 ถูกใช้ในการศึกษา ปัจจัยหลักกับค่าร้อยละ โดยน้ำหนักของเมทิลเอสเทอร์ โดยเส้นประในภาพที่ 19 แสดงค่าเฉลี่ยของ ร้อยละ โดยน้ำหนักของเมทิลเอสเทอร์ที่สภาวะกึ่งกลางของการทดลอง โดยที่สภาวะดังกล่าวจะให้ ปริมาณเมทิลเอสเทอร์ที่ร้อยละ 9 ทั้งนี้เมื่อพิจารณากราฟอิทธิพลของปัจจัยหลักในภาพที่ 19 ความชัน ของกราฟจะแสดงถึงอิทธิพลของปัจจัย โดยปัจจัยที่มีอิทธิพลมากจะให้ค่าความชันในกราฟมากตามไป ด้วย นอกจากนี้ค่าที่เป็นบวกหรือลบของความชันยังสามารถแสดงให้เห็นถึงสภาวะที่ให้ผลได้ที่ เหมาะสมอีกด้วย ซึ่งจากภาพที่ 19 อุณหภูมิของปฏิกิริยาเป็นปัจจัยที่มีอิทธิพลสูงสุดเนื่องจากเป็นกราฟ ที่มีความชันมากที่สุด และด้วยเหตุที่ความชันของปัจจัยอุณหภูมิของปฏิกิริยาไม่ค่าเป็นลบแสดงให้เห็น ว่าที่อุณหภูมิในการทดลองในระดับต่ำ ( $30^{\circ}\text{C}$ ) จะให้ค่าร้อยละ โดยน้ำหนักของเมทิลเอสเทอร์สูงสุด ในขณะที่ค่าร้อยละ โดยโมลของเมทานอลต่อน้ำมันเมล็ดดอกทานตะวันเป็นปัจจัยที่มีอิทธิพลรองลงมา โดยที่ระดับสูงคืออัตราส่วน โดยโมลเป็น 6:1 จะให้ร้อยละ โดยน้ำหนักของเมทิลเอสเทอร์สูงสุด และ ปัจจัยที่มีอิทธิพลในลำดับสุดท้ายคือปริมาณของเอนไซม์ไอลีสท์ ถูกต้อง โดยพบว่าปริมาณเอนไซม์ไอลีสท์ ถูกต้องที่ 50% จะให้ค่าร้อยละ โดยน้ำหนักของเมทิลเอสเทอร์สูงสุด ในขณะที่ปัจจัยของปริมาณ น้ำ และตัวทำลายร่วมถ้ามีในปฏิกิริยาจะทำให้ได้ปริมาณเมทิลเอสเทอร์สูงขึ้นแต่ก็จะเพิ่มขึ้นใน ระดับที่ไม่มากนักและอาจต้องใช้ต้นทุนที่สูงขึ้นในการใช้ตัวทำลายน้ำ หรือต้นทุนในการกำจัดสาร ดังกล่าวจากการผลิตภัณฑ์

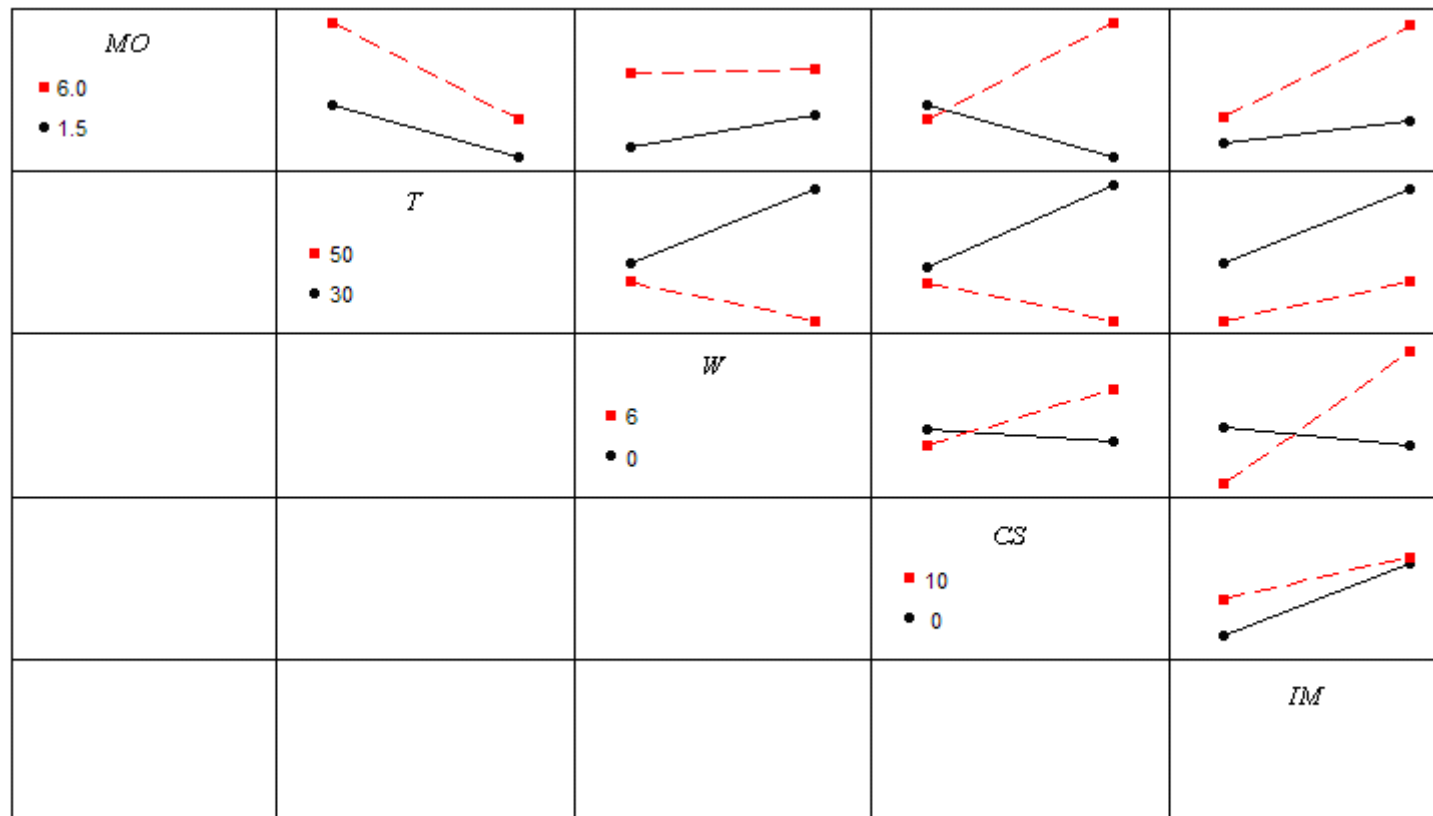
ทั้งนี้นอกจากจะพิจารณาอิทธิพลจากความชันของกราฟอิทธิพลหลักอีกประการหนึ่งที่สามารถพิจารณาควบคู่กันไปได้ จะได้แก่ค่าสถิติ T ในตารางที่ 14 ซึ่งค่าสถิติ T ของปัจจัยอุณหภูมิ อัตราส่วนโดยไม่ลงมาบนผลต่อหน้ามันเมล็ดคอกท่านตะวัน และร้อยละ โดยน้ำหนักของเอนไซม์ไลเปสที่ถูกตรึงเป็น -2.86 2.30 และ 2.17 ตามลำดับ ซึ่งค่าสถิติ T ใช้ระบุค่าอิทธิพลของแต่ละปัจจัย โดยอุณหภูมิเป็นปัจจัยที่มีอิทธิพลสูงสุดและมีค่าสถิติ T เป็นค่าลบแสดงให้เห็นว่าที่สภาวะระดับต่ำของอุณหภูมิให้ค่าร้อยละ โดยน้ำหนักของเมทิลเอสเทอโรสูงสุด ในขณะที่อัตราส่วนโดยไมลงมาบนผลต่อหน้ามันเมล็ดคอกท่านตะวัน และร้อยละ โดยน้ำหนักของเอนไซม์ไลเปสที่ถูกตรึงเป็นปัจจัยที่มีอิทธิพลรองลงมาโดยให้ค่าร้อยละ โดยน้ำหนักของเมทิลเอสเทอโรสูงสุดที่ระดับสูงในปัจจัยดังกล่าว (ประไพรี และ พงศ์ชนัน, 2551)

ในขณะที่กราฟอิทธิพลของปัจจัยร่วมในภาพที่ 20 ซึ่งแสดงอิทธิพลร่วมระหว่างปัจจัยต่างๆ ทั้งนี้เด่นกราฟของแต่ละปัจจัยที่ตัดกันแสดงให้เห็นถึงการมีอิทธิพลร่วมกันของปัจจัยทั้งสอง กล่าวคือ การเปลี่ยนแปลงระดับของปัจจัยที่ 1 ขึ้นอยู่กับระดับของปัจจัยที่ 2 ในขณะที่เด่นกราฟของปัจจัยที่ 2 ขานกันแสดงให้เห็นถึงการไม่มีอิทธิพลร่วมกันของปัจจัยทั้งสอง กล่าวคือการเปลี่ยนแปลงระดับของปัจจัยที่ 1 ไม่ขึ้นอยู่กับระดับของปัจจัยที่ 2

จากการทดลองซึ่งให้เห็นว่าค่าร่วงปัจจัยอัตราส่วนโดยไมลงมาบนผลต่อหน้ามันเมล็ดคอกท่านตะวันและร้อยละ โดยน้ำหนักของตัวทำละลายร่วม ค่าร่วงปัจจัยร้อยละน้ำหนักของน้ำและร้อยละ โดยน้ำหนักของตัวทำละลายร่วม และค่าร่วงปัจจัยร้อยละ โดยน้ำหนักของน้ำและร้อยละ โดยน้ำหนักของเอนไซม์ไลเปสที่ถูกตรึงมีอิทธิพลร่วมต่อกันเนื่องจากกราฟที่ได้มีลักษณะตัดกัน ซึ่งแสดงให้เห็นว่าการเปลี่ยนแปลงระดับของปัจจัยหนึ่งขึ้นอยู่กับระดับของอีกปัจจัยหนึ่ง



ภาพที่ 19 อิทธิพลหลักของแต่ละปัจจัยในการออกแบบการทดลองแบบ Plackett-Burman



ภาพที่ 20 อิทธิพลร่วมของปัจจัยในการออกแบบการทดลองแบบ Plackett-Burman

### 3. การศึกษาสภาวะที่เหมาะสมในการผลิตไบโอดีเซลจากน้ำมันเมล็ดดอกทานตะวัน และ เมทานอลโดยใช้อ่อนไชม์ไลเปสที่ถูกต้องบนเม็ดไกโตชา

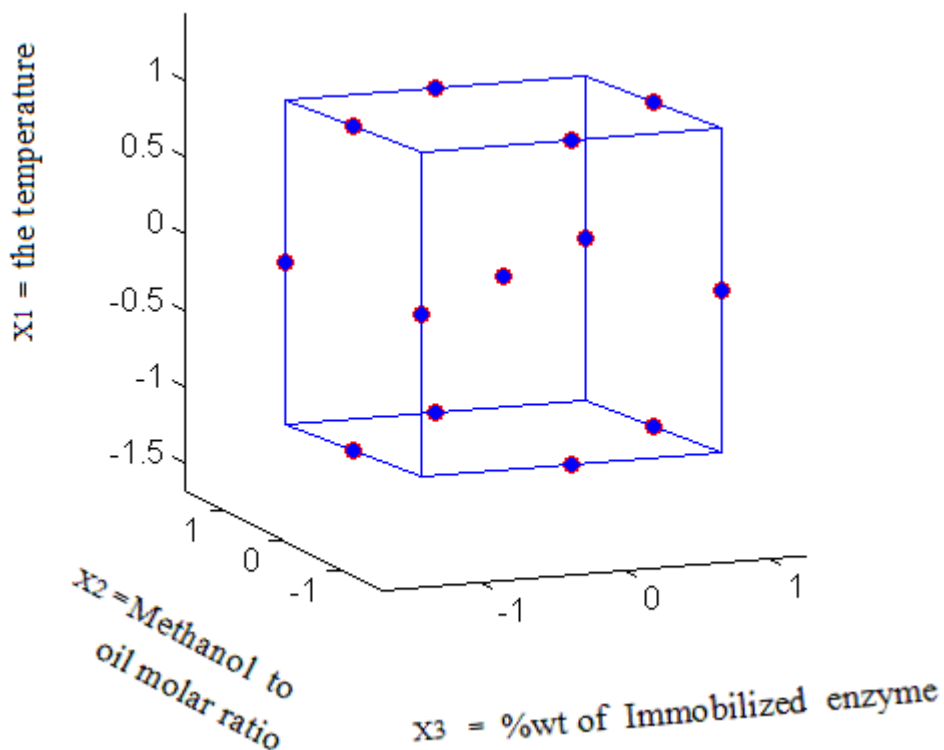
การออกแบบการทดลองแบบพื้นผิวนอกบ้านของ Box-Behnken ถูกใช้ในการศึกษาหา สภาวะที่เหมาะสมในการผลิตไบโอดีเซลจากน้ำมันเมล็ดดอกทานตะวันและเมทานอลด้วยอ่อนไชม์ ไลเปสที่ถูกต้อง ทั้งนี้ปัจจัยที่ถูกพิจารณาว่ามีผลต่อร้อยละ โดยน้ำหนักของเมทิโลเอสเทอโร่ในผลิตภัณฑ์ ก cioè อุณหภูมิของปฏิกิริยา ( $30-50^{\circ}\text{ C}$ ) อัตราส่วนโดยไมลของเมทานอลต่อน้ำมันเมล็ดดอกทานตะวัน ( $1.5:1 - 6:1$ ) และร้อยละ โดยน้ำหนักของอ่อนไชม์ไลเปส ( $10-50$ ) ทั้งนี้การออกแบบและวิเคราะห์ผล ทางสถิติจะใช้โปรแกรมสถิติมินิแท็บ รุ่นที่ 13 การออกแบบการทดลองแบบ Box-Behnken สำหรับ 3 ปัจจัย อาศัยการทำการทดลองทั้งสิ้นจำนวน 15 การทดลอง โดยเป็นการทดลองที่ตัวแหน่งกึ่งกลางต้อง ทำซ้ำจำนวน 3 การทดลอง โดยผลการทดลองที่ตัวแหน่งกึ่งกลางจะถูกนำไปวิเคราะห์ทางสถิติเพื่อหา ความสมรูปของแบบจำลองทางคณิตศาสตร์กับผลการทดลอง โดยแบบจำลองทางคณิตศาสตร์ที่ได้ สามารถแสดงได้ดังสมการ (Montgomery, 1997)

$$Y = \beta_0 + \sum \beta_i x_i + \sum \beta_{ii} x_i^2 + \sum \beta_{ij} x_i x_j + \varepsilon \quad (16)$$

เนื่องด้วยแบบจำลองทางคณิตศาสตร์ที่ได้อธิบายในรูปของสมการกำลังสอง ซึ่งสามารถแสดง พื้นผิวได้ในรูปแบบโค้งซึ่งจะทำให้ได้สภาวะที่เหมาะสมเกิดขึ้น ทั้งนี้สภาวะที่เหมาะสมสามารถหาได้ จากวิธีการทางคณิตศาสตร์

#### 3.1 การออกแบบการทดลองด้วยวิธีการออกแบบการทดลองแบบ Box-Behnken

จากผลการทดลองในการหาปัจจัยที่มีอิทธิพลต่อการผลิตไบโอดีเซลจากน้ำมัน เมล็ดดอกทานตะวันและเมทานอลด้วยอ่อนไชม์ไลเปสที่ถูกต้องซึ่งได้แก่ อุณหภูมิ ( $30-50^{\circ}\text{ C}$ ) อัตราส่วน โดยไมลของเมทานอลต่อน้ำมันเมล็ดดอกทานตะวัน ( $1.5:1-6:1$ ) และร้อยละของอ่อนไชม์ไลเปสที่ถูก ต้อง ( $10-50$ ) ในขั้นตอนนี้จึงทำการทดลองเพื่อศึกษาหาสภาวะที่เหมาะสมที่สุดของปัจจัยต่างๆ ดังกล่าว โดยการออกแบบการทดลองแบบ Box-Behnken สำหรับสามปัจจัยแสดงได้ในภาพที่ 21 โดย จุดที่ปรากฏในรูปแสดงถึงตำแหน่งของการทดลองซึ่งถูกกำหนดโดยรหัสซึ่งกำหนดที่สภาวะต่างๆ กลาง และสูงของปัจจัยเป็น  $-1$  และ  $+1$  ตามลำดับ



ภาพที่ 21 ตำแหน่งของการทดลองแบบ Box-Behnken สำหรับ 3 ปัจจัยได้แก่ อุณหภูมิ อัตราส่วนโดยโมลของเมทานอลต่อน้ำมันเมล็ดคอกท่านตะวัน และร้อยละ โดยน้ำหนักของเอนไซม์ไอลเปสที่ถูกตรึง

ตารางที่ 13 แสดงผลการทดลองตามวิธีการออกแบบการทดลองแบบ Box-Behnken ซึ่งให้ผลได้คือค่าร้อยละ โดยน้ำหนักของเมทิลเอสเตอเร็อกรด ไขมัน (FAME) โดยปริมาณของน้ำมันเมล็ดคอกท่านตะวันคือ 5 มิลลิโลล และแปรค่าปริมาณของเมทานอลและเอนไซม์ไอลเปสที่ถูกตรึง

ตารางที่ 13 สภาวะในการทดลองตามการออกแบบการทดลองแบบ Box-Behnken

No.	$\xi_1$	$\xi_2$	$\xi_3$	y
1	30	6.0 : 1	30	27.07
2	30	1.5 : 1	30	13.74
3	50	1.5 : 1	30	6.22
4	40	1.5 : 1	10	6.89
5	40	6.0 : 1	50	19.86
6	50	3.75 : 1	10	3.75
7	50	3.75 : 1	50	8.83
8	50	6.0 : 1	30	10.70
9	40	3.75 : 1	30	9.74
10	30	3.75 : 1	50	20.89
11	30	3.75 : 1	10	17.18
12	40	3.75 : 1	30	10.80
13	40	1.5 : 1	50	11.72
14	40	3.75 : 1	30	10.44
15	40	6.0 : 1	10	6.44

เมื่อ  $\xi_1$  = อุณหภูมิของปฏิกิริยา ( ° ซ )  
 $\xi_2$  = อัตราส่วนโดยไมลของเมทานอลต่อน้ำมันเมล็ดดอกทานตะวัน  
 $\xi_3$  = ร้อยละโดยน้ำหนักของเอนไซม์ไอลเปสที่ถูกต้อง  
y = ร้อยละโดยน้ำหนักของเมทิลเอสเทอร์ในผลิตภัณฑ์ที่ได้ (FAME)

ตารางที่ 14 แสดงผลสถิติที่ได้จากการออกแบบการทดลองแบบ Box-Behnken ซึ่งได้จากโปรแกรมสถิติมินิแท็บ รุ่นที่ 13 โดยตารางที่ 14 ประกอบด้วยตัวแปรต่างๆทางสถิติซึ่งประกอบด้วยค่าพิเศษมาตราฐานของตัวแปร ค่าสถิติ T และค่าสถิติ P ซึ่งค่าต่างๆดังกล่าวถูกนำมาใช้ในการพิจารณาความเหมาะสมของแบบจำลองทางคณิตศาสตร์ที่ใช้อธิบายค่าร้อยละโดยน้ำหนักของเมทิลเอสเทอร์ในผลิตภัณฑ์กับปัจจัยต่างๆ นอกจากนี้ยังประกอบด้วยตัวแปรทางสถิติที่ใช้อธิบายความเหมาะสมของแบบจำลองทางคณิตศาสตร์กับข้อมูลที่ได้จากการทดลองอันได้แก่ค่าพิเศษมาตราฐานของแบบจำลอง ค่าสหสัมพันธ์ และค่าสหสัมพันธ์ที่มีการปรับแก้

ตารางที่ 14 ค่าทางสถิติที่ได้จากการออกแบบทดลองแบบ Box-Behnken

Term	Symbol	Coefficient	SE	T	P
coefficient					
Constant		64.5719	21.6516	2.982	0.031
Temperature	$T$	-2.5342	0.9659	-2.624	0.047
Methanol to oil molar ratio	$MO$	1.9933	2.7531	0.724	0.502
%wt of immobilized enzyme	$IM$	-1.0073	0.3007	-0.024	0.982
Temperature*Temperature	$T^2$	0.0279	0.0116	2.404	0.061
Methanol to oil *Methanol to oil	$MO^2$	0.2593	0.2295	1.130	0.310
%wt of immobilized enzyme * %wt of immobilized enzyme	$IM^2$	-0.0011	0.0029	-0.393	0.710
Temperature* Methanol to oil molar ratio	$T*MO$	-0.0983	0.0496	-1.982	0.104
Temperature * %wt of immobilized enzyme	$T*IM$	0.0017	0.0056	0.307	0.771
Methanol to oil * %wt of immobilized enzyme	$MO*IM$	0.0467	0.0248	1.883	0.118

$$S = 2.233 \quad R^2 = 95.7\% \quad R^2(\text{adjusted}) = 87.8\%$$

- เมื่อ      SE coefficient = ค่าผิดพลาดมาตรฐานของแต่ละตัวแปร
- T = ค่าสถิติ T
- P = ค่าสถิติ P
- S = ค่าผิดพลาดมาตรฐานของแบบจำลอง
- $R^2$  = ค่าสหสัมพันธ์ของแบบจำลอง
- $R^2(\text{adjusted})$  = ค่าสหสัมพันธ์ที่มีการปรับแก้ของแบบจำลอง

ทั้งนี้จะได้สมการแบบจำลองทางคณิตศาสตร์ระหว่างร้อยละโดยโนลของเมทิลเอสเทอร์ในผลิตภัณฑ์กับปัจจัยต่างๆตามสมการกำลังสองเป็นดังสมการ

$$\begin{aligned}
 FAME &= 64.5719 + 1.9933 MO - 2.5342 T \\
 &\quad - 0.0073 IM + 0.2593 MO^2 + 0.0279 T^2 \\
 &\quad - 0.0011 IM^2 - 0.0983 T \times MO \\
 &\quad + 0.0017 T \times IM + 0.0467 MO \times IM
 \end{aligned} \tag{17}$$

ค่าสัมประสิทธิ์ของแบบจำลองหาได้จากวิธีผลต่างกำลังสองน้อยที่สุด โดยค่าทางสถิติของแต่ละปัจจัยได้แก่ ค่าผิดพลาดมาตรฐานและค่าสถิติ P ดังแสดงในตารางที่ 14 ทั้งนี้ค่าผิดพลาดมาตรฐานแสดงให้เห็นถึงความเบี่ยงเบนไปจากข้อมูลจากการทดลองกับผลที่ได้จากแบบจำลองทางคณิตศาสตร์ ในขณะที่ค่าสถิติ P เป็นค่าที่ใช้พิจารณาอิทธิพลของแต่ละปัจจัยในแบบจำลองทางคณิตศาสตร์ โดยที่ค่าสถิติ P ของค่าคงที่และอุณหภูมิมีค่าเชื่อมั่นที่ระดับนัยสำคัญ 95% ( $P<0.05$ ) ด้วยเหตุนี้ปัจจัยดังกล่าวจึงไม่สามารถกำจัดออกจากแบบจำลองได้

สำหรับค่าสหสัมพันธ์ของแบบจำลอง ( $R^2$ ) และค่าสหสัมพันธ์ที่มีการปรับแก้ ( $R^2\text{-adj}$ ) เป็นค่าที่แสดงอัตราส่วนระหว่างค่าตอบสนองที่สามารถอธิบายได้โดยแบบจำลองทางคณิตศาสตร์ ซึ่งจากการทดลองนี้จะได้ค่าสหสัมพันธ์ ( $R^2$ ) เป็น 95.7% ซึ่งแสดงให้เห็นว่าแบบจำลองสามารถอธิบายค่าตอบสนอง คือร้อยละโดยโนลของเมทิลเอสเทอร์ (FAME) เป็น 95.7% ของผลการทดลองทั้งหมด ในขณะที่ค่าสหสัมพันธ์ที่มีการปรับแก้ ( $R^2\text{-adj}$ ) จะมีค่าเป็น 87.8% ซึ่งค่าดังกล่าวเป็นค่าที่ใช้เปรียบเทียบกับค่าสหสัมพันธ์ที่มีการปรับแก้จากแบบจำลองทางคณิตศาสตร์รูปแบบอื่นๆเนื่องจากค่าสหสัมพันธ์มีความไวต่อการเปลี่ยนแปลงเมื่อเพิ่มจำนวนตัวแปรหรือเพิ่มจำนวนเทอมของแบบจำลองทางคณิตศาสตร์ (ประไพศรี และ พงศ์ชานน, 2551) ด้วยเหตุนี้จึงต้องพิจารณาค่าสหสัมพันธ์ที่มีการปรับแก้ซึ่งจะพิจารณาค่าองค์ความเป็นอิสระที่เขียนกับจำนวนการทดลองและจำนวนเทอมที่พิจารณา ด้วย ซึ่งจะทำให้ลดความผิดพลาดที่เกิดจากจำนวนเทอมในแบบจำลองทางคณิตศาสตร์ที่ไม่เท่ากันได้

ตารางที่ 15 คือตารางสำหรับวิเคราะห์ความแปรปรวนของแบบจำลองทางคณิตศาสตร์ที่ได้จากการทดลองแบบ Box-Behnken จากการทดลองแสดงให้เห็นว่าแบบจำลองสามารถเชื่อได้ที่ระดับนัยสำคัญ 99% ( $P < 0.01$ ) แสดงให้เห็นว่าจะมีอย่างน้อย 1 ปัจจัยในแบบจำลองที่มีความสำคัญต่อร้อยละโดยน้ำหนักของเมทิลเอสเทอร์ในผลิตภัณฑ์ เมื่อแบบจำลองถูกแบ่งพิจารณาในแต่ละเทอมทั้งแบบเชิงเส้น (Linear term) แบบกำลังสอง (Square term) และแบบอิทธิพลร่วมกัน (Interaction term) จะพบว่าค่าสถิติ P ของแต่ละเทอมมีค่ามากกว่า 0.1 โดยเทอมแบบเชิงเส้นมีค่าสถิติ P เป็น 0.145 ซึ่งมีค่า

น้อยที่สุดแสดงให้เห็นว่าเป็นเทอมที่มีความสำคัญที่สุดที่มีผลต่อการตอบสนองของร้อยละ โดยน้ำหนักของเมทิลเอสเทอร์ในสารผลิตภัณฑ์ที่ระดับความเชื่อมั่น 85% ( $P < 0.15$ ) ในขณะที่เทอมที่มีความสำคัญรองลงมาได้แก่เทอมอิทธิพลร่วมกัน และ เทอมกำลังสอง ซึ่งจะให้ค่าสถิติ  $P$  เป็น 0.172 และ 0.187 ตามลำดับ โดยมีผลต่อการตอบสนองของร้อยละ โดยน้ำหนักของเมทิลเอสเทอร์ในสารผลิตภัณฑ์ที่ระดับความเชื่อมั่น 80% ( $P < 0.2$ ) และแสดงให้เห็นว่ามีแนวโน้มที่สามารถลดทึ่งเทอมกำลังสอง และเทอมอิทธิพลร่วมกันของแต่ละปัจจัยได้ที่ระดับนัยสำคัญ 80% แต่อย่างไรก็ดีเนื่องจากระดับนัยสำคัญที่ได้มีค่าต่ำกว่า 95% ทำให้มีโอกาสที่จะเกิดความผิดพลาดโดยการปฏิเสธเทอมที่มีอิทธิพลได้ ทั้งนี้ต้องพิจารณาร่วมกับค่าสหสัมพันธ์ และค่าสหสัมพันธ์ที่มีการปรับแก้ด้วยอีกประการหนึ่ง

**ตารางที่ 15** ผลการวิเคราะห์ความแปรปรวนของแบบจำลองทางคณิตศาสตร์ของการออกแบบ  
การทดลองแบบ Box-Behnken

Source	DF	Seq SS	Adj SS	Adj MS	F	P
<b>Regression</b>	9	548.232	548.232	60.9147	12.22	0.007
Linear	3	475.118	42.4211	14.1404	2.84	0.145
Square	3	35.382	35.3820	11.7940	2.37	0.187
Interaction	3	37.732	37.7319	12.5773	2.52	0.172
<b>Residual Error</b>	5	24.927	24.9271	4.9854		
Lack-of-Fit	3	24.346	24.3460	8.1153	27.93	0.035
Pure Error	2	0.581	0.5811	0.2905		
<b>Total</b>	14	573.159				

ตัวแปรทางสถิติที่สำคัญอีกประการหนึ่งในการทดสอบทางสถิติของการทดลองแบบ Box-Behnken คือการทดสอบความผิดพลาด (Residual Error) ซึ่งค่าดังกล่าวใช้อธิบายปรากฏการณ์ความผิดพลาดที่ไม่สามารถอธิบายได้จากแบบจำลองทางคณิตศาสตร์ ทั้งนี้ความผิดพลาดสามารถแบ่งได้เป็น

2 ส่วนคือ ความผิดพลาดจากความไม่สมรูปของแบบจำลอง (Lack of fit) และความผิดพลาดจากการทดลอง (Pure Error) (Cochran and Cox, 1997)

สำหรับการทดสอบความผิดพลาดของความไม่สมรูปของสมการ วิเคราะห์ได้จากการทำการทดลองซ้ำจำนวนอย่างน้อย 3 ครั้งที่จุดกึ่งกลางของการทดลองซึ่งเป็นสภาวะที่อุณหภูมิ  $40^{\circ}\text{C}$  ร้อยละ โดยโน้มของเมทานอลต่อน้ำมันเมล็ดดอกทานตะวันเป็น 3.75:1 และร้อยละ โดยน้ำหนักของเอนไซม์ ไลเพสที่ถูกต้องเป็นร้อยละ 30 ซึ่งค่าสถิติ P ของการทดสอบความไม่สมรูปของแบบจำลองมีค่าเป็น 0.035 ซึ่งค่าดังกล่าวมีค่ามากกว่า 0.01 ( $P > 0.01$ ) ซึ่งแสดงให้เห็นว่าไม่สามารถปฏิเสธสมมติฐานหลัก ที่ว่าไม่มีความไม่สมรูปเกิดขึ้นระหว่างแบบจำลองที่ได้กับผลการทดลองที่ระดับความเชื่อมั่น 99% ซึ่ง แสดงให้เห็นว่าโอกาสที่จะเกิดความผิดพลาดของความไม่สมรูประหว่างแบบจำลองกับผลการทดลองมี ค่าไม่เกิน 1% ดังนั้นจึงสามารถสรุปได้ว่าแบบจำลองมีความสมรูปต่อผลการทดลอง

### 3.2 การเปรียบเทียบแบบจำลองทางคณิตศาสตร์แบบเดิมรูปกับแบบอื่นๆ

โปรแกรมสติติมินแท็บ รุ่นที่ 13 ถูกใช้ในการพิจารณาแบบจำลองทางคณิตศาสตร์ที่มีการตัดเทอมที่มีค่าสถิติ P มากกว่า 0.15 ซึ่งสามารถตัดเทอมดังกล่าวออกจากแบบจำลอง ได้ เมื่อทำการเปรียบเทียบระหว่างแบบจำลองที่ไม่มีการตัดเทอม และมีการตัดเทอมต่างๆ โดยพิจารณา ร่วมกับค่าสหสัมพันธ์ ( $R^2$ ) และค่าสหสัมพันธ์ที่มีการปรับแก้ ( $R^2\text{-adj}$ ) และค่าสถิติของการทดสอบ ความไม่สมรูประหว่างแบบจำลองกับข้อมูลของแต่ละแบบจำลองดังผลในตารางที่ 16

ตารางที่ 16 การเปรียบเทียบแบบจำลองทางคณิตศาสตร์แบบต่างๆ

แบบจำลองทางคณิตศาสตร์	$R^2$	$R^2\text{-adj}$	P of lack of fit
Full term quadratic Box-Behnken equation $\begin{aligned} FAME &= 64.5719 + 1.9933 MO - 2.5342 T \\ &\quad - 0.0073 IM + 0.2593 MO^2 + 0.0279 T^2 \\ &\quad - 0.0011 IM^2 - 0.0983 T \times MO \\ &\quad + 0.0017 T \times IM + 0.0467 MO \times IM \end{aligned}$	95.7%	87.8%	0.035
Linear Box-Behnken equation $\begin{aligned} FAME &= 26.6514 + 1.4067 MO - 0.6173 T \\ &\quad + 0.1679 IM \end{aligned}$	82.9%	78.2%	0.026
Linear and $T^2$ Box-Behnken equation $\begin{aligned} FAME &= 68.9030 + 1.4067 MO - 2.8027 T \\ &\quad - 0.1697 IM + 0.0273 T^2 \end{aligned}$	87.8%	82.9%	0.033

เมื่อพิจารณาเปรียบเทียบแบบจำลองทางคณิตศาสตร์แบบต่างๆพบว่าแบบจำลองทางคณิตศาสตร์ที่ให้ค่าสหสัมพันธ์ ( $R^2$ ) ค่าสหสัมพันธ์ปรับแก้ ( $R^2\text{-adj}$ ) และค่าสถิติ P ของการทดสอบความไม่สมรูปของแบบจำลองกับข้อมูล (P of lack of fit) ซึ่งจากตารางที่ 16 แสดงให้เห็นว่าแบบจำลองแบบเดิมรูปให้ค่าดังกล่าวสูงสุดเมื่อเปรียบเทียบกับแบบจำลองแบบอื่นๆ ดังนั้นจึงไม่สามารถตัดเทอมต่างๆในแบบจำลองได้ จะได้สมการแบบจำลองทางคณิตศาสตร์ระหว่างรือขลละเอียดของเมทิลเอสเทอร์ในผลิตภัณฑ์กับปัจจัยต่างๆตามสมการกำลังสองเป็นดังสมการที่ 17

### 3.3 การเปรียบเทียบแบบจำลองทางคณิตศาสตร์แบบเต็มรูปกับแบบอื่นๆ

กราฟพื้นผิว (Surface plot) และกราฟคอนทัวร์ (Contour plot) ถูกใช้ในการอธิบายอิทธิพลของปัจจัยต่างๆต่อร้อยละโดยน้ำหนักของเมทิลเอสเทอร์ในสารผลิตภัณฑ์ โดยกราฟพื้นผิวเป็นการแสดงข้อมูลในรูปแบบสามมิติ ในขณะที่กราฟคอนทัวร์เป็นการแสดงข้อมูลในรูปแบบสองมิติซึ่งเชื่อมข้อมูลที่มีค่าเท่ากันให้อยู่ในพื้นที่เดียวกัน ทั้งนี้ภาพที่ 22-30 แสดงกราฟพื้นผิวและกราฟคอนทัวร์ที่ได้ระหว่างร้อยละโดยน้ำหนักของเมทิลเอสเทอร์ในสารผลิตภัณฑ์กับปัจจัยต่างๆอันได้แก่ อุณหภูมิ ( $30-50^{\circ}\text{C}$ ) อัตราส่วนโดยไมลของเมทานอลต่อน้ำมันเมล็ดดอกทานตะวัน ( $1.5:1 - 6:1$ ) และร้อยละโดยน้ำหนักของเอนไซม์ไอลเปสที่ถูกต้อง ( $10-50$ ) โดยอาศัยแบบจำลองเต็มรูปตามสมการที่

17

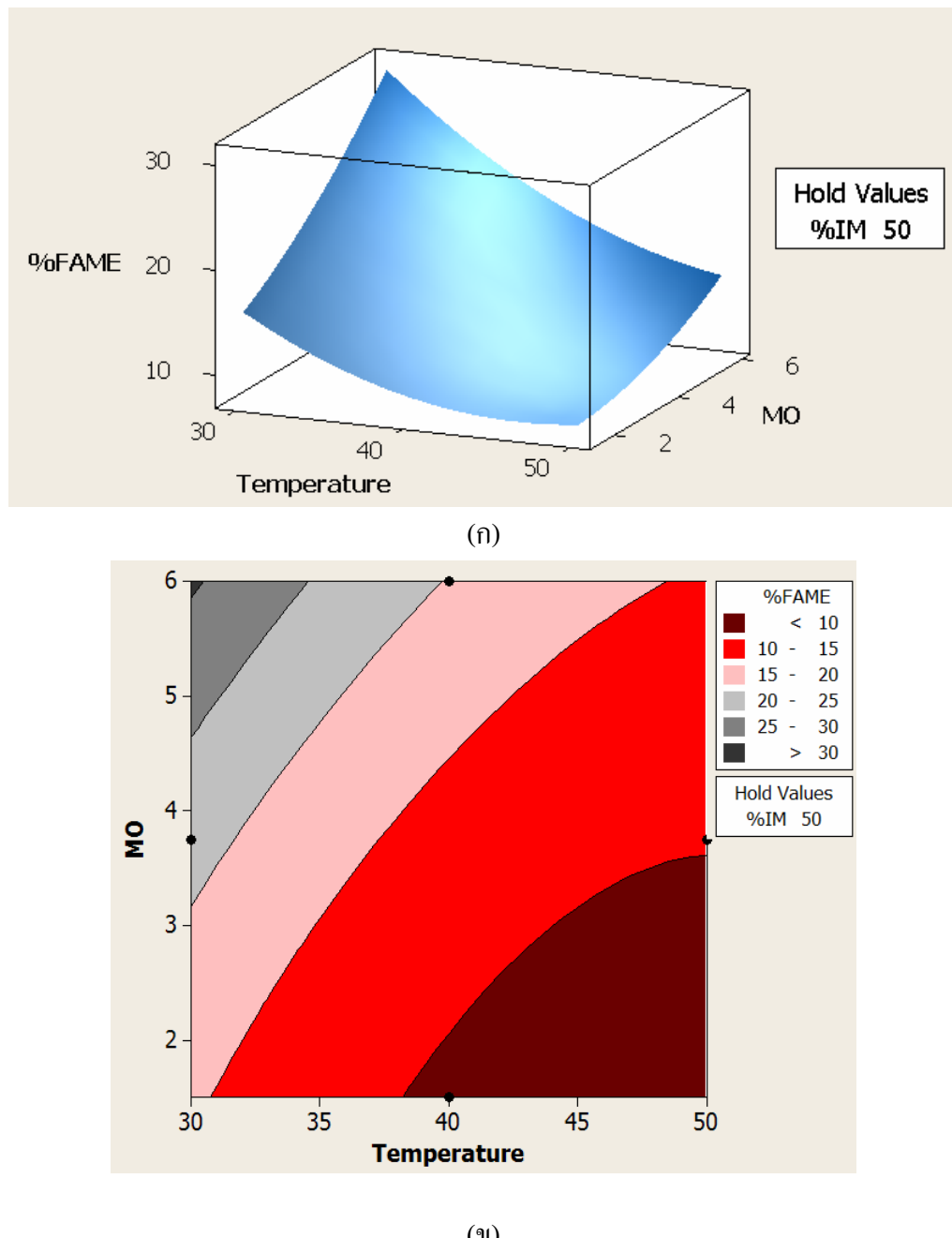
#### 3.3.1 อิทธิพลของอุณหภูมิและอัตราส่วนโดยไมลของเมทานอลต่อน้ำมันเมล็ดดอกทานตะวันต่อร้อยละโดยน้ำหนักของเมทิลเอสเทอร์ในผลิตภัณฑ์

จากภาพที่ 22-24 แสดงกราฟพื้นผิวและกราฟคอนทัวร์ที่ได้จากความสัมพันธ์ระหว่างอุณหภูมิของปฏิกิริยาและอัตราส่วนโดยไมลของเมทานอลต่อน้ำมันเมล็ดดอกทานตะวันที่ร้อยละโดยน้ำหนักของเอนไซม์ไอลเปสที่ถูกต้องคงที่ โดยค่าร้อยละโดยน้ำหนักของเมทิลเอสเทอร์มีค่าสูงสุดที่อุณหภูมิต่ำคือ  $30^{\circ}\text{C}$  และที่อัตราส่วนโดยไมลของเมทานอลต่อน้ำมันเมล็ดดอกทานตะวันเป็น  $6:1$  และในขณะเดียวกันร้อยละโดยน้ำหนักของเมทิลเอสเทอร์ในสารผลิตภัณฑ์จะมีค่าลดลงเมื่ออุณหภูมิของปฏิกิริยาเพิ่มขึ้นจาก  $30^{\circ}\text{C}$  เป็น  $50^{\circ}\text{C}$  และอัตราส่วนโดยไมลของเมทานอลต่อน้ำมันเมล็ดดอกทานตะวันลดลงจาก  $6:1$  เป็น  $1.5:1$

จากการทดลองที่แสดงว่าสภาวะอุณหภูมิต่ำจะให้ปริมาณเมทิลเอสเทอร์สูงกว่าที่อุณหภูมิสูงซึ่งไม่สอดคล้องกับทฤษฎีที่เกี่ยวข้องกับปฏิกิริยาเคมีทั่วไปที่โดยปกติอุณหภูมิของปฏิกิริยาที่เพิ่มขึ้นจะทำให้ปฏิกิริยาเกิดได้เร็ว ทั้งนี้เมื่อเปรียบเทียบกับงานวิจัยอื่นๆดังแสดงในตารางที่ 17 ซึ่งพบว่ามีงานวิจัยอีกหลายงานวิจัยที่พบว่าอุณหภูมิที่เหมาะสมในการเร่งปฏิกิริยาของเอนไซม์ไอลเปสอยู่ระหว่าง  $30$  ถึง  $40^{\circ}\text{C}$  ซึ่งอาจเป็นไปได้ว่าเอนไซม์ไอลเปส คือโมเลกุลของโปรตีนชนิดหนึ่งซึ่งจะมีอุณหภูมิที่เหมาะสมในการทำปฏิกิริยาที่ค่าหนึ่งๆเท่านั้น โดยเฉพาะอย่างยิ่งเอนไซม์ไอลเปสที่ใช้เป็นเอนไซม์ที่ได้จากจุลินทรีย์ *Pseudomonas fluorescens* ซึ่งอาจเป็นไปได้ว่าสภาวะที่เหมาะสมต่อการเร่งปฏิกิริยาของเอนไซม์คือสภาวะที่เหมาะสมกับจุลินทรีย์คือที่ประมาณ  $30^{\circ}\text{C}$  นั่นเอง

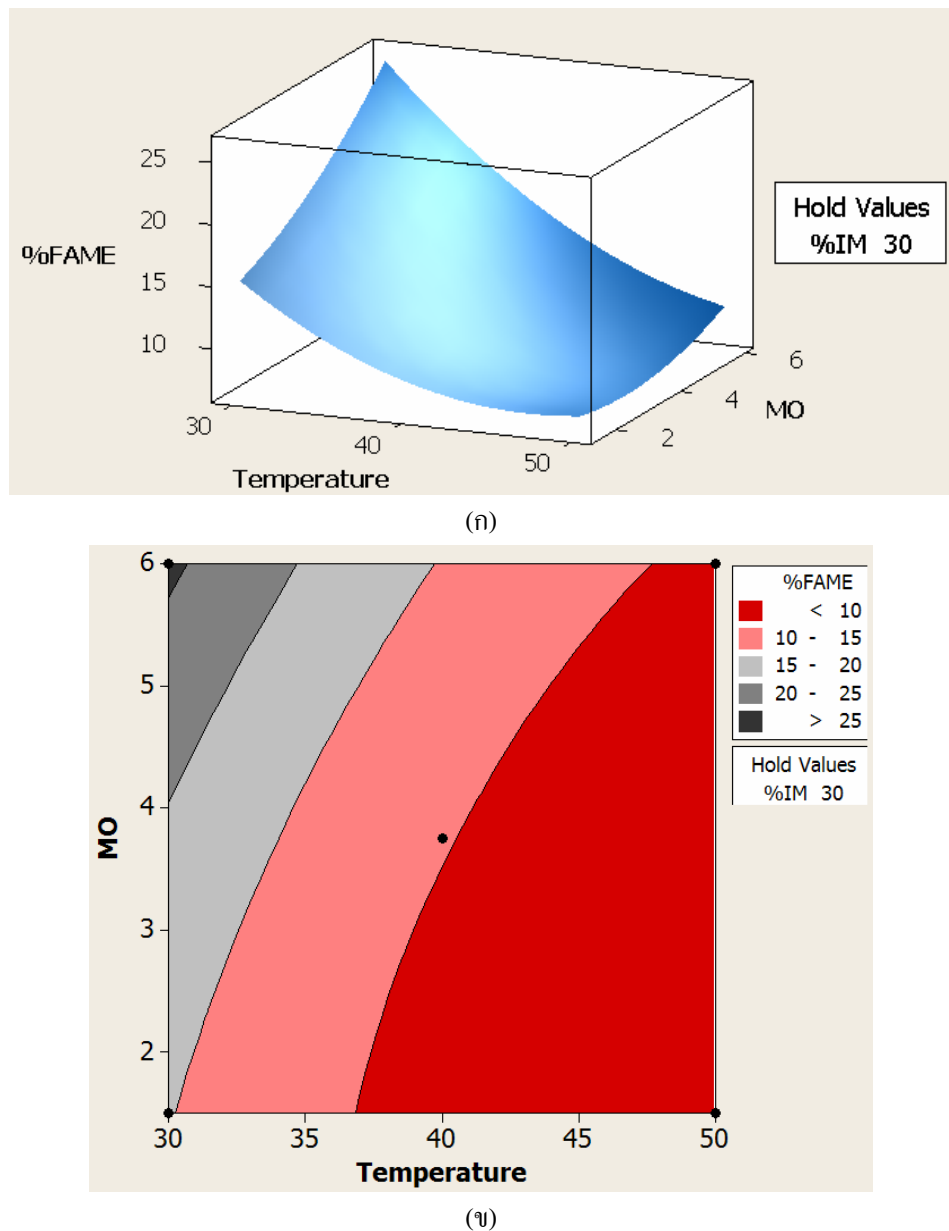
ตารางที่ 17 อุณหภูมิของปฏิกิริยาที่เหมาะสมในการเร่งปฏิกิริยาต่างๆของเอนไซม์ไอลเปส

ผู้วจัย	ปฏิกิริยา	อุณหภูมิที่เหมาะสม
Shieh <i>et. al.</i> , (2003)	ปฏิกิริยาทรานส์อสเทอร์ฟิเคชั่นของน้ำมันถั่วเหลืองกับเมทานอลด้วยเอนไซม์ไอลเปสจาก <i>Rhizomucor miehei</i>	36.5 ° ซ
Gao <i>et. al.</i> , (2006)	ปฏิกิริยาเออสเทอร์ริฟิเคชั่นของน้ำมันถั่วเหลืองและเมทานอลด้วยเอนไซม์ไอลเปสจาก <i>Candida sp.</i>	40 ° ซ
Nie <i>et. al.</i> , (2006)	ปฏิกิริยาทรานส์อสเทอร์ฟิเคชั่นของน้ำมันที่ใช้แล้วและเมทานอลด้วยเอนไซม์ไอลเปสจาก <i>Candida sp.</i>	40 ° ซ
Hari <i>et. al.</i> , (2001)	ปฏิกิริยาเออสเทอร์ริฟิเคชั่นของไอโซ-บิวทีริกและเอทานอลด้วยเอนไซม์ไอลเปสจาก <i>Rhizomucor miehei</i>	30 ° ซ
Combes and Marty (2002)	ปฏิกิริยาทรานส์อสเทอร์ฟิเคชั่นของน้ำมันเมล็ดโคกทานตะวันที่มีกรดโอลีคสูงกับบิวทานอลด้วย Lopozyme	40 ° ซ
งานวิจัยนี้	ปฏิกิริยาทรานส์อสเทอร์ฟิเคชั่นของน้ำมันเมล็ดโคกทานตะวันกับเมทานอลด้วยไอลเปสจาก <i>Pseudomonas fluorescens</i>	30 ° ซ



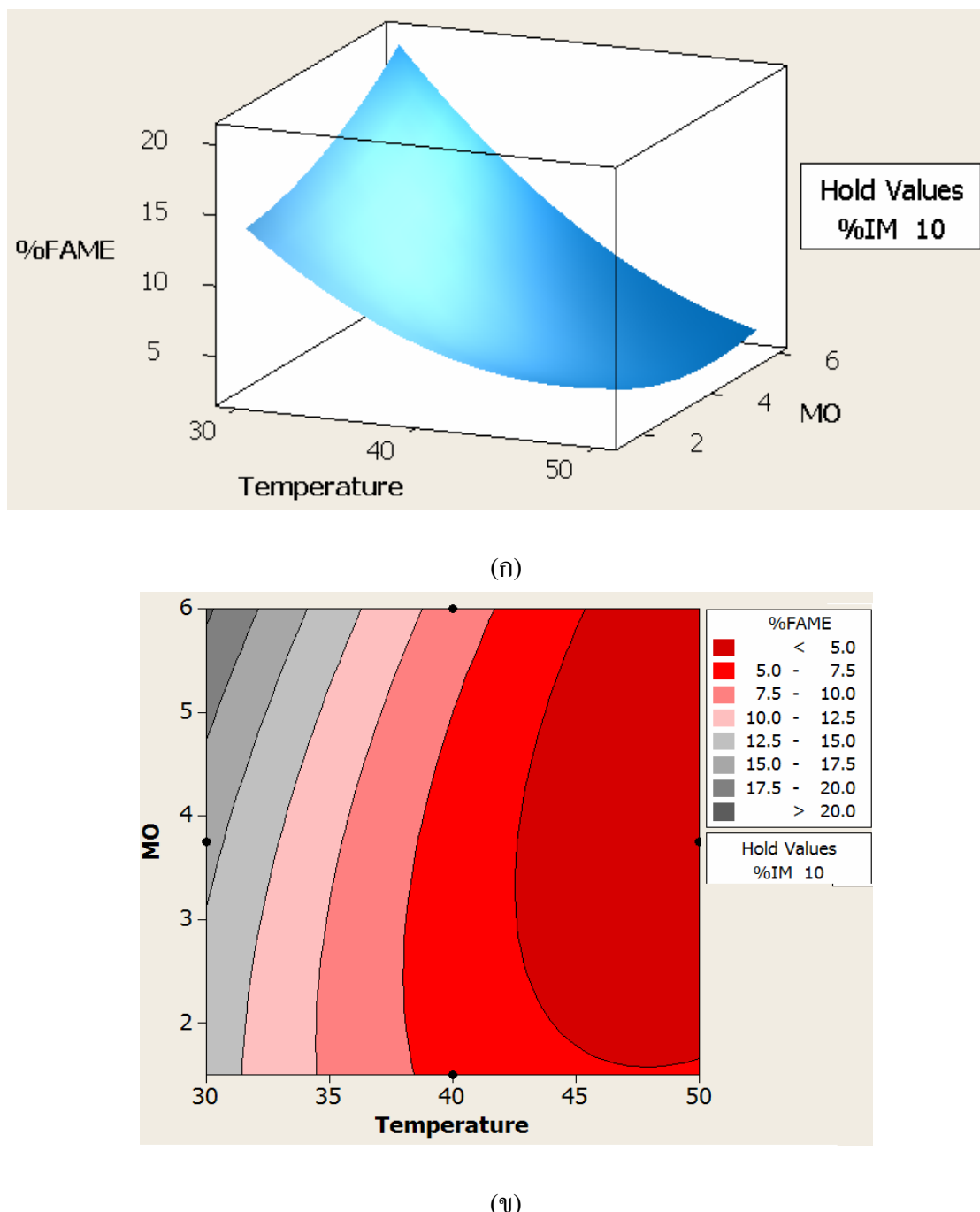
ภาพที่ 22 (ก) กราฟของพื้นผิวแสดงความสัมพันธ์ระหว่างอุณหภูมิของปฏิกิริยา และ อัตราส่วนโดยโมลของเมทานอลต่อน้ำมันเมล็ดดอกทานตะวันต่อ FAME ที่  $IM = 50$

(ง) กราฟคอนทัวร์แสดงความสัมพันธ์ระหว่างอุณหภูมิของปฏิกิริยา และ อัตราส่วนโดยโมลของเมทานอลต่อน้ำมันเมล็ดดอกทานตะวันต่อ FAME ที่  $IM = 50$



ภาพที่ 23 (ก) กราฟของพื้นผิวแสดงความสัมพันธ์ระหว่างอุณหภูมิของปฏิกิริยา และ อัตราส่วนโดยโมลของเมทานอลต่อน้ำมันเมล็ดดอกทานตะวันต่อ FAME ที่  $IM = 30$

(ล) กราฟคอนทัวร์แสดงความสัมพันธ์ระหว่างอุณหภูมิของปฏิกิริยา และ อัตราส่วนโดยโมลของเมทานอลต่อน้ำมันเมล็ดดอกทานตะวันต่อ FAME ที่  $IM = 30$

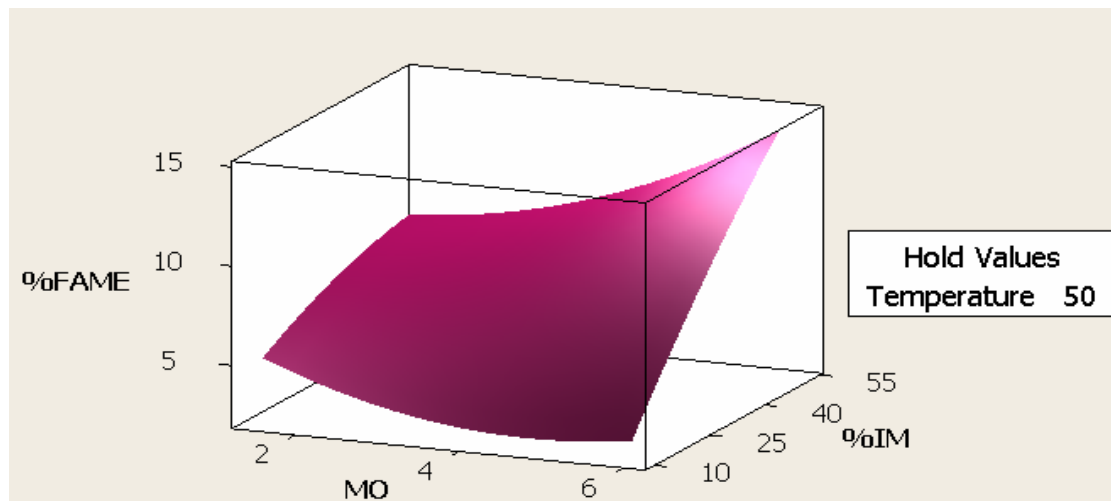


ภาพที่ 24 (ก) กราฟของพื้นผิวแสดงความสัมพันธ์ระหว่างอุณหภูมิของปฏิกิริยา และ อัตราส่วนโดยโมลของเมทานอลต่อน้ำมันเมล็ดดอกทานตะวันต่อ FAME ที่  $IM = 10$

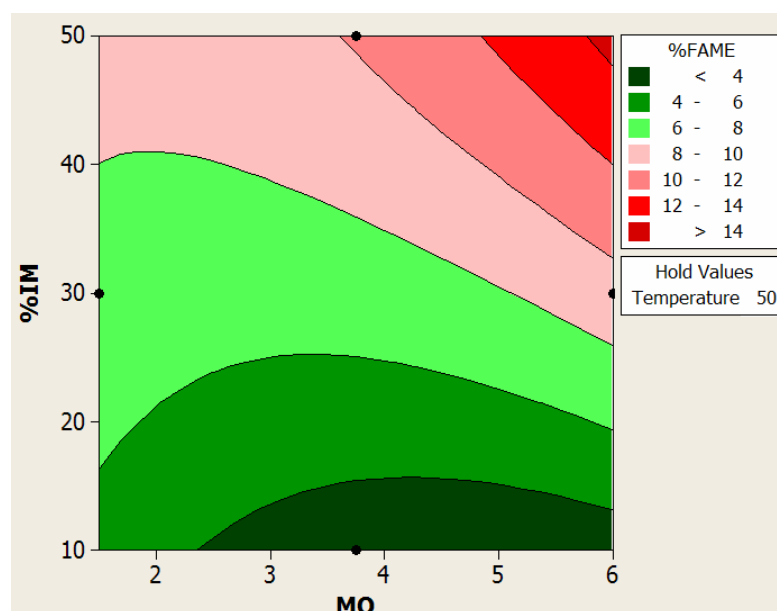
(ข) กราฟคอนทัวร์แสดงความสัมพันธ์ระหว่างอุณหภูมิของปฏิกิริยา และ อัตราส่วนโดยโมลของเมทานอลต่อน้ำมันเมล็ดดอกทานตะวันต่อ FAME ที่  $IM = 10$

3.3.2 อิทธิพลของร้อยละ โดยน้ำหนักของเอนไซม์ไอลิเปสที่ถูกต้อง และ อัตราส่วนโดยไมลของเมทานอลต่อน้ำมันเมล็ดคอกห่านตะวันต่อร้อยละ โดยน้ำหนักของเมทิลเอสเทอร์ในผลิตภัณฑ์

ภาพที่ 25-27 แสดงกราฟพื้นผิวและการทดสอบหัวร์ที่ได้จากการสัมพันธ์ระหว่างร้อยละ โดยน้ำหนักของเอนไซม์ไอลิเปสที่ถูกต้องและอัตราส่วนโดยไมลของเมทานอลต่อน้ำมันเมล็ดคอกห่านตะวันที่อุณหภูมิกองที่ โดยที่ร้อยละ โดยน้ำหนักของเมทิลเอสเทอร์จะมีค่าสูงสุดที่ระดับสูงของร้อยละ โดยน้ำหนักของเอนไซม์ไอลิเปสที่ถูกต้อง ( $IM = 50$ ) และที่ระดับสูงของอัตราส่วนโดยไมลของเมทานอลต่อน้ำมันเมล็ดคอกห่านตะวัน ( $MO = 6:1$ ) ซึ่งสอดคล้องกับงานวิจัยส่วนใหญ่ที่เมื่อมีปริมาณตัวเร่งปฏิกิริยาและความเข้มข้นของสารตั้งต้นมากทำให้ปฏิกิริยาเกิดขึ้นได้ดีขึ้น แต่อย่างไรก็ดีที่อัตราส่วนโดยไมลของเมทานอลและน้ำมันเมล็ดคอกห่านตะวันที่ระหว่าง  $1.5:1$  ถึง  $4:1$  และร้อยละ โดยน้ำหนักของเอนไซม์ไอลิเปสที่ถูกต้องที่  $10$  ถึง  $30$  พบร่วมกับค่าร้อยละ โดยน้ำหนักของเมทิลเอสเทอร์ในสารผลิตภัณฑ์ที่มีค่าสูงกว่าที่อัตราส่วนโดยไมลของเมทานอลและน้ำมันเมล็ดคอกห่านตะวันที่  $6:1$  ซึ่งอาจเกิดจากการที่มีปริมาณของเอนไซม์ไอลิเปสที่ถูกต้องน้อยจนเกินไป จึงทำให้เมทานอลที่มีปริมาณมากจะเกิดการยับยั้งโดยเข้าไปจับกับบริเวณที่พื้นผิวที่ว่องไวจนไม่เลกฤทธิ์เช่นไรด์ในน้ำมันเมล็ดคอกห่านตะวันไม่สามารถจับกับบริเวณดังกล่าวได้ จึงทำให้ได้ปริมาณของเมทิลเอสเทอร์น้อยกว่าที่อัตราส่วนโดยไมลของเมทานอลต่อน้ำมันเมล็ดคอกห่านตะวันที่ค่าอื่นๆ

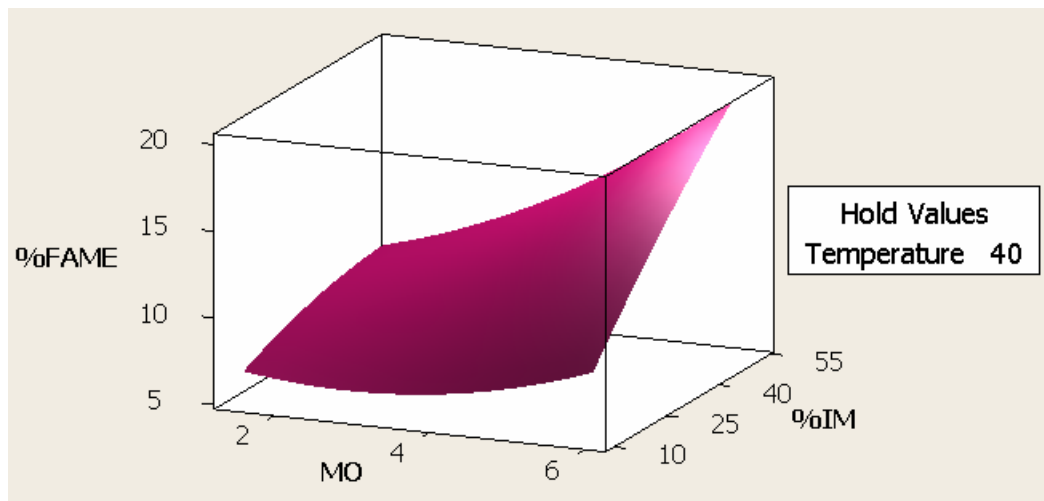


(ก)

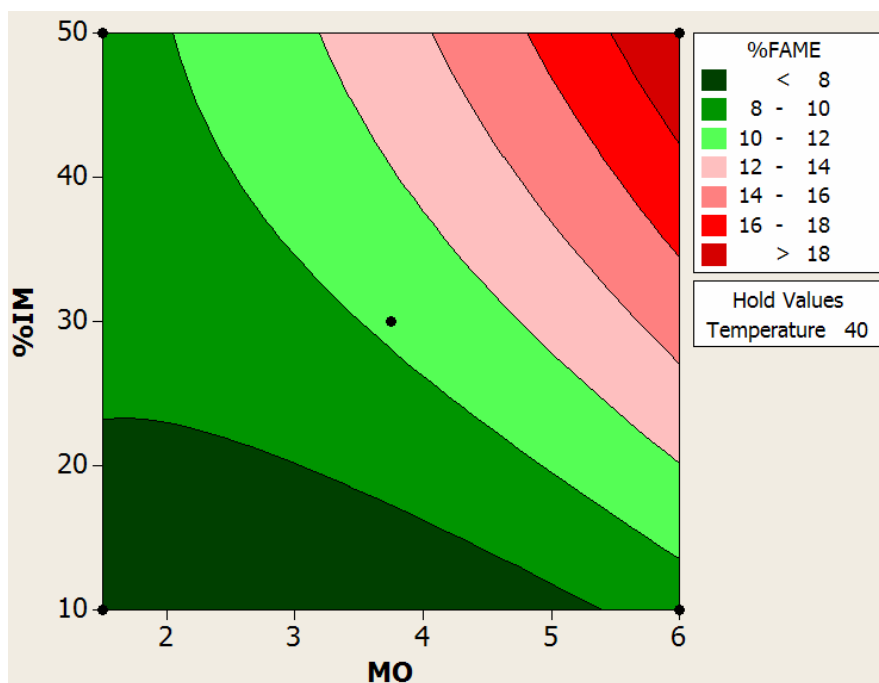


(ข)

- ภาพที่ 25 (ก) กราฟของพื้นผิวแสดงความสัมพันธ์ระหว่างร้อยละโดยนำหนักของเอนไซม์ไลเปสที่ถูกตรึง และ อัตราส่วนโดยไมลของเมทานอลต่อน้ำมัน เมล็ดดอกทานตะวันต่อ FAME ที่อุณหภูมิ  $50^{\circ}\text{C}$
- (ข) กราฟคอนทัวร์แสดงความสัมพันธ์ระหว่างร้อยละโดยนำหนักของเอนไซม์ไลเปสที่ถูกตรึง และ อัตราส่วนโดยไมลของเมทานอลต่อน้ำมัน เมล็ดดอกทานตะวันต่อ FAME ที่อุณหภูมิ  $50^{\circ}\text{C}$



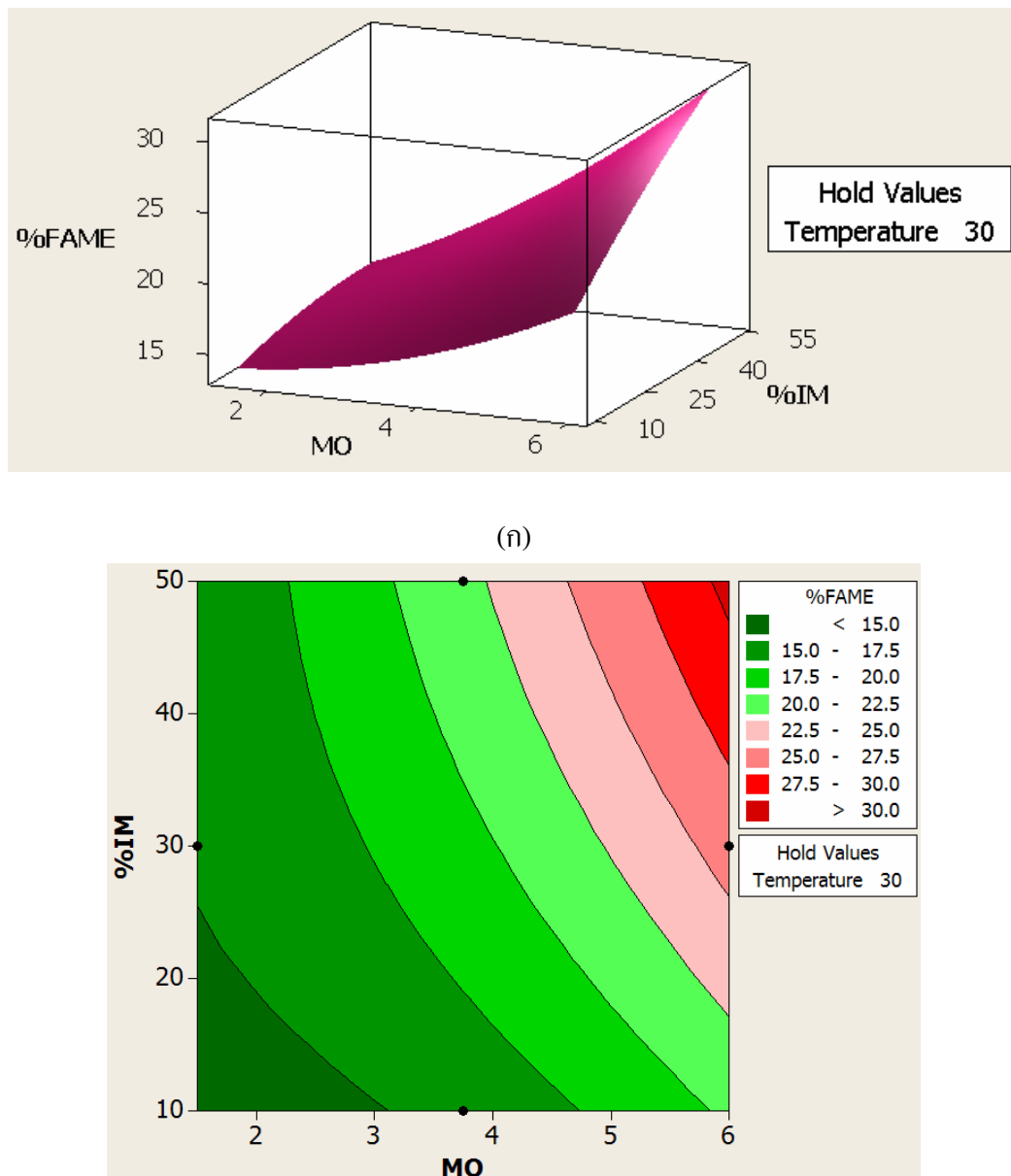
(ก)



(ข)

ภาพที่ 26 (ก) กราฟของพื้นผิวแสดงความสัมพันธ์ระหว่างร้อยละโดยน้ำหนักของเอนไซม์ไลเปสที่ถูกตึง และ อัตราส่วนโดยโมลของเมทานอลต่อน้ำมัน เมล็ดดอกทานตะวันต่อ FAME ที่อุณหภูมิ  $40^{\circ}\text{C}$

(ข) กราฟคอนทัวร์แสดงความสัมพันธ์ระหว่างร้อยละโดยน้ำหนักของเอนไซม์ไลเปสที่ถูกตึง และ อัตราส่วนโดยโมลของเมทานอลต่อน้ำมัน เมล็ดดอกทานตะวันต่อ FAME ที่อุณหภูมิ  $40^{\circ}\text{C}$

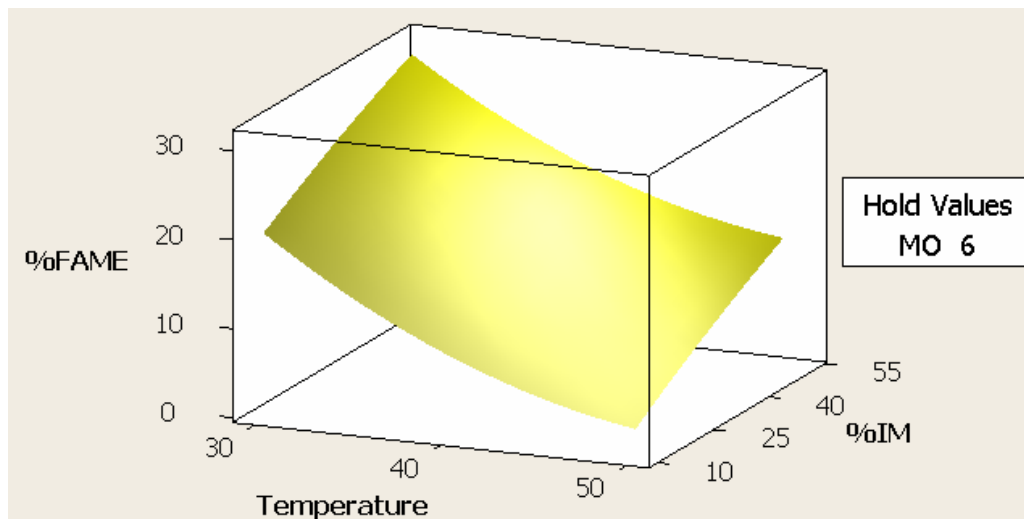


ภาพที่ 27 (ก) กราฟของพื้นผิวแสดงความสัมพันธ์ระหว่างร้อยละโดยน้ำหนักของเอนไซม์ไลเปสที่ถูกต้อง และ อัตราส่วนโดยโมลของเมทานอลต่อน้ำมัน เมล็ดดอกทานตะวันต่อ FAME ที่อุณหภูมิ  $30^{\circ}\text{C}$

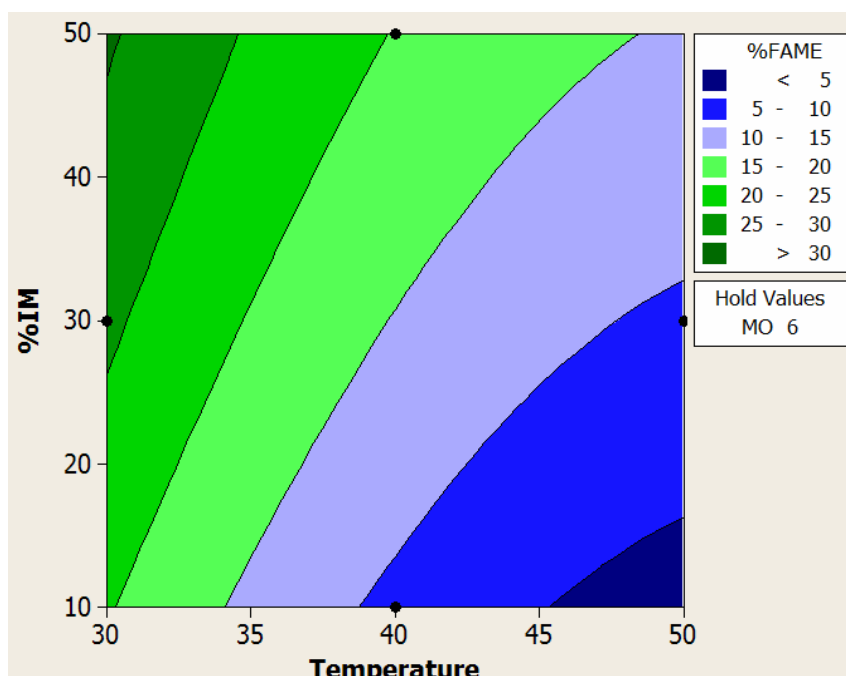
(ข) กราฟคอนทัวร์แสดงความสัมพันธ์ระหว่างร้อยละโดยน้ำหนักของเอนไซม์ไลเปสที่ถูกต้อง และ อัตราส่วนโดยโมลของเมทานอลต่อน้ำมัน เมล็ดดอกทานตะวันต่อ FAME ที่อุณหภูมิ  $30^{\circ}\text{C}$

**3.3.3 อิทธิพลของร้อยละโดยน้ำหนักของเอนไซม์ไอลเปสที่ถูกตรึงและอุณหภูมิของปฎิกริยาต่อร้อยละโดยน้ำหนักของเมทิลเอสเทอร์ในผลิตภัณฑ์**

รูปที่ 28-30 แสดงกราฟพื้นผิวและการฟอกน้ำที่ได้จากความสัมพันธ์ระหว่างร้อยละโดยน้ำหนักของเอนไซม์ไอลเปสที่ถูกตรึงและอุณหภูมิของปฎิกริยาที่อัตราส่วนโดยไมลของเมทานอลต่อน้ำมันเมล็ดดอกทานตะวันคงที่ โดยที่ร้อยละโดยน้ำหนักของเมทิลเอสเทอร์จะมีค่าสูงสุดที่อุณหภูมิ  $30^{\circ}\text{C}$  และร้อยละโดยไมลของเมทานอลต่อน้ำมันเมล็ดดอกทานตะวันเป็น 50 ซึ่งผลการทดลองที่ได้แสดงให้เห็นว่าเอนไซม์ไอลเปสจาก *Pseudomonas fluorescens* ที่ถูกตรึงบนเม็ดไอโคไซด์ ด้วยวิธีห่อหุ้มจะเร่งปฎิกริยาได้ดีที่อุณหภูมิต่ำและการที่ทำปฎิกริยานาสภาวะอุณหภูมิสูงทำให้ค่ากิจกรรมของเอนไซม์ไอลเปสที่ถูกตรึงลดลง โดยอาจเกิดจากการเสื่อมสภาพของเอนไซม์ที่อุณหภูมิสูงโดยจะทำให้เอนไซม์มีพื้นที่ผิวที่กว้างไวต่อปฎิกริยาลดลง มีผลให้ได้ผลิตภัณฑ์เมทิลเอสเทอร์ในปริมาณที่ลดลงด้วย

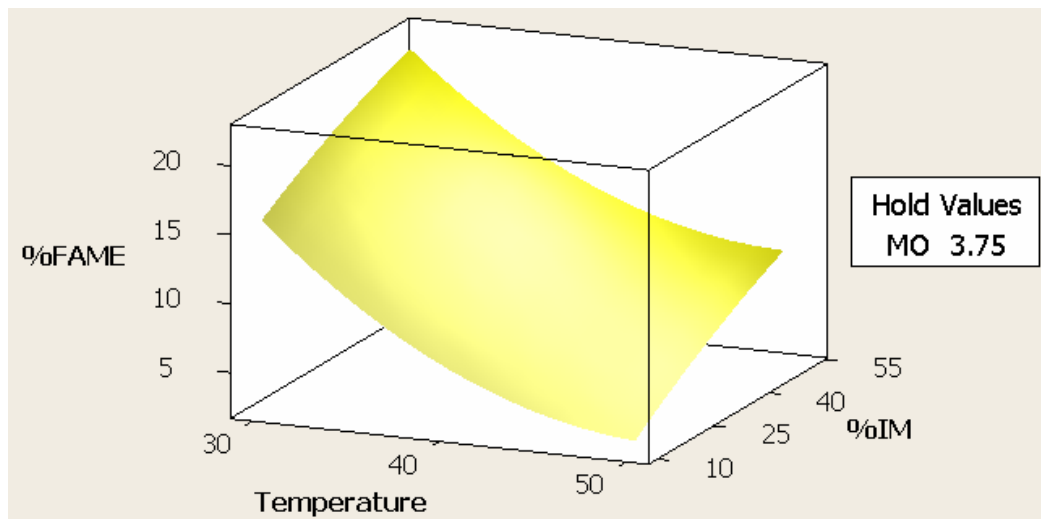


(ก)

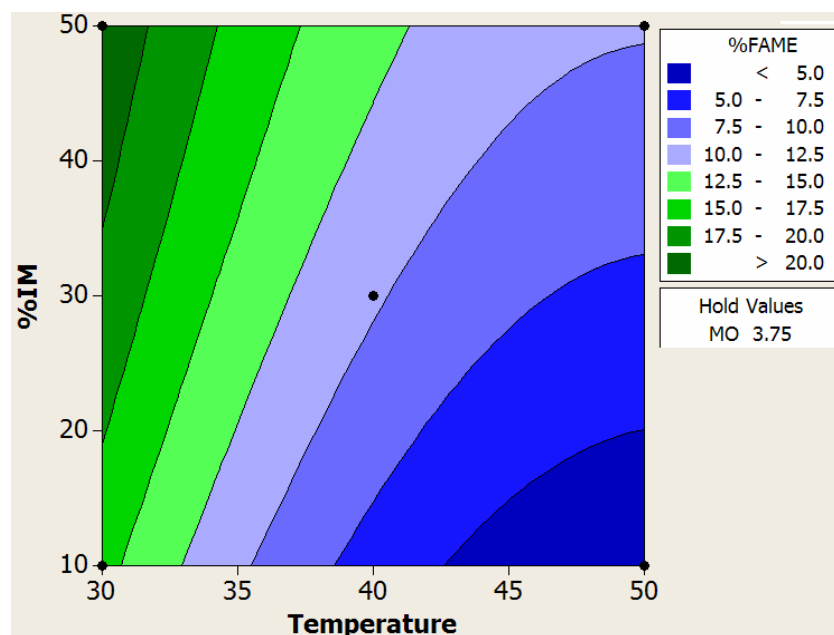


(ข)

- ภาพที่ 28 (ก) กราฟของพื้นผิวแสดงความสัมพันธ์ระหว่างร้อยละโดยนำหักของเอนไซม์ไลเปสที่ถูกต้อง และ อุณหภูมิต่อ FAME ที่อัตราส่วนโดยไมลของเมทานอลต่อน้ำมันเมล็ดคอคอกเท่านั้นเป็น 6:1
- (ข) กราฟคอนทัวร์แสดงความสัมพันธ์ระหว่างร้อยละโดยนำหักของเอนไซม์ไลเปสที่ถูกต้อง และ อุณหภูมิต่อ FAME ที่อัตราส่วนโดยไมลของเมทานอลต่อน้ำมันเมล็ดคอคอกเท่านั้นเป็น 6:1

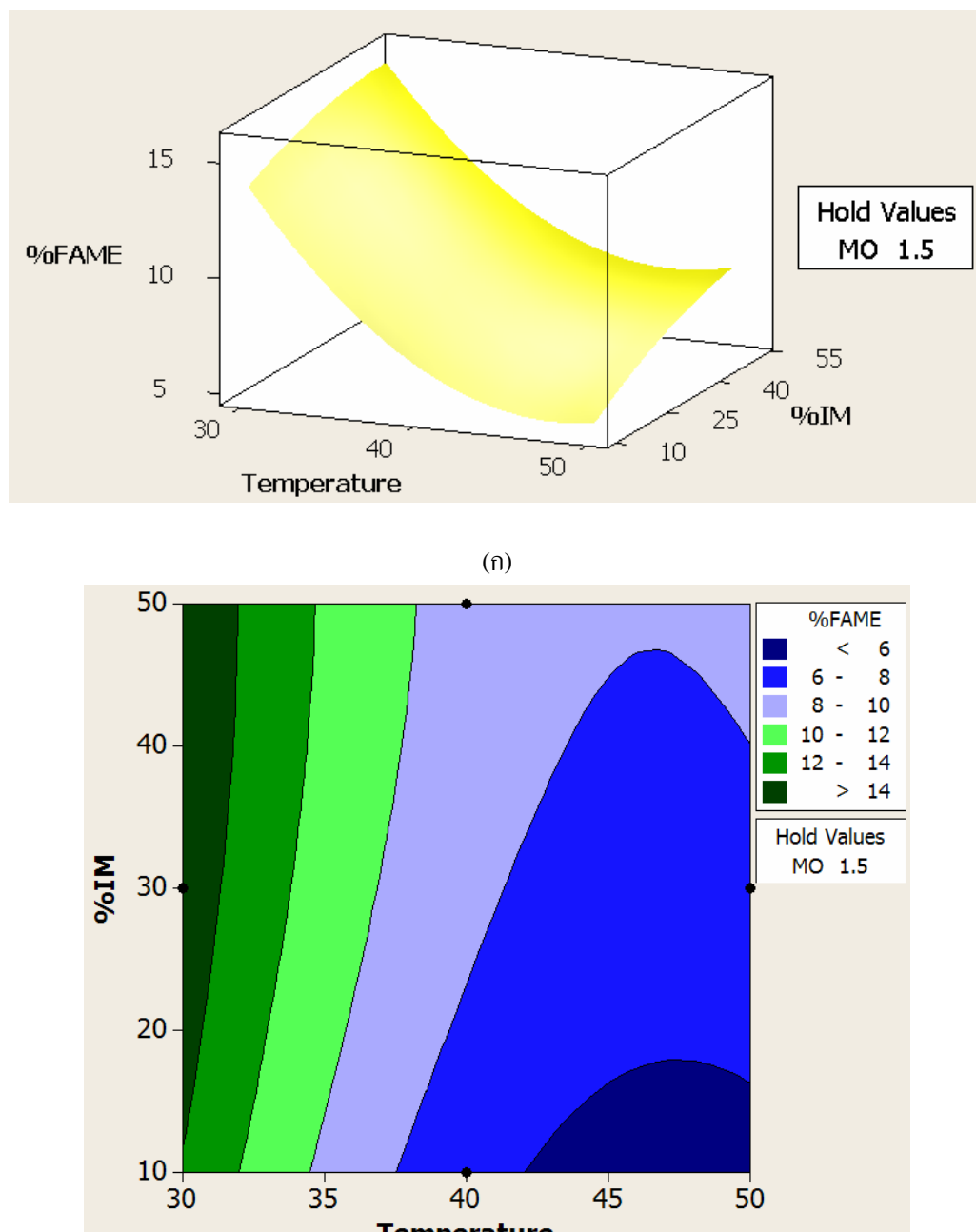


(ก)



(ข)

- ภาพที่ 29 (ก) กราฟของพื้นผิวแสดงความสัมพันธ์ระหว่างร้อยละโดยนำหนักของเอนไซม์ไลเปสที่ถูกต้อง และ อุณหภูมิต่อ FAME ที่อัตราส่วนโดยไมลของเมทานอลต่อน้ำมันเมล็ดคอคอกท่านตะวันเป็น 3.75:1
- (ข) กราฟคอนทัวร์แสดงความสัมพันธ์ระหว่างร้อยละโดยนำหนักของเอนไซม์ไลเปสที่ถูกต้อง และ อุณหภูมิต่อ FAME ที่อัตราส่วนโดยไมลของเมทานอลต่อน้ำมันเมล็ดคอคอกท่านตะวันเป็น 3.75:1



ภาพที่ 30 (ก) กราฟของพื้นผิวแสดงความสัมพันธ์ระหว่างร้อยละโดยน้ำหนักของเอนไซม์ไลเปสที่ถูกต้อง และ อุณหภูมิต่อ FAME ที่อัตราส่วนโดยไมลของเมทานอลต่อน้ำมันเมล็ดดอกทานตะวันเป็น 1.5:1

(ข) กราฟค่อนทัวร์แสดงความสัมพันธ์ระหว่างร้อยละโดยน้ำหนักของเอนไซม์ไลเปสที่ถูกต้อง และ อุณหภูมิต่อ FAME ที่อัตราส่วนโดยไมลของเมทานอลต่อน้ำมันเมล็ดดอกทานตะวันเป็น 1.5:1

### 3.4 สภาวะที่เหมาะสมและช่วงความเชื่อมั่นในการผลิตไบโอดีเซล

สภาวะที่เหมาะสมของการผลิตไบโอดีเซลจากน้ำมันเมล็ดดอกทานตะวัน และเมทานอลจากเอนไซม์ไอลเปสที่ถูกต้องบนเม็ดไก่โตชาานด้วยวิธีห่อหุ้มคือ

$$\text{อุณหภูมิของปฏิกิริยา} = 30^\circ \text{ ซ}$$

$$\text{อัตราส่วนโดยรวมที่} \text{น้ำมันเมล็ดดอกทานตะวัน} = 6:1$$

$$\text{ร้อยละโดยน้ำหนักของเอนไซม์ไอลเปสที่ถูกต้อง} = 50$$

$$\text{ร้อยละโดยน้ำหนักของเมทิลเอสเทอร์ที่ได้จากการทดลองจำลองทางคณิตศาสตร์}$$

(การคำนวณแสดงในภาคผนวก ข2)

$$= 30.7$$

ทั้งนี้เมื่อได้สภาวะที่เหมาะสมต่อการผลิตไบโอดีเซลจากน้ำมันเมล็ดดอกทานตะวันด้วยเอนไซม์ไอลเปสที่ถูกต้องบนเม็ดไก่โตชาาน เพื่อทำการยืนยันค่าปริมาณร้อยละโดยน้ำหนักของเมทิลเอสเทอร์สูงสุดที่ได้จากการทดลองผลิตไบโอดีเซลในสภาวะที่เหมาะสมจำนวน 3 ตัวอย่างเพื่อหาสภาวะที่เหมาะสมและช่วงความเชื่อมั่นในการผลิตไบโอดีเซล โดยได้ผลการทดลองดังตารางที่ 18 ดังนี้

**ตารางที่ 18 ร้อยละโดยน้ำหนักของเมทิลเอสเทอร์ที่ผลิตได้จากการทดลองจำลองทางคณิตศาสตร์**

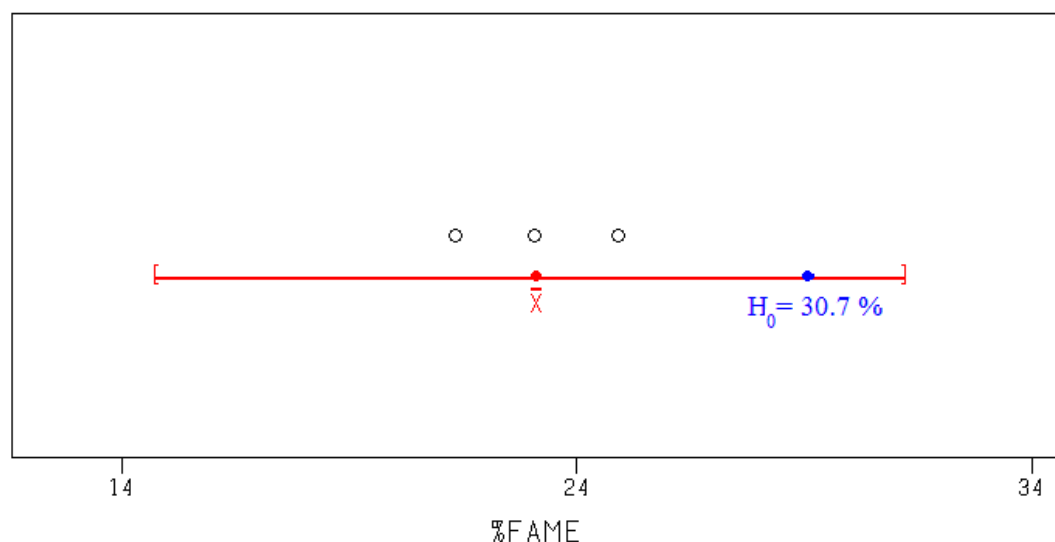
ปฏิกิริยาของเอนไซม์ไอลเปส

ตัวอย่างที่	ร้อยละโดยน้ำหนักของเมทิลเอสเทอร์
1	24.90
2	23.07
3	21.34

ทั้งนี้ค่าเฉลี่ย ( $\bar{x}$ ) ร้อยละโดยน้ำหนักของเมทิลเอสเทอร์ที่ได้วัดมีค่าเป็น 23.10 ซึ่งค่าเฉลี่ยที่ได้สามารถนำมาใช้อุณามทางสถิติเพื่อหาค่าเฉลี่ยที่แท้จริง ( $\mu$ ) ของร้อยละโดยน้ำหนักของเมทิลเอสเทอร์ที่ผลิตได้จากการทดลองที่เหมาะสม และเนื่องจากกลุ่มตัวอย่างที่ใช้ทดสอบมีขนาดเล็ก ( $n < 30$ ) พบว่าค่าเฉลี่ยที่แท้จริง ( $\mu$ ) ของร้อยละโดยน้ำหนักของเมทิลเอสเทอร์ที่ได้จากการทดลองที่เหมาะสมตามแบบจำลองทางคณิตศาสตร์ของ Box-Behnken คือ 30.7 ทั้งนี้ค่าเฉลี่ยร้อยละโดยน้ำหนัก

ของเมทิลเอสเทอร์ที่แท้จริงในสภาวะที่เหมาะสมจะมีค่าในช่วงร้อยละ  $14.81 \pm 31.40$  ( $14.81 < \mu < 31.40$ ) ที่ระดับนัยสำคัญ  $98.5\%$  โดยการคำนวณแสดงไว้ในภาคผนวก ฉ

ภาพที่ 31 แสดงช่วงความเชื่อมั่นของร้อยละโดยนำหนักของเมทิลเอสเทอร์ที่ผลิตได้ โดยแสดงให้เห็นว่าค่าเฉลี่ยที่แท้จริง ( $\mu$ ) ของร้อยละโดยนำหนักของเมทิลเอสเทอร์พบว่าอยู่ในช่วงที่ประมาณได้

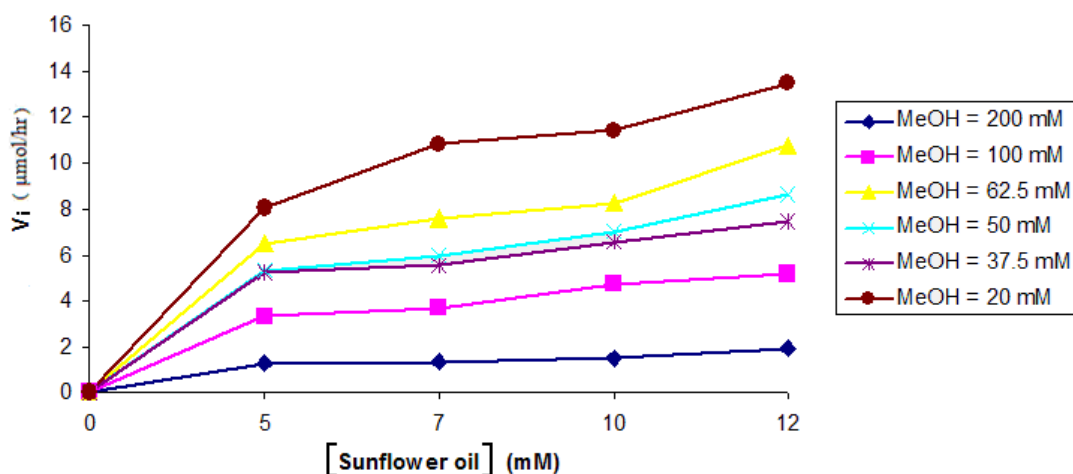


ภาพที่ 31 ช่วงค่าเฉลี่ยที่แท้จริงของค่าร้อยละโดยนำหนักของเมทิลเอสเทอร์ที่ได้จากการ  
สภาวะที่เหมาะสม ( $T = 30^\circ \text{ ช } MO = 6:1 \text{ } IM = 50$ )

เมื่อ  $\bar{x}$  คือ ค่าเฉลี่ยของร้อยละโดยนำหนักของเมทิลเอสเทอร์ที่ได้จากการ  
ทดลอง และ  $H_0$  คือ สมมติฐานหลัก ( $H_0 = 30.7$ )

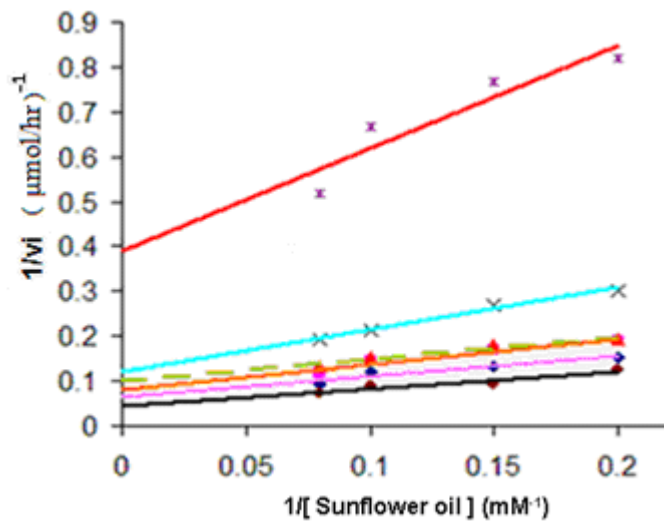
#### 4. การหาค่าคงที่ทางจลนพลศาสตร์

การหาค่าคงที่ทางจลนพลศาสตร์ของปฏิกิริยาทรานส์อสเทอโรริฟิเคนชั่นของน้ำมันเมล็ดดอกทานตะวันและเมทานอลด้วยเอนไซม์ไอลเปสที่ถูกตีริงบนเม็ดไกโตซาน พิจารณาจากการวิเคราะห์หาค่าอัตราการเกิดปฏิกิริยาเริ่มต้นที่ความเข้มข้นของน้ำมันเมล็ดดอกทานตะวันและเมทานอลแตกต่างกัน ภาพที่ 32 แสดงผลการทดลองหาค่าอัตราการเกิดปฏิกิริยาเริ่มต้นกับความเข้มข้นของน้ำมันเมล็ดดอกทานตะวันที่ความเข้มข้นของเมทานอลต่างๆ



ภาพที่ 32 ความสัมพันธ์ระหว่างอัตราการเกิดปฏิกิริยาเริ่มต้นกับความเข้มข้นของน้ำมันเมล็ดดอกทานตะวันที่ความเข้มข้นของเมทานอลตั้งแต่ 20-200 มิลลิโมลาร์

จากการทดลองพบว่า อัตราการเกิดปฏิกิริยาเริ่มต้นจะเพิ่มขึ้นเมื่อความเข้มข้นของน้ำมันเมล็ดดอกทานตะวันเพิ่มขึ้นในทุกความเข้มข้นของเมทานอล แต่เมื่อพิจารณาอิทธิพลของความเข้มข้นของเมทานอลพบว่า ความเข้มข้นของเมทานอลคือ 20 มิลลิโมลาร์จะได้ค่าอัตราการเกิดปฏิกิริยาเริ่มต้นสูงที่สุดในทุกความเข้มข้นของน้ำมันเมล็ดดอกทานตะวัน โดยจะได้ค่าอัตราการเกิดปฏิกิริยาเริ่มต้นสูงกว่าที่ความเข้มข้นของเมทานอลคือ 62.5 50 37.5 100 และ 200 มิลลิโมลาร์ตามลำดับ จะพบว่าอัตราการเกิดปฏิกิริยาเริ่มต้นจะลดลงซึ่งอาจเกิดจากกรดบัฟเฟอร์ที่ใช้ในการทดลองที่มีความเป็นพิษต่อเอนไซม์ไอลเปสที่ถูกตีริง ทั้งนี้แบบจำลองทางคณิตศาสตร์ที่ใช้อธิบายอัตราการเกิดปฏิกิริยาเริ่มต้นกับความเข้มข้นของน้ำมันเมล็ดดอกทานตะวันและเมทานอลเป็นไปตามสมการที่ 8



ภาพที่ 33 ความสัมพันธ์ระหว่าง  $1/V_i$  และ ส่วนกลับของความเข้มข้นน้ำมันเมล็ดดอกทานตะวัน

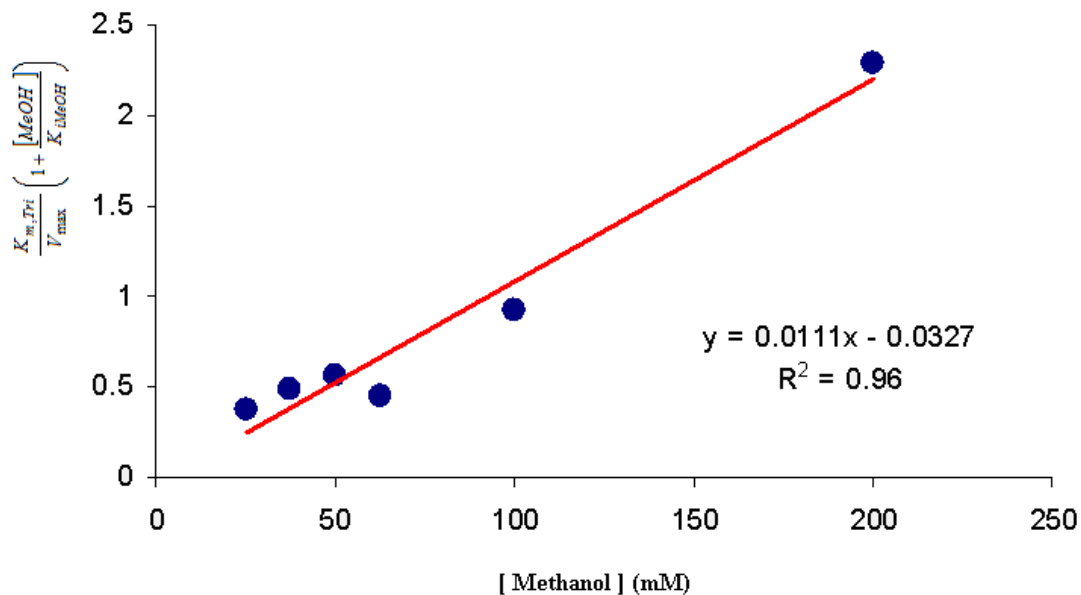
$\text{---} \times \text{---}$ MeOH = 200 mM	$\text{---} \times \text{---}$ MeOH = 100 mM	$\text{---} \star \text{---}$ MeOH = 62.5 mM
$\text{---} \blacksquare \text{---}$ MeOH = 50 mM	$\text{---} \blacktriangle \text{---}$ MeOH = 37.5 mM	$\text{---} \bullet \text{---}$ MeOH = 20 mM

ค่าความชันและจุดตัดแกน\_y ของความสัมพันธ์ระหว่าง  $1/V_i$  และส่วนกลับของความเข้มข้นของน้ำมันเมล็ดดอกทานตะวันจะพบว่า  $y$ -截距กับความเข้มข้นของเมทานอล ดังสมการ

$$\text{Slope} = \frac{K_{m,Tri}}{V_{\max}} \left( 1 + \frac{[MeOH]}{K_{i,MeOH}} \right) \quad (18)$$

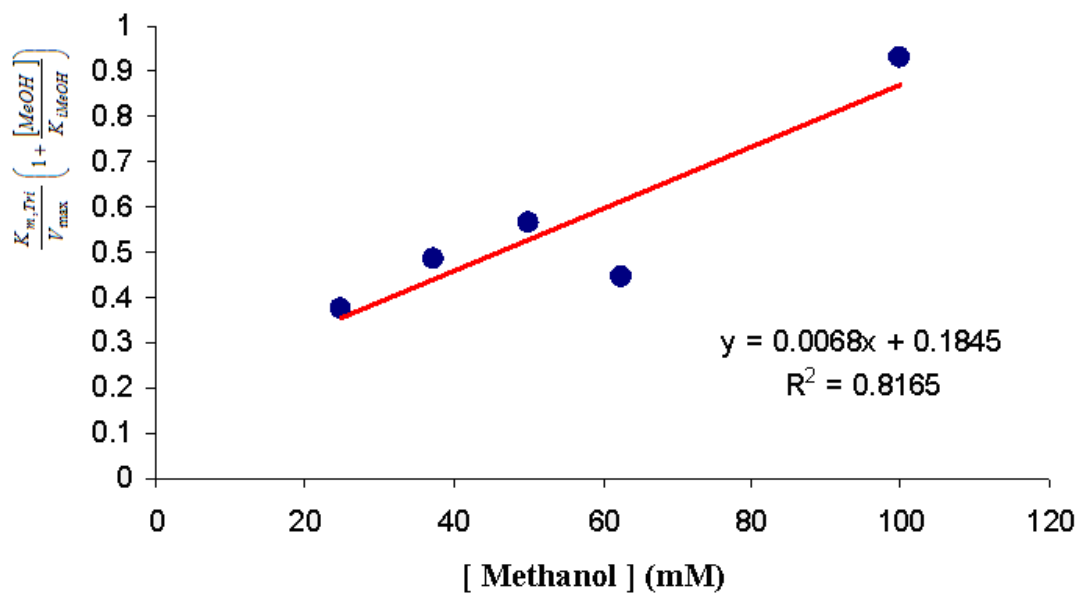
$$Y\text{-intercept} = \left( \frac{K_{m,MeOH}}{V_{\max} [MeOH]} + \frac{1}{V_{\max}} \right) \quad (19)$$

เมื่อสร้างกราฟความสัมพันธ์ระหว่างค่าความชันกับความเข้มข้นของเมทานอล ดังแสดงในภาพที่ 34 โดยกราฟความสัมพันธ์ดังกล่าวถูกนำมาใช้ในการหาค่าคงที่ทางจลนพลศาสตร์ได้ดังนี้



ภาพที่ 34 ความสัมพันธ์ระหว่าง  $\frac{K_{m,Tri}}{V_{max}} \left( 1 + \frac{[MeOH]}{K_{i,MeOH}} \right)$  และ ความเข้มข้นของเมทานอล

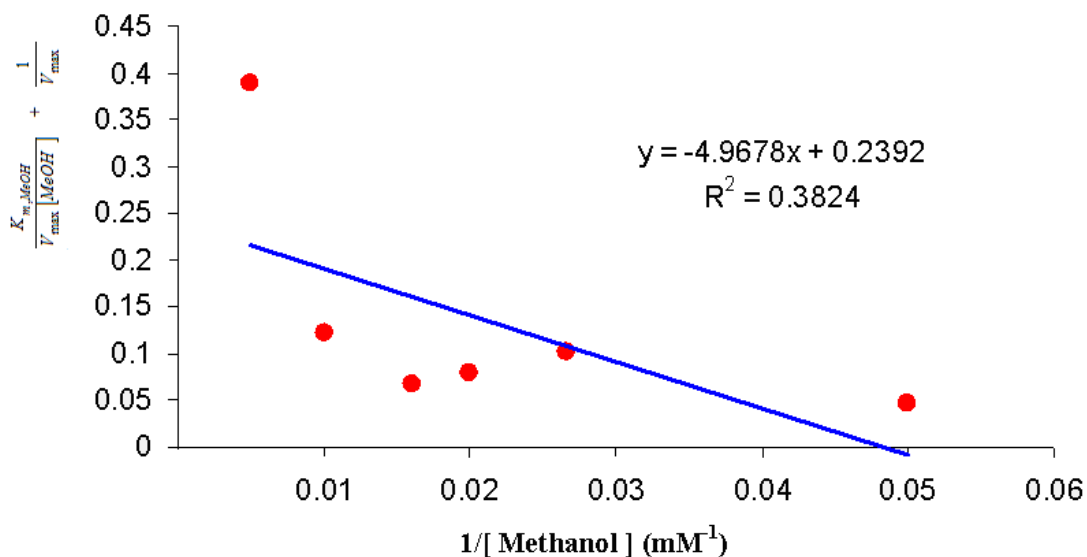
เมื่อพิจารณาภาพที่ 34 จะพบว่า ได้ค่าความชันซึ่งมีนิยามคือ  $\frac{K_{m,Tri}}{V_{max} K_{i,MeOH}}$  เป็น 0.0111 และ จุดตัดแกนเวย์ ซึ่งมีนิยามเป็น  $\frac{K_{m,Tri}}{V_{max}}$  เป็น -0.0327 ทำให้ค่าคงที่ทางจลนพลศาสตร์ที่คำนวณได้บางค่ามีค่าเป็นลบ โดยปกติแล้วค่าคงที่ทางจลนพลศาสตร์จะมีค่าเป็นบวก ด้วยเหตุนี้ เมื่อพิจารณาข้อมูลความเข้มข้นของเมทานอลที่ทำให้เส้นกราฟมีจุดตัดแกนเวย์เป็นลบ โดยจะพบว่าเป็นข้อมูลที่ความเข้มข้นของเมทานอลเป็น 200 มิลลิเมตร ซึ่งความเข้มข้นของเมทานอลดังกล่าวอาจทำให้เอนไซม์ไอลเปสเสื่อมสภาพซึ่งเกิดจากการยับแข็งปฏิกิริยาประเทกสารพิษ (Toxic substance) ด้วยเหตุนี้จึงพิจารณาตัดข้อมูลดังกล่าว ซึ่งจะได้ภาพที่ 35 ดังนี้



ภาพที่ 35 ความสัมพันธ์ระหว่าง  $\frac{K_{m,tri}}{V_{max}} \left( 1 + \frac{[MeOH]}{K_{i,MeOH}} \right)$  และ ความเข้มข้นของเมทานอล เมื่อพิจารณาจะทิ้งข้อมูลที่ความเข้มข้นของเมทานอลเป็น 200 มิลลิโลมาล

ทั้งนี้จะได้ค่าความชัน มีค่าเป็น 0.0068 และจะได้จุดตัดแกน\_y มีค่าเป็น 0.1845

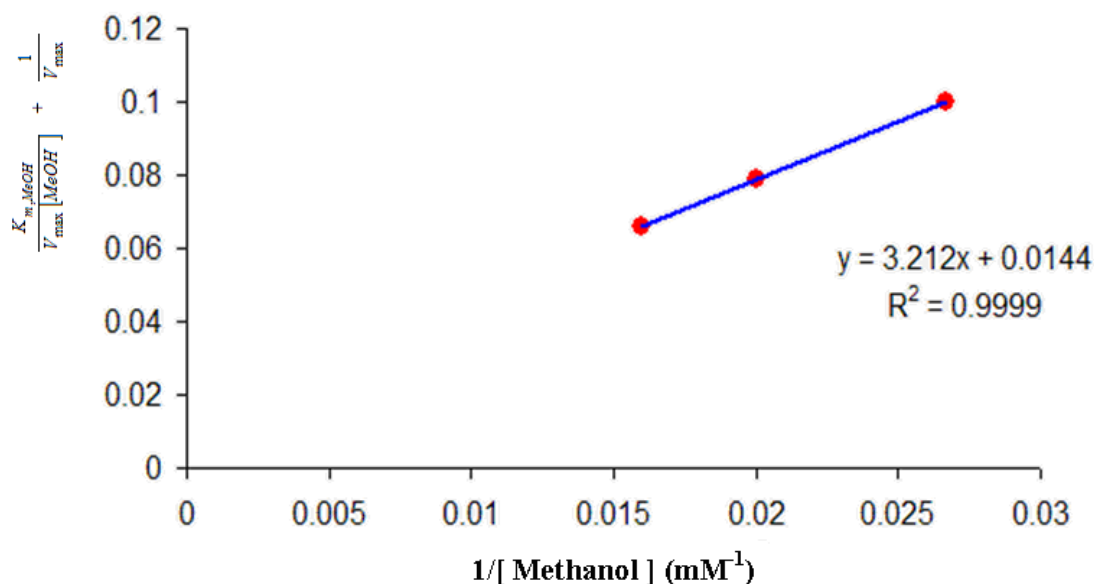
เมื่อทำการสร้างกราฟความสัมพันธ์ระหว่างค่า  $\frac{K_{m,MeOH}}{V_{max}[MeOH]} + \frac{1}{V_{max}}$  และ ส่วนกลับของความเข้มข้น จะได้ดังภาพที่ 36



ภาพที่ 36 ความสัมพันธ์ระหว่าง  $\frac{K_{m,MeOH}}{V_{max}[MeOH]} + \frac{1}{V_{max}}$  และ ส่วนกลับของความเข้มข้นของเมทานอล

เมื่อพิจารณาภาพที่ 36 จะพบว่าได้ค่าความชันซึ่งมีนิยามคือ  $\frac{K_{m,MeOH}}{V_{max}}$  เท่ากับ -4.9678 และ จุดตัดแกน y ซึ่งมีนิยามคือ  $\frac{1}{V_{max}}$  เท่ากับ 0.2392 โดยมีค่าสหสัมพันธ์เป็น 0.3824

ทั้งนี้จะพบว่า ค่าความชันของกราฟในภาพที่ 36 มีค่าเป็นลบ และค่าสหสัมพันธ์เป็น 0.3824 ซึ่งมีค่าที่ต่ำเกินไป อาจเกิดจากการทำการทดลองที่ความเข้มข้นของเมทานอลในช่วงความเข้มข้นที่ต่ำจนเกินไปทำให้เกิดปฏิกิริยาข้อนกลับสูงกว่าปฏิกิริยาไปข้างหน้า หรือความเข้มข้นของเมทานอลสูงจนเกินไปจนทำให้ปฏิกิริยาถูกขับยังด้านเมทานอล ด้วยเหตุนี้จึงทำการทดลองตัดข้อมูลความเข้มข้นของเมทานอลที่ 20 100 และ 200 มิลลิโมลาร์ ซึ่งจะได้กราฟความสัมพันธ์ระหว่างค่าจุดตัดแกน y และ ส่วนกลับของความเข้มข้นของเมทานอลได้ใหม่ดังภาพที่ 37 ซึ่งจะได้ความชันคือ 3.212 และจุดตัดแกน y คือ 0.0144



ภาพที่ 37 ความสัมพันธ์ระหว่าง  $\frac{K_{m,\text{MeOH}}}{V_{\max}} [\text{MeOH}] + \frac{1}{V_{\max}}$  และ ส่วนกลับของเมทานอลเมื่อพิจารณาและทิ้งข้อมูลที่ความเข้มข้นของเมทานอลเป็น 20 100 และ 200 มิลลิโมลาร์

ทั้งนี้จะได้ค่าคงที่ทางจนผลศาสตร์ค่าวิธีกราฟสองขั้นตอนดังแสดงในตารางที่ 19 แต่เมื่อพิจารณาค่าคงที่ทางจนผลศาสตร์ที่ได้จากการวิธีกราฟ พบว่า ไม่สอดคล้องกับงานวิจัยอื่นๆเนื่องจากค่า  $K_{m,\text{MeOH}}$  มีค่าน้อยกว่า  $K_{m,\text{Tri}}$  ซึ่งพบว่า แตกต่างจากงานวิจัยอื่นๆอีกหลายงานวิจัย เช่น Combes and Marty (2002) และ Hari *et al.*, (2001) เพื่อแก้ปัญหาดังกล่าว Combes and Marty (2002) ได้เสนอวิธีการแก้ปัญหาค่าคงที่ทางจนผลศาสตร์ที่ได้จากการวิธีกราฟด้วยวิธีเชิงตัวเลขด้วยคอมพิวเตอร์ Excel ด้วยเหตุนี้งานวิจัยนี้จึงอาศัยวิธีการที่เสนอโดย Combes and Marty (2002) ซึ่งอาศัยวิธีผลต่างกำลังสองน้อยที่สุดในการประมาณค่าในการหาค่าคงที่ทางจนผลศาสตร์ โดยอาศัยสมการที่ 11 ดังนี้

$$\text{Total error} = \sum_i (V_i^e - V_i^m)^2 \quad (11)$$

เมื่อ

$$\begin{aligned}
 V_i^e &= \text{อัตราการเกิดปฏิกิริยาที่ได้จากการทดลอง} \\
 V_i^m &= \text{อัตราการเกิดปฏิกิริยาที่ได้จากการทดลองทางจนผลศาสตร์}
 \end{aligned}$$

ทั้งนี้ตารางที่ 19 แสดงค่าคงที่ทางจลนพลศาสตร์โดยใช้วิธีทางกราฟและวิธีเชิงตัวเลขด้วยคอมพิวเตอร์ดังนี้

ตารางที่ 19 ค่าคงที่ทางจลนพลศาสตร์โดยใช้วิธีทางกราฟและวิธีเชิงตัวเลขด้วยคอมพิวเตอร์

วิธีการ	$V_{max}$ ( $\mu\text{mol}\cdot\text{h}^{-1}$ )	$k_{m,Tri}$ (mmol)	$k_{m,MeOH}$ (mmol)	$k_{i,MeOH}$ (mmol)
วิธีกราฟ	69.45	12.81	3.212	16.18
วิธีเชิงตัวเลขด้วยคอมพิวเตอร์	69.45	12.81	68.36	13.84

ค่า  $k_{m,MeOH}$  และ  $k_{i,MeOH}$  ที่ได้จากวิธีเชิงตัวเลขด้วยคอมพิวเตอร์ พบว่า ให้ค่าคงที่ทางจลนพลศาสตร์ที่สอดคล้องกับความเข้มข้นของเมทานอลที่ยังยังปฏิกิริยาทรานส์อสเตโรฟิเคลชันของน้ำมันเมล็ดดอกทานตะวันและเมทานอลในงานวิจัยอื่นๆ เช่น Combes and Marty (2002) และ Freeman and Pryde (1983) ทั้งนี้ค่า  $k_{m,tri}$  และค่า  $k_{m,MeOH}$  ซึ่งเป็นค่าที่แสดงถึงค่าร่องหนึ่งของความเข้มข้นของน้ำมันเมล็ดดอกทานตะวันและเมทานอลที่ให้ค่าอัตราการเกิดปฏิกิริยาเริ่มต้นสูงสุด ( $V_{max}$ ) ซึ่งค่าที่ได้สอดคล้องกับการทดลองหาสภาวะที่เหมาะสมต่อการผลิตไบโอดีเซลจากการออกแบบการทดลองแบบ Box-Behnken ซึ่งให้ค่าอัตราส่วนโดยไม่คงของเมทานอลต่อน้ำมันเมล็ดดอกทานตะวันที่เหมาะสมที่สุดคือ 6:1

## สรุปและข้อเสนอแนะ

### สรุป

#### 1. การหาสภาวะที่เหมาะสมในการตรึงเอนไซม์ไลเปสโดยใช้สติ๊ดด้วยวิธีการออกแบบทดลองแบบ Two-way ANOVA

การออกแบบการทดลองแบบ Two-way ANOVA เป็นวิธีการทางสถิติที่ใช้ในการศึกษาหาสภาวะที่เหมาะสมในการตรึงเอนไซม์ไลเปสจาก *Pseudomonas fluorescens* ด้วยเม็ดไก่โตชานโดยวิธีห่อหุ้ม โดยปัจจัยที่ศึกษาได้แก่วิธีการเตรียมสารละลายน้ำไก่โตชาน (ละลายน้ำไก่โตชานปริมาณ 1 กรัมใน 1%v/v สารละลายน้ำไก่โตชาน 1.5 กรัมใน 1.5%v/v สารละลายน้ำไก่โตชาน และ 2 กรัมใน 2%v/v สารละลายน้ำไก่โตชาน) และอัตราส่วนโดยน้ำหนักของเอนไซม์ไลเปสกับสารละลายน้ำไก่โตชานเป็น 1:100 1:150 และ 1:200 จากการทดลองพบว่า ที่สภาวะการเตรียมสารละลายน้ำไก่โตชาน 1.5 กรัมใน 1.5%v/v และอัตราส่วนโดยน้ำหนักของเอนไซม์ไลเปสกับสารละลายน้ำไก่โตชานเป็น 1:150 จะให้ค่ากิจกรรมของเอนไซม์ไลเปสที่มีค่าสูงสุดคือ 396 หน่วยต่อกรัมของเอนไซม์ไลเปสที่ถูกตรึงที่ระดับนัยสำคัญ 99%

#### 2. การศึกษาปัจจัยที่มีอิทธิพลในกระบวนการผลิตไบโอดีเซลจากน้ำมันเมล็ดดอกทานตะวันและเมทานอลโดยใช้เอนไซม์ไลเปสที่ถูกตรึงโดยใช้สติ๊ดด้วยวิธีการออกแบบการทดลองแบบ Plankett-Burman

การออกแบบการทดลองแบบ Plankett-Burman ถูกใช้ในการศึกษาปัจจัยที่มีอิทธิพลต่อการผลิตไบโอดีเซลจากน้ำมันเมล็ดดอกทานตะวันและเมทานอลด้วยเอนไซม์ไลเปสที่ถูกตรึงบนเม็ดไก่โตชานด้วยวิธีห่อหุ้ม โดยปัจจัยที่ศึกษาได้แก่ อุณหภูมิของปฏิกิริยา อัตราส่วนโดยไมลของเมทานอลต่อน้ำมันเมล็ดดอกทานตะวัน ร้อยละโดยน้ำหนักของเอนไซม์ไลเปสที่ถูกตรึง ร้อยละโดยน้ำหนักของตัวทำละลายร่วม (นอร์มอล-ເສກເຊນ) และร้อยละโดยน้ำหนักของน้ำ พบว่า ปัจจัยที่มีอิทธิพลต่อการผลิตไบโอดีเซลได้แก่ อุณหภูมิของปฏิกิริยา อัตราส่วนโดยไมลของเมทานอลต่อน้ำมันเมล็ดดอกทานตะวัน และร้อยละโดยน้ำหนักของเอนไซม์ไลเปสที่ถูกตรึง

### 3. การศึกษาหาสภาวะที่เหมาะสมในการผลิตไบโอดีเซลจากน้ำมันเมล็ดดอกทานตะวันและเมทานอลโดยใช้อ่อนไชม์ไอลเปสที่ถูกต้องโดยใช้สถิติด้วยวิธีการออกแบบทดลองแบบ Box-Behnken

การออกแบบการทดลองแบบ Box-Behnken ถูกใช้ในการศึกษาหาสภาวะที่เหมาะสมในการผลิตไบโอดีเซลจากน้ำมันเมล็ดดอกทานตะวันและเมทานอลด้วยอ่อนไชม์ไอลเปสที่ถูกต้องโดย พนิช สถาปัตย์ อนุภูมิของปฏิกริยา คือ 30° ซึ่ง อัตราส่วนโดยโน้มเท่านองอลต่อน้ำมันเมล็ดดอกทานตะวัน คือ 6:1 และร้อยละ โดยนำ้น้ำหนักของอ่อนไชม์ไอลเปสที่ถูกต้อง คือ 50 โดยแบบจำลองทางคณิตศาสตร์ให้ค่าปริมาณเมทิลเอสเทอร์ในสารผลิตภัณฑ์ร้อยละ 30.7 ทั้งนี้พบว่าในการทดลองผลิตเมทิลเอสเทอร์ในสภาวะดังกล่าวจะให้ปริมาณเมทิลเอสเทอร์ในช่วงร้อยละ 14.81 ถึง 31.40 ที่ระดับความเชื่อมั่นร้อยละ 98.5

### 4. การศึกษาหาค่าคงที่ทางจลนพลดศาสตร์ของปฏิกริยาทรานส์เอสเทอโรฟิเคนชั่นของน้ำมันเมล็ดดอกทานตะวันและเมทานอลโดยใช้อ่อนไชม์ไอลเปสที่ถูกต้อง

ค่าคงที่ทางจลนพลดศาสตร์ของปฏิกริยาทรานส์เอสเทอโรฟิเคนชั่นของน้ำมันเมล็ดดอกทานตะวันและเมทานอลด้วยอ่อนไชม์ไอลเปสที่ถูกต้องบนเม็ดไกโตไซด์ด้วยวิธีห่อหุ้มถูกศึกษาด้วยวิธีอัตราการเกิดปฏิกริยาเริ่มต้น พนิช สถาปัตย์ ได้รายงานด้วยวิธีห่อหุ้มถูกศึกษาด้วยวิธีอัตราการเกิดปฏิกริยาเริ่มต้น พบว่า ผลการทดลองของค่าอัตราการเกิดปฏิกริยาเริ่มต้นกับความเข้มข้นเริ่มต้นของน้ำมันเมล็ดดอกทานตะวันและเมทานอลสอดคล้องกับกลไกการเร่งปฏิกริยาแบบปิงปอง ไบ ไบ ที่มีเมทานอลเป็นตัวขับขึ้นปฏิกริยา โดยงานวิจัยนี้อาศัยวิธีกราฟและวิธีเชิงตัวเลขด้วยคอมพิวเตอร์ ซึ่งพบว่าวิธีเชิงตัวเลขด้วยคอมพิวเตอร์จะให้ค่าคงที่ที่สอดคล้องกับผลการทดลองมากกว่าวิธีกราฟ และจะได้ค่าคงที่ของปฏิกริยาทรานส์เอสเทอโรฟิเคนชั่นของเมทานอลและน้ำมันเมล็ดดอกทานตะวัน โดยมีอ่อนไชม์ไอลเปสจาก *Pseudomonas fluorescens* ที่ตีร่องบนไกโตไซด์คือ

$$V_{max} = 69.45 \mu\text{mol}\cdot\text{h}^{-1} \quad k_{m,Tri} = 12.81 \text{ mmol} \quad k_{m,MeOH} = 68.36 \text{ mmol} \quad \text{และ } k_{i,MeOH} = 13.84 \text{ mmol}$$

## ข้อเสนอแนะ

1. ในการตรึงเงอนไขซึ่งด้วยวิธีห่อหุ้มอาจไม่เหมาะสมต่อการผลิตใบโอดีเซล เนื่องจาก เออนไซม์ไลเปสจะถูกขังอยู่ในโครงผลึก หรือเมมเบรนของพอลิเมอร์ซึ่งอาจทำให้ไตรกลีเซอไรด์ที่มี ไม่เลกุลขนาดใหญ่ไม่สามารถแพร่เข้าไปในโครงผลึกได้ ดังนั้นอาจเลือกใช้วิธีอื่นๆ เช่นการสร้าง พันธะโควาเลนต์ หรือไออกอนิกเป็นต้น

2. หากต้องการเพิ่มร้อยละของเมทิลเอสเทอร์ในผลิตภัณฑ์ใบโอดีเซลจากน้ำมันเมล็ดคุดอก ทานตะวัน โดยเออนไซม์ไลเปสที่ถูกตรึง ควรศึกษารายละเอียดของปัจจัยทั้งสามที่มีผลต่อการผลิต ได้แก่ อุณหภูมิของปฏิกิริยา ร้อยละ โดยไม่ลดลงเมแทนอลต่อน้ำมันเมล็ดคุดอกทานตะวัน และร้อย ละโดยน้ำหนักของเออนไซม์ไลเปสที่ถูกตรึง ซึ่งร้อยละโดยน้ำหนักของเออนไซม์ไลเปสที่ถูกตรึงอาจ มีความสำคัญสำหรับการออกแบบระบบการผลิตแบบใหม่ต่อเนื่อง แต่หากเป็นการออกแบบระบบ ผลิตแบบต่อเนื่องอาจไม่จำเป็นต้องพิจารณาในปัจจัยร้อยละโดยน้ำหนักของเออนไซม์ไลเปสที่ถูก ตรึงแต่ต้องพิจารณาจากเวลาในการสัมผัสระหว่างสารตั้งต้นกับเออนไซม์ไลเปสที่ถูกตรึงแทน

3. การเติมตัวทำละลายร่วม (นอร์มอล-ເເກເຊນ) และน้ำ จากการทดลองนี้พบว่าสามารถ เพิ่มค่าร้อยละโดยน้ำหนักของเมทิลเอสเทอร์ได้ แต่เนื่องจากปัจจัยทั้งสองมีอิทธิพลต่อร้อยละโดย น้ำหนักของเมทิลเอสเทอร์น้อยกว่าปัจจัยอื่นๆ ดังนั้นหากต้องการเพิ่มปริมาณร้อยละโดยน้ำหนัก ของเมทิลเอสเทอร์ในผลิตภัณฑ์อาจทำการทดลองเบริญเทียบค่าเฉลี่ยของสภาวะที่มีการเติมตัวทำ ละลายร่วม และน้ำ กับสภาวะที่ไม่มีการเติมเพื่อประกอบการตัดสินใจ

4. ค่าคงที่ในสมการอัตราของปฏิกิริยาทรานส์ເອສເທອຣີຟີໂຄ່້ນของน้ำมันเมล็ดคุดอก ทานตะวันและ เมแทนอลสามารถนำไปใช้ในการออกแบบถังปฏิกิรรณ์เคมีสำหรับการผลิตใบโอดีเซลได้โดยอาศัยสมการอัตรา กับสมการสมดุลมวลสารสำหรับการออกแบบถังปฏิกิรรณ์เคมี

## เอกสารและสิ่งอ้างอิง

จงกล สุการัตน์. 2549. การออกแบบการทดลอง. ศูนย์พัฒนาบุคลากรเพื่ออุดสาหกรรมและปีโตรเคมี, ปทุมธานี.

ณกัญญา จินดา. 2547. เอนไซม์ไลเปส 1: แหล่งประโภชน์ระดับอุดสาหกรรม. วารสารวิชาการมหาวิทยาลัยหอการค้าไทย. 24 (3): 21-31.

ดุษฎี รัตนพรະ. 2549. การครึ่งไลප์สจาก *Pseudomonas fluorescens* เพื่อผลิตไบโอดีเซลจากน้ำมันเมล็ดดอกทานตะวัน. วิทยานิพนธ์ปริญญาโท, มหาวิทยาลัยเกษตรศาสตร์.

ประวัติ สรวัฒนาวรรณ. ไคติน-ไคโตซาน. <http://www.gpo.or.th/rdi/html/chitin.html>, 5 กุมภาพันธ์ 2548.

ประไพรี สุทธันณ อยุธยา และ พงษ์ชนัน เหลืองไพบูลย์. 2551. การออกแบบและวิเคราะห์การทดลอง. สำนักพิมพ์หอป, กรุงเทพฯ.

ปราณี อ่านเปรื่อง. 2535. เอนไซม์ทางอาหาร ตอนที่ 1. ครั้งที่ 2. โรงพิมพ์จุฬาลงกรณ์มหาวิทยาลัย, กรุงเทพฯ.

วิจิตรา พลายย์ม. 2543. การวางแผนการทดลอง เล่ม 1. ภาควิชาสถิติประยุกต์และศูนย์ผลิตตำราเรียนสถาบันเทคโนโลยีพระจอมเกล้าพระนครเหนือ, กรุงเทพฯ.

พิสมัย เจนวนิชปัญจกุล. 2544. ไบโอดีเซล: พลังงานทางเลือก. แหล่งที่มา:  
[http://www.tistr.or.th/publication/page\\_area\\_show\\_bc.asp?il=90&i2=10000](http://www.tistr.or.th/publication/page_area_show_bc.asp?il=90&i2=10000), 25 มีนาคม 2552.

สายชล ลินสมบูรณ์ทอง. 2551. สถิติวิศวกรรม. ครั้งที่ 3. จามจุรีโปรดักท์, กรุงเทพฯ.

สุนี รักษาเกียรติศักดิ์. 2547. การใช้โปรแกรม SPSS และ Epi Info สำหรับวิเคราะห์ข้อมูลทางสถิติ.  
ภาควิชาคณิตศาสตร์ มหาวิทยาลัยครินทร์วิโรฒ, กรุงเทพฯ

อาภัสสรา ชมิดท์. 2537. เทคนิคที่สำคัญทางชีวเคมี. หน้า 32-56. โรงพิมพ์สมมิตรพรินติ้ง,  
กรุงเทพฯ.

AOCS, Official Method Ce 1-62. 1990. Fatty acid composition by gas chromatography, sampling  
and analysis of commercial fats and oils. 1-4

Balaraman, M. and D. Soundar. 2004. Applications of surface plots and statistical designs to  
selected lipase catalysed esterification reactions. **J. Process Biochemistry.** 847-853.

Barker, R.D and C.K. Leach. 1993. **Technological applications of biocatalysts.**  
Butterworth-Heinemann Ltd., London, England.

Box, G.E., W.G. Hunter and J.S Hunter. 1993. **Statistics for Experimenters.** John Wiley &  
Sons, Inc. New York, U.S.A.

Chiang, W.D., S.W. Chang and C.J. Shieh. 2003. Studies on the optimized lipase-catalyzed  
biosynthesis of *cis*-3-hexen-1-yl acetate in *n*-hexane. **Process Biochemistry.** 38: 1193-  
1199

Chiou, S.H. and W.T. Wu. 2004. Immobilization of *Candida rugosa* lipase on chitosan with  
activation of the hydroxyl groups. **Biomaterials.** 25: 197-204.

Cochran, W.G. and G.M. Cox. 1997. **Experimental Design**, 2<sup>nd</sup> ed., John Wiley & Sons,  
Inc. New York, U.S.A.

Combes D.V. and A. Marty. 2002. Lipase-catalyzed transesterification of high oleic sunflower oil. **Enzyme Microb Technol.** 30: 90-94.

Doran M.P. 1995. **Bioprocess Engineering Principles.** Academic Press. London. England.

Freeman, B. and E.H. Pryde. 1983. Fatty ester from vegetable oil for use as diesel Fuel. vegetable oil Fuel Proceeding of the International reference on plant and vegetable oil and Fuel. **Amer.Soc.Arg.Eng.** 117-122.

Fukuda, H., A. Kondo and H. Noda. 2001. Biodiesel fuel production by transesterification of Oils. **J. Biosci. Bioeng.** 92: 405-416.

Gao, Y., T. Tianwei, N. Kaili and W. Fang. 2006. Immobilization of lipase on macroporous resin and its application in synthesis of biodiesel in low aqueous media. **Chinese J. of Biotech.** 22(1): 114-118

Hari, S. K., and N. G. Karanth. 2001. Lipase-catalyzed synthesis of isoamyl butyrate a kinetic study. **Biochemica et biophysica.** 1547: 262-267

Hari, S. K., A. P. Sattur and N. G. Karanth. 2001. Lipase-catalyzed synthesis of isoamyl isobutyrate- optimization using a central composite rotatable design. **Process Biochemistry.** 37: 9-16.

<http://osp.mans.edu.eg>, 25 มีนาคม 2552.

<http://employees.csbsju.edu>, 25 มีนาคม 2552.

Juang, R.S., F.C. Wu and R. Tseng. 2001. Solute adsorption and enzyme immobilization on chitosan beads prepared from shrimp shell wastes. **Biores Technol.** 80: 187-193.

Khan, A.K. 2002. Research into Biodiesel Kinetics & Catalyst Development. Available Source:  
[http://www.cheque.uq.edu.au/ugrad/chee4001/CHEE400102/Adam\\_Khan\\_Thesis.pdf](http://www.cheque.uq.edu.au/ugrad/chee4001/CHEE400102/Adam_Khan_Thesis.pdf).  
March 26, 2005.

Kasipar, K., J. Chutmanop and P. Srinophakun. 2007. Kinetic modeling of immobilized lipase catalysed transesterification reactions of sunflower oil and methanol for biodiesel production. **SWU Engineering J.** 2:63-69.

Lee, J.M. 1992. Biochemical Engineering. **Prentice Hall**. New Jersey. U.S.A.

Ma, F. and M.A. Hanna. 1999. Biodiesel production: a review. **Biores Technol.** 70: 1-15.

Macrae, A.R. 1983. Lipase-catalyzed interesterification of oils and fats. **JAOCS.** 60: 291-294.

Marangoni A. G. 2003. Enzyme kinetics a modern approach, **John Wiley & Sons**,  
New York, U.S.A.

Montgomery D. C.1997, **Design and analysis of experiments**, 4<sup>th</sup>ed.,John Wiley & Sons Inc. New York, U.S.A.

Myers, R. H. 1979. **Response Surface Methodology**. Allyn and Bacon,eds. Boston,U.S.A.

Nagesha, G. K., B. Manohar and K. U. Sankar. 2004. Enzymatic esterification of free fatty acids of hydrolyzed soy deodorizer distillate in supercritical carbon dioxide. **J. of Supercritical Fluids.** 34:75-81.

Nie, K., X. Feng, W. Fang and T. Tianwei. 2006. Lipase catalyzed methanolysis to produce biodiesel optimization of the biodiesel production. **J. of Molec. Catal B:Enz.** 43: 142-147.

Pereira, E.B., G.M. Zanin and H.F. Castro. 2003. Immobilization and catalytic properties of lipase on chitosan for hydrolysis and esterification reactions. **Braz. J. Chem. Eng.** 20:112-118.

Shieh, C. J., H. F. Liao and C. C. Lee. 2003. Optimization of lipase-catalyzed biodiesel by response surface methodology. **Biores Technol.** 88:103-106.

Srivastava, A. and R. Prasad. 2000. Triglycerides-based diesel fuels. Renewable and Sustainable. **Energy Reviews.** 4: 111-133.

Varese, R. and M. Varese. 1996. Methyl ester biodiesel: opportunity or necessity. **J. American Oil Chem. Soci.** 7: 816-824.

Winkler, U.K. and M. J. Struckmann. 1979. Glycogen, Hyaluronate, and some other polysaccharides greatly enhance the formation of exolipase by *Serratia marcescens*. **J. Bacterial.** 138: 663-670.

Yamane, K., A. Ueta and Y. Shimamoto. 2001. Influence of physical and chemical properties of biodiesel fuel on injection, combustion and exhaust emission characteristic in a DI-Cl engine. **Symposium on Diagnostic and Modeling of Combustion in Internal Combustion Engine.** Nagoya. 402-409.

Yuanyuan, X., D.Wei and L. Dehua. 2005. Study on the kinetics of enzymatic interesterification of triglycerides for biodiesel production with methyl acetate as the acyl acceptor. **J. of Molec. Catal B:Enz.** 32: 241-245

ภาคผนวก

### ภาคผนวก ก

การหาความเข้มข้นของพารา-ไนโตรฟีโนล และ ค่ากิจกรรมของเอนไซม์ไลเปส

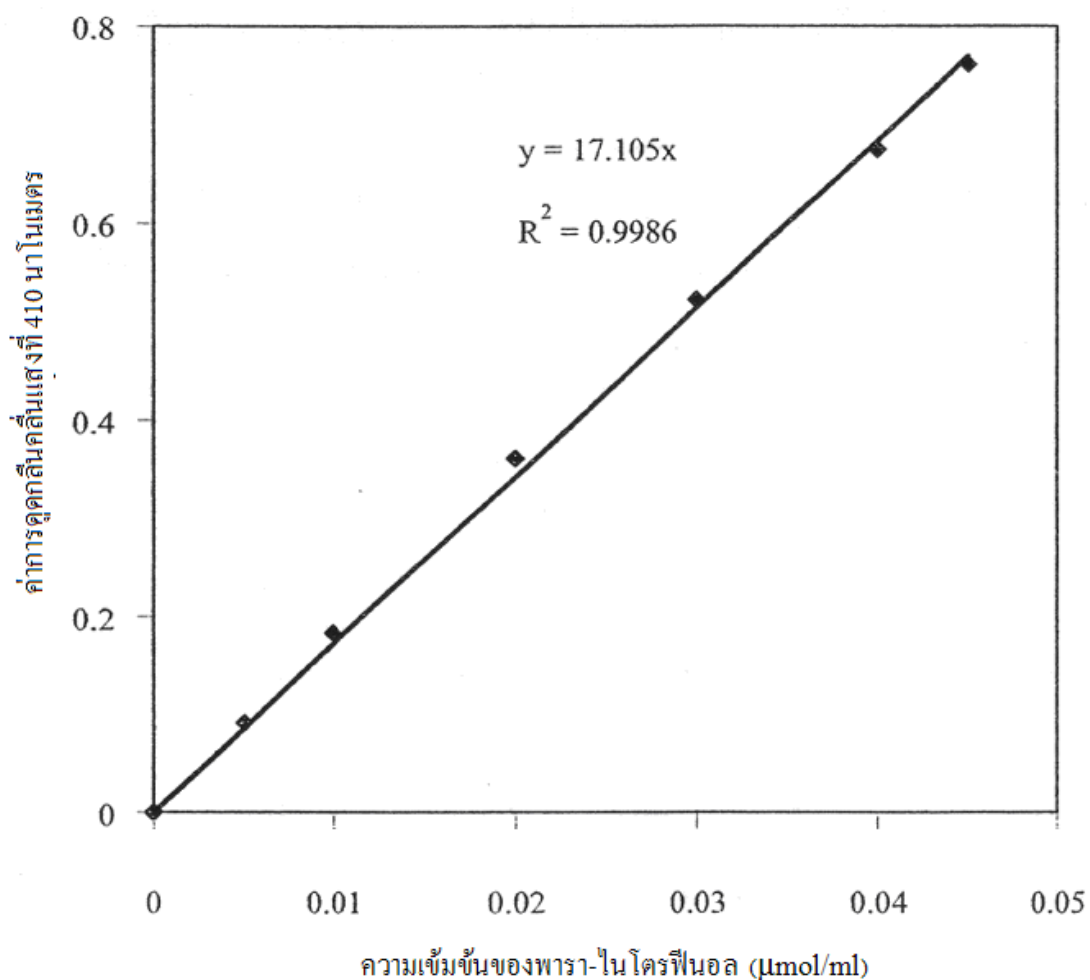
### ภาคผนวก ก 1 การหาค่าความเข้มข้นของพารา-ไนโตรฟีโนล

พารา-ไนโตรฟีโนล (*p*-NP) คือสารผลิตภัณฑ์ที่ได้จากปฏิกิริยาระหว่าง พารา-ไนโตรฟีนิล ปาล์มิเตด (*p*-NPP) กับ 2-โพรพานอล ซึ่งกราฟมาตรฐานของความเข้มข้นของสารพารา-ไนโตรฟีโนลสามารถทำได้โดยเตรียมพารา-ไนโตรฟีโนลความเข้มข้น 0.25 ไมโครโมลต่อ มิลลิลิตร โดยทำละลายในสารละลายฟอสเฟตบัฟเฟอร์ พีเอช 8 โดยให้มีความเข้มข้นสุดท้าย ระหว่าง 0 – 0.045 ไมโครโมลต่อ มิลลิลิตร และปรับปริมาตรให้มีปริมาตรสุดท้ายเป็น 5 มิลลิลิตร แล้วทำการวัดค่าการดูดกลืนคลื่นแสงที่ 410 นาโนเมตร

**ตารางผนวกที่ ก1 วิธีการเตรียมสารละลายพารา-ไนโตรฟีโนล (*p*-NP) สำหรับการสร้างกราฟมาตรฐานสารพารา-ไนโตรฟีโนลสำหรับหาค่ากิจกรรมของเอนไซม์ไลเปส**

เลขที่	<i>p</i> NP ( $\mu\text{mol/ml}$ )	สารละลายฟอสเฟต	
		บัฟเฟอร์ พีเอช 8 (ml)	<i>p</i> -NP (0.25 $\mu\text{mol/ml}$ ) (ml)
1	0.000	5	0
2	0.005	4.9	0.1
3	0.010	4.8	0.2
4	0.020	4.6	0.4
5	0.030	4.4	0.6
6	0.040	4.2	0.8
7	0.045	4.1	0.9

โดยกราฟมาตรฐานที่ใช้ในการทดลองนี้แสดงได้ในภาคผนวกที่ ก1 ดังนี้



ภาพผนวกที่ ก1 กราฟมาตรฐานสำหรับหาค่าความเข้มข้นของพารา-ไนโตรฟีนอล

## ภาคผนวก ก 2 ตัวอย่างการคำนวณหาค่ากิจกรรมของเอนไซม์ไอลเปสอิสระ

ความเข้มข้นของพารา-ไนโตรฟีนอลที่ได้จากปฏิกิริยาทรานส์เอสเทอเรชันของพารา-ฟินิลปาล์มมิเตดกับ 2-โพรพานอลด้วยเอนไซม์ไอลเปสอิสระสามารถหาได้จากการสมการ

$$\text{ค่ากิจกรรมของเอนไซม์ไอลเปสอิสระ} = \frac{A_{410}}{\text{Slope}} \times \frac{5}{0.1} \times \frac{1.99}{0.01} \times \frac{1}{15} \times \frac{10}{0.05}$$

เมื่อ	$A_{410}$	=	ค่าการดูดกลืนแสงที่ 410 นาโนเมตร
	$\text{Slope}$	=	ความชันของกราฟมาตรฐานพารา-ไนโตรฟีนอล
	ปริมาตรรวมของสาร	=	$2.9+2+0.1 = 5$ มิลลิลิตร
	ปริมาตรของสารละลายเอนไซม์ที่ใช้	=	0.1 มิลลิลิตร
	อัตราการเจือจางของสารตั้งต้น	=	$1.99/0.01$
	เวลาในการทำปฏิกิริยา	=	15 นาที
	ปริมาตรของสารละลายเอนไซม์เริ่มต้น	=	10 มิลลิลิตร
	น้ำหนักของเอนไซม์ไอลเปส	=	0.05 กรัม

$$\text{ค่าเฉลี่ยการดูดกลืนแสงของสารผลิตภัณฑ์ที่ได้จากเอนไซม์อิสระ} = 0.284$$

$$\begin{aligned} \text{ค่ากิจกรรมของเอนไซม์ไอลเปสอิสระ} &= \frac{0.284}{17.105} \times \frac{5}{0.1} \times \frac{1.99}{0.01} \times \frac{1}{15} \times \frac{10}{0.05} \\ &= 2,202.7 \text{ หน่วย} \end{aligned}$$

### ภาคผนวก ก 3 ตัวอย่างการคำนวณหาค่ากิจกรรมของเอนไซม์ไอลเปสที่ถูกต้อง

ความเข้มข้นของพารา-ไนโตรฟีนอลที่ได้จากปฏิกิริยาทรานส์เอสเตอเรชีนของพารา-ฟีนิลปัล์มมิเตดกับ 2-โพรพานอลด้วยเอนไซม์ไอลเปสที่ถูกต้องสามารถหาได้จากสมการ

$$\text{ค่ากิจกรรมของเอนไซม์ไอลเปสที่ถูกต้อง} = \frac{A_{410}}{\text{Slope}} \times \frac{10}{0.1} \times 20 \times \frac{1}{15} \times \frac{1}{wt}$$

เมื่อ	$A_{410}$	=	ค่าการดูดกลืนคลื่นแสงที่ 410 นาโนเมตร
	$Slope$	=	ความชันของกราฟมาตรฐานพารา-ไนโตรฟีนอล
	ปริมาตรรวมของสาร	=	2+2+3+13 = 20 มิลลิลิตร
	อัตราการเจือจางของสารตั้งต้น	=	0.1/10
	เวลาในการทำปฏิกิริยา	=	15 นาที
	น้ำหนักของเอนไซม์ไอลเปสที่ถูกต้อง	=	0.01 กรัม

การออกแบบการทดลองแบบ Two-way ANOVA ถูกใช้ในการศึกษาค่ากิจกรรมของเอนไซม์ไอลเปสที่ถูกต้อง ซึ่งค่าการดูดกลืนคลื่นแสงที่ความยาวคลื่น 410 นาโนเมตร เพื่อหาค่าความเข้มข้นของพารา-ไนโตรฟีนอล โดยมีผลการทดลองดังนี้

ตารางผนวกที่ ก2 ค่าดูดกลืนแสงที่ความยาวคลื่น 410 นาโนเมตรในการหาค่าความเข้มข้นของพารา-ไนโตรฟีนอลเพื่อหาค่ากิจกรรมของเอนไซม์ไอลเปสที่ถูกต้อง

สารละลายกรดอะซิติก	อัตราส่วนโดยน้ำหนักของเอนไซม์ไอลเปสกับสารละลายน้ำ								
	1:100			1:150			1:200		
1%v/v	0.30	0.33	0.36	0.48	0.49	0.52	0.46	0.47	0.48
1.5%v/v	0.47	0.49	0.50	0.49	0.51	0.53	0.49	0.51	0.52
2%v/v	0.41	0.44	0.46	0.43	0.46	0.50	0.38	0.41	0.45

ตัวอย่าง การคำนวณค่ากิจกรรมของเอนไซม์ไลเปสที่ถูกตรึงที่ 1%v/v และ 1:100 ซึ่งให้ค่าการดูดกลืนแสงที่ 410 นาโนเมตรเป็น 0.30

$$\text{ค่ากิจกรรมของเอนไซม์ไลเปสที่ถูกตรึง} = \frac{0.30}{17.105} \times \frac{10}{0.1} \times 20 \times \frac{1}{15} \times \frac{1}{0.01}$$

$$= 233.84 \text{ หน่วย}$$

### ภาคผนวก ๔

การวิเคราะห์ข้อมูลจากการออกแบบการทดลองแบบ Two-way ANOVA

## ภาคผนวก ๖ การวิเคราะห์ข้อมูลจากการออกแบบการทดลองแบบ Two-way ANOVA

การออกแบบการทดลองแบบ Two-way ANOVA ถูกใช้ศึกษาหาสภาวะที่เหมาะสมในการตั้งเงื่อนไขเพื่อเปลี่ยนเม็ดไก่โടชานด้วยวิธีห่อหุ้ม ซึ่งวิธีดังกล่าวมีการทดสอบค่าเฉลี่ยของค่ากิจกรรมของเงื่อนไขเพื่อเปลี่ยนที่ถูกตั้ง โดยมีสมมติฐานที่ต้องทำการทดสอบดังนี้ (วิจิตร, 2543)

$$H_0 : \mu_1 = \mu_2 = \mu_3 = \dots = \mu_k$$

$$H_1 : \mu_i \neq \mu_j \text{ อย่างน้อย } 1 \text{ คู่} \text{ ของ } \mu_i \text{ และ } \mu_j$$

ในการออกแบบการทดลองแบบ Two-way ANOVA จะมีความแปรปรวนจากแหล่งต่างๆ ดังสมการ

$$SS(T) = SS(Tr) + SS(B) + SS(E)$$

ทั้งนี้การหาค่าทางสถิติดังกล่าวสามารถคำนวณได้จากค่า Sum of Square, Mean Square และ F-value ดังนี้

$$MS(Tr) = \frac{SS(Tr)}{k-1}$$

$$MS(B) = \frac{SS(B)}{n-1}$$

$$MS(E) = \frac{SS(E)}{N - (n-1) - (k-1)}$$

$$F_{Tr} = \frac{MS(Tr)}{MS(E)}$$

$$F_B = \frac{MS(B)}{MS(E)}$$

ทั้งนี้ตารางผนวกที่ ๖ แสดงวิธีการหาค่าสถิติสำหรับการออกแบบการทดลองแบบ Two-way ANOVA

ตารางผนวกที่ ช1 วิธีการหาค่าสถิติสำหรับการทดสอบความแปรปรวนสำหรับการออกแบบ  
การทดสอบแบบ Two-way ANOVA

Source of Variance	Degree of Freedom	Sum of Square	Mean Square (Variance)	F
Treatment	k-1	SS (Tr)	MS(Tr) = SS(Tr)/k-1	MS(tr) / MSE
Block	n-1	SS (B)	MS(B) = SS(B)/n-1	MS(B) / MSE
Error	(n-1)(k-1)	SS (E)	MSE = SS(E)/(n-1)(k-1)	
Total	N-1	SS (T)		

โดยการคำนวณค่าต่างๆแสดงได้ดังนี้

$$\sum y_{ij}^2 = 230^2 + 260^2 + 280^2 + 374^2 + 382^2 + \dots + 359.6^2 + 374^2 = 3,460,548$$

$$\sum T_{..}^2 = 921^2 + 980^2 + 1034^2 + \dots + 1079^2 + 1123^2 = 10,279,632$$

$$T_{..}^2 = 9592^2 = 92,006,464$$

$$ss(T) = \sum y_{ij}^2 - \frac{T_{..}^2}{N} = 3,460,548 - \frac{92,006,464}{27} = 52,901.2$$

$$ss(Tr) = \frac{1}{b} \sum T_{..}^2 - \frac{T_{..}^2}{N} = \frac{(921^2 + 980^2 + \dots + 1123^2)}{3} - \frac{92,006,464}{27} = 18,897.2$$

$$ss(B) = \frac{1}{a} \sum T_{j..}^2 - \frac{T_{..}^2}{N} = \frac{(3017^2 + 3503^2 + 3072^2)}{9} - \frac{92,006,464}{27} = 15,740$$

$$\begin{aligned}
 SS(E) &= SS(T) - SS(Tr) - SS(B) \\
 &= 52,901.2 - 18,897.2 - 15,740 = 18,264 \\
 MStr &= \frac{SS(Tr)}{DF} = \frac{18,897}{2} = 9,448.5 \\
 MSB &= \frac{SS(B)}{DF} = \frac{15,740}{2} = 7,870 \\
 MSE &= \frac{SS(E)}{DF} = \frac{18,264}{22} = 830.2 \\
 F_{Tr} &= \frac{MStr}{MSE} = \frac{9,448.5}{830.2} = 11.38 \\
 F_B &= \frac{MSB}{MSE} = \frac{7,870}{830.2} = 9.48
 \end{aligned}$$

จากตารางค่าสถิติ F ซึ่ง  $F_{(0.01,2,22)} = 5.72$  และค่า  $F_{Tr} = 11.38 > F_{(0.01,2,22)}$  และ  $F_B = 9.48 > F_{(0.01,2,22)}$  ด้วยเหตุนี้จึงแสดงให้เห็นว่าสามารถปฏิเสธสมมติฐานหลักได้ นั่นคือที่ระดับความแตกต่างของทรีตเมนต์ (วิธีการเตรียมสารละลายน้ำยา漂白剂) และบล็อก (อัตราส่วนโดยนำหนักของเอนไซม์ไลเปสต์ต่อสารละลายน้ำยา漂白剂) ทำให้เกิดความแตกต่างระหว่างค่าเฉลี่ยของกิจกรรมของเอนไซม์ไลเปส

**ภาคผนวก ๔**  
**การหาปริมาณเมทิลเอสเทอร์ของกรดไขมัน**

### ภาคผนวก ค1 การหาปริมาณเมทิลเอสเทอร์ของกรดไขมัน

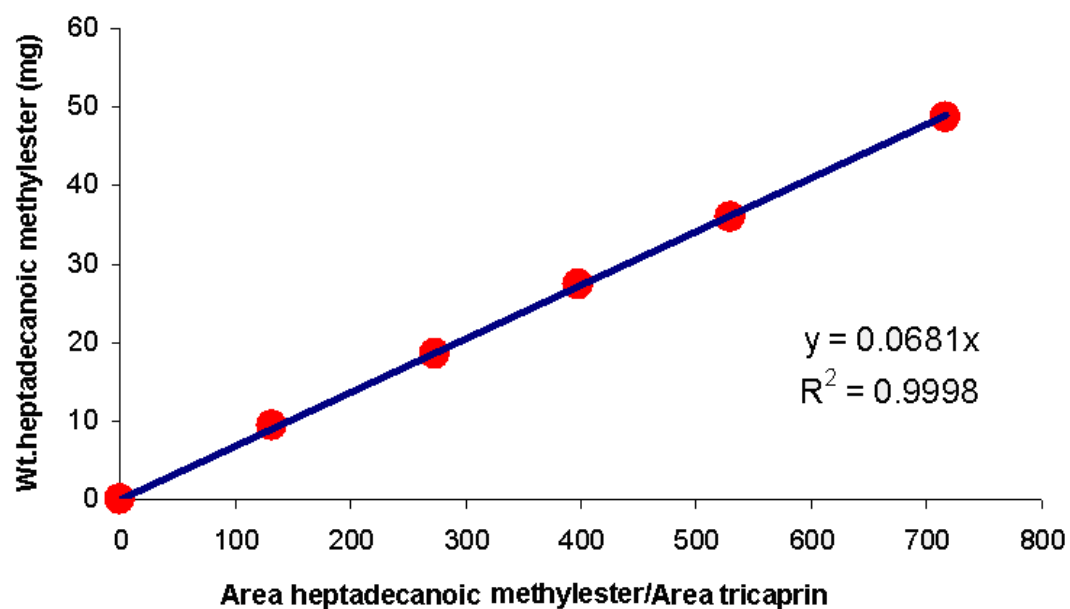
เนื่องจากเมทิลเอสเทอร์ของกรดไขมันมีหลายชนิดขึ้นอยู่กับชนิดของน้ำมันที่ผลิตได้ ด้วยเหตุดังกล่าว วิธีมาตรฐาน EN14105:2003 จึงกำหนดให้การหาปริมาณ Fatty Acid Methyl Ester จะหาอยู่ในรูปของปริมาณของเชปตະเดคาโนอิคเมทิลเอสเทอร์ (Heptadecanoic Methyl Ester, C17:0) เนื่องจากสารดังกล่าวเป็นสารสังเคราะห์ที่ไม่พบในแหล่งน้ำมันธรรมชาติ โดยการเตรียมสารมาตรฐานของเชปตະเดคาโนอิคเมทิลเอสเทอร์ ทำได้โดยละลายเชปตະเดคาโนอิคเมทิลเอสเทอร์ประมาณ 100 มิลลิกรัมใน 1 มิลลิตรของ นอร์มอล-เชปเทนจากนั้นจึงเจือจางด้วย นอร์มอล-เชปเทนจนมีความเข้มข้นระหว่าง 0 – 50 มิลลิกรัมต่อมิลลิลิตร ซึ่งข้อมูลในการเตรียมกราฟมาตรฐานของเชปตະเดคาโนอิคเมทิลเอสเทอร์ เป็นดังตารางผนวกที่ ค1

#### ตารางผนวกที่ ค1 วิธีการเตรียมสารมาตรฐานของเชปตະเดคาโนอิคเมทิลเอสเทอร์

No.	C17:0 standard	n-Heptane (mg)	C17:0 (mg/ml)
	(ml)		
1	0	1	0
2	0.1	0.9	9.72
3	0.2	0.8	19.44
4	0.3	0.7	29.16
5	0.4	0.6	38.90
6	0.5	0.5	48.60

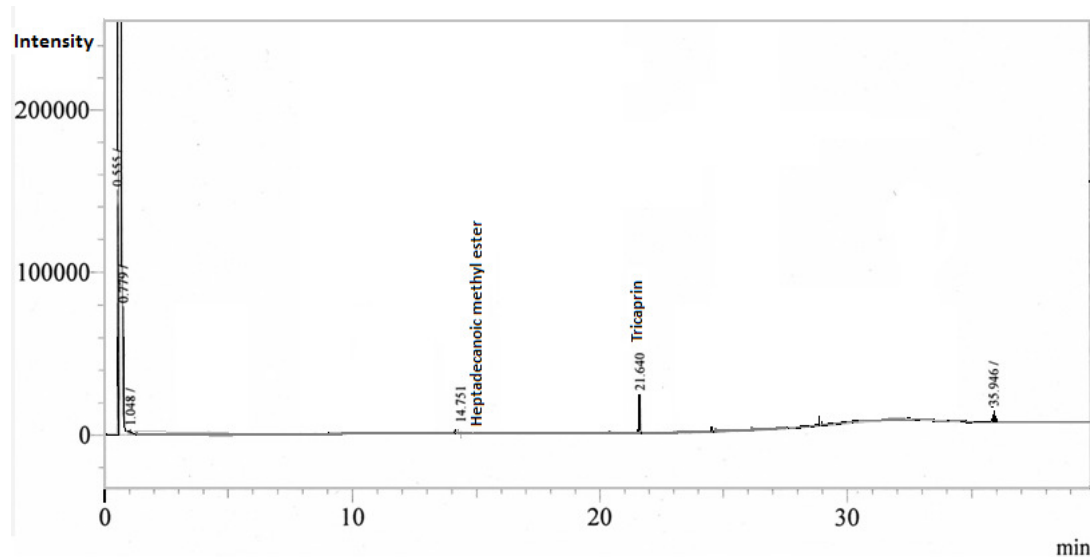
ตารางผนวกที่ ค2 ข้อมูลพื้นที่ได้กราฟของสารต่างๆในการสร้างกราฟมาตรฐานเมทิลเอสเทอร์

เลข ที่	น้ำหนัก		พื้นที่ได้กราฟ C17:0	พื้นที่ได้กราฟ Tricaprin	พื้นที่ C17:0/ พื้นที่ Tricaprin
	C17:0 (mg)	น้ำหนักของ Tricaprin (mg)			
1	0	0.8	0	0	0
2	9.72	0.8	906243.2	6816.6	132.95
3	19.44	0.8	1823837	6679.9	273.03
4	29.16	0.8	2715945	6823.1	398.051
5	38.9	0.8	3521755	6649.3	529.64
6	48.6	0.8	4767415	6651.1	716.786

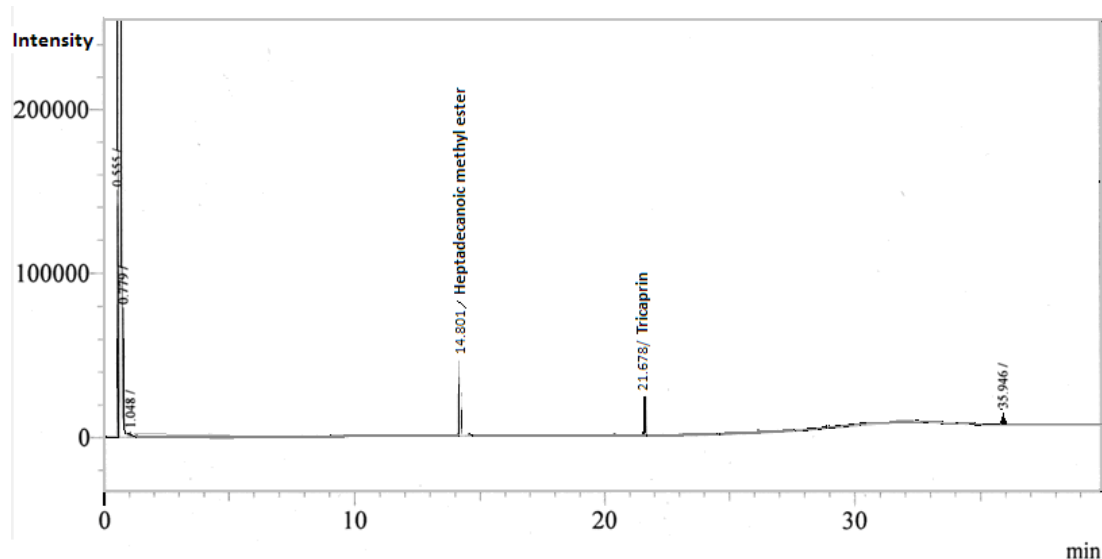


ภาพผนวกที่ ค1 กราฟมาตรฐานเชปตะเดคาโนนอิกเมทิลเอสเทอร์

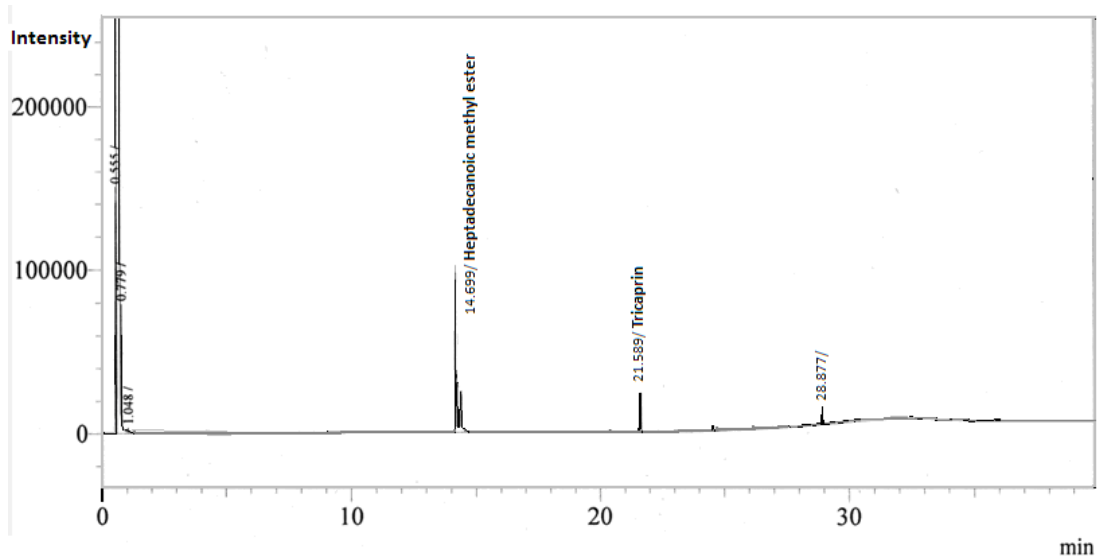
โกรมาโทแกรมของแต่ละความเข้มข้นของเชปตะเดคาโนนอิคเมทิลเอสเทอร์ที่ใช้ในการสร้างกราฟมาตรฐานของเมทิลเอสเทอร์เป็นดังนี้



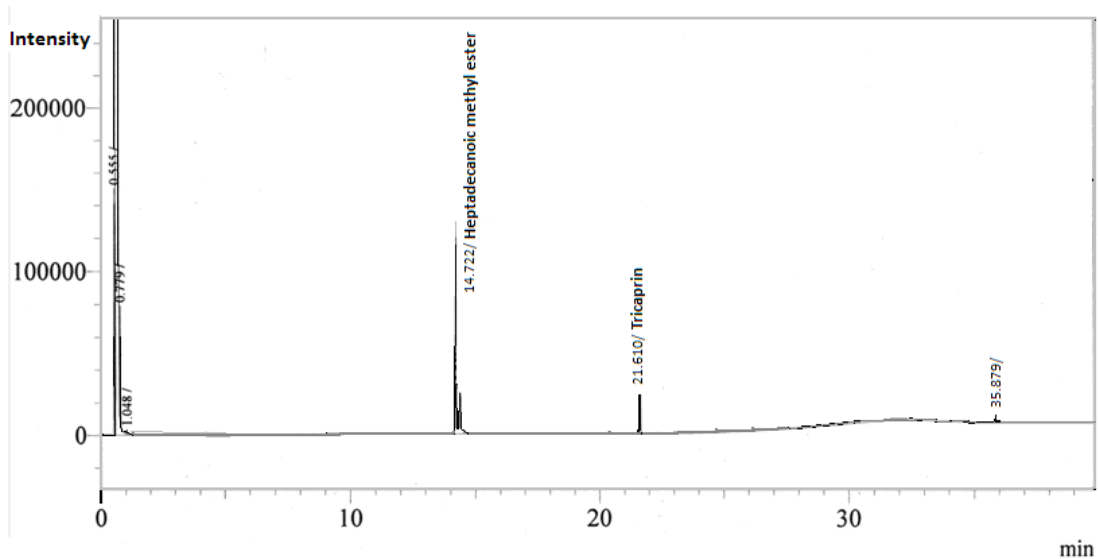
ภาพพนักที่ ค2 โกรมาโทแกรมที่นำหนักของเชปตะเดคาโนนอิคเมทิลเอสเทอร์ 0 มิลลิกรัม



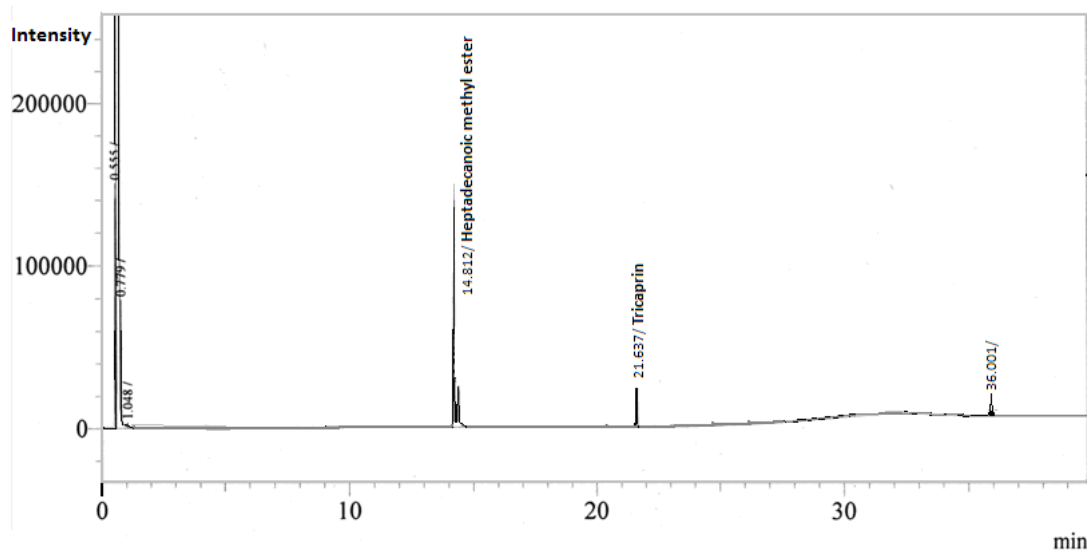
ภาพพนักที่ ค3 โกรมาโทแกรมที่นำหนักของเชปตะเดคาโนนอิคเมทิลเอสเทอร์ 9.72 มิลลิกรัม



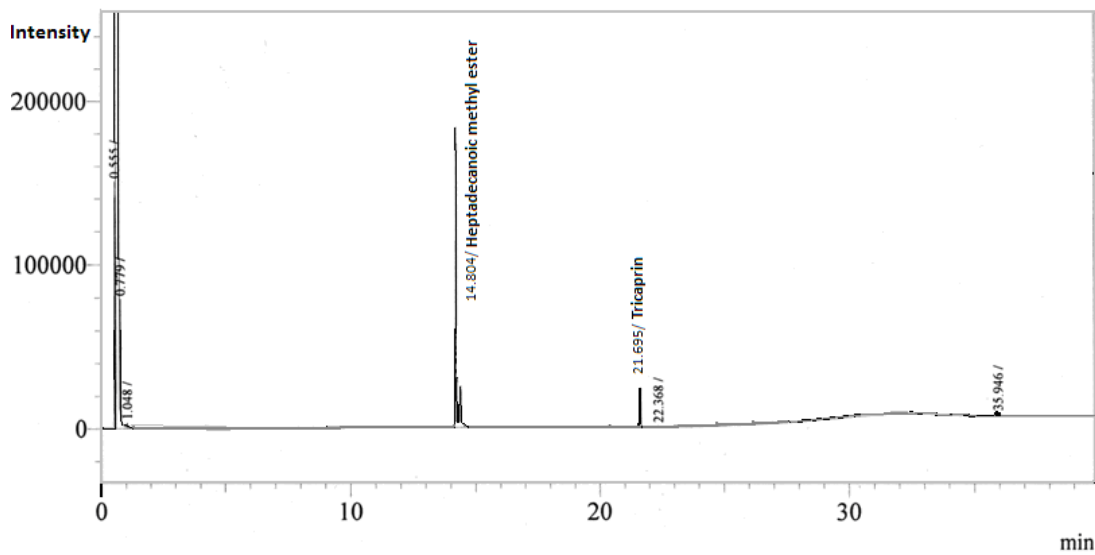
ภาพผนวกที่ ค4 โปรแกรมติดตามที่นำหนักของเชปตະเดคาโนอิคเมทิลเอสเทอร์ 19.44 มิลลิกรัม



ภาพผนวกที่ ค5 โปรแกรมติดตามที่นำหนักของเชปตະเดคาโนอิคเมทิลเอสเทอร์ 29.16 มิลลิกรัม



ภาพผนวกที่ ค6 โปรแกรมトイแกรมที่นำหนักของเชปตະเดคาโนอิคเมทิลเอสเทอร์ 38.90 มิลลิกรัม



ภาพผนวกที่ ค7 โปรแกรมトイแกรมที่นำหนักของเชปตະเดคาโนอิคเมทิลเอสเทอร์ 48.60 มิลลิกรัม

## ภาคผนวก ค2 การหาปริมาณเมทิลเอสเทอร์ของกรดไขมันในไบโอดีเซลตัวอย่าง

เมทิลเอสเทอร์ของกรดไขมันในไบโอดีเซลตัวอย่างวิเคราะห์ได้จากวิธีมาตรฐาน EN14105:2003 ตัวอย่าง โครงการโต้แกรมและวิธีการคำนวณหาปริมาณเมทิลเอสเทอร์ในสารตัวอย่าง ไบโอดีเซลที่สภาวะอุณหภูมิของปฏิกิริยาคือ 30° ซ อัตราส่วนโดยไมลของเมทานอลต่อน้ำมันเมล็ด ดอกทานตะวันเป็น 6:1 และร้อยละโดยน้ำหนักของเอนไซม์ไลเปสที่ถูกตรึงเป็นร้อยละ 30 จะได้ โครงการโต้แกรมเป็นดังภาพผนวกที่ ค7

$$\text{น้ำหนักของไบโอดีเซลตัวอย่าง} = 49.28 \text{ mg}$$

$$\text{พื้นที่ได้กราฟเมทิลเอสเทอร์} = 1,208,802$$

$$\text{พื้นที่ได้กราฟไตรแคป্রิน} = 6,169$$

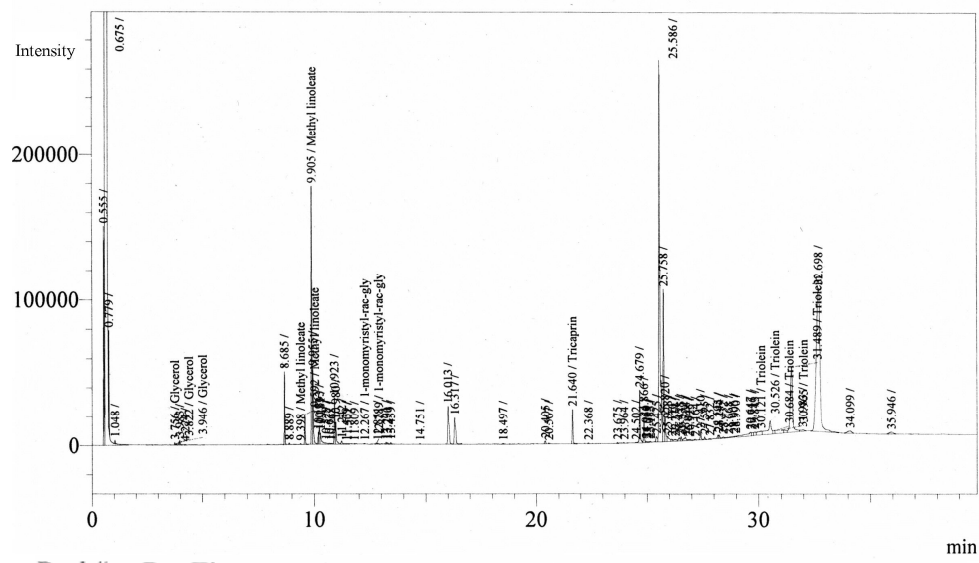
$$\text{พื้นที่ได้กราฟเมทิลเอสเทอร์/ไตรแคป্রิน} = 195.95$$

น้ำหนักของเมทิลเอสเทอร์ในสารตัวอย่าง

$$\begin{aligned} W_{FAME} &= 0.0681 \times \left( \frac{1208802}{6169} \right) + 0 \\ &= 13.34 \text{ mg} \end{aligned}$$

ร้อยละโดยน้ำหนักของเมทิลเอสเทอร์ในสารตัวอย่าง (*FAME*)

$$\begin{aligned} FAME &= \frac{13.34}{49.28} \times 100 \\ &= 27.07 \end{aligned}$$



Peak#	Ret.Time	Area	Height	Unit	Mark	ID#	Cmpd Name
1	0.555	280778	224448				
2	0.679	729216917	85257466		SV		
3	0.763	184926	170287		T		
4	1.038	1609	589		T		
5	3.924	6769	3758				1 Glycerol
6	7.466	1318	653				
7	8.186	2096	1090				
8	8.234	1469	745	V			
9	8.426	70645	42658	V			
10	9.080	1030	363				
11	9.255	57074	30481	V			
12	9.530	554847	130897				2 Methyl linoleate
13	9.580	76716	38830	V			2 Methyl linoleate
14	9.795	14399	6109				2 Methyl linoleate
15	10.483	229086	104082				
16	10.533	72264	32635	V			
17	10.781	13482	6062				
18	14.101	1850	704				
19	15.308	19731	4901				
20	15.609	91777	22463				
21	17.722	1018	350				
22	18.450	2504	963				
23	19.619	4550	1621				
24	20.872	6169	25652				4 Tricaprin
25	22.838	1083	448				
26	23.119	1667	679	V			
27	23.806	69913	28341				
28	23.987	73632	28420	V			
29	24.076	1100	609				
30	24.499	1748	604				
31	24.662	570146	207731	V			

ภาพพนักที่ ค8 โปรแกรมติดตามของไบโอดีเซลตัวอย่าง  $T = 30^\circ\text{C}$   $MO = 1:6$   $IM = 30$

#### ภาคผนวก ๔

การวิเคราะห์การถดถอยสำหรับการออกแบบการทดลองแบบ Plankett-Burman  
และการออกแบบการทดลองพื้นผิวผลตอบสนองแบบ Box-Behnken

ภาคผนวก ง1 การวิเคราะห์การผลด้วยสำหรับการออกแบบการทดลองแบบ Plankett-Burman

การออกแบบการทดลองถูกใช้ในการศึกษาปัจจัยที่มีอิทธิพลต่อการผลิตใบโอลีเชลจากน้ำมันเมล็ดดอกทานตะวันและเมทานอลด้วยเอนไซม์ไลเปสที่ถูกปรับเปลี่ยนเม็ดไครโตกานด้วยวิธีห่อหุ้ม ทั้งนี้รูปแบบสมการผลด้วยของการออกแบบการทดลองแบบ Plankett-Burman เป็นดังนี้ (Cochran and Cox, 1997)

$$Y = \beta_0 + \sum \beta_i x_i + \sum \beta_{ij} x_i x_j + \varepsilon$$

จากข้อมูลการทดลองตามวิธีการออกแบบการทดลองแบบ Plankett-Burman ดังนี้

ตารางผนวกที่ ง1 ผลการทดลองจากการออกแบบการทดลองแบบ Plankett-Burman

No.	$\xi_1$	$\xi_2$	$\xi_3$	$\xi_4$	$\xi_5$	FAME
1	50	6.0 : 1	50	0	0	12.38
2	50	1.5 : 1	50	10	0	1.20
3	30	1.5 : 1	10	0	0	10.16
4	30	6.0 : 1	50	10	6	25.51
5	50	6.0 : 1	10	0	6	1.10
6	30	1.5 : 1	50	0	6	12.30
7	30	6.0 : 1	10	10	0	13.22
8	50	1.5 : 1	10	10	6	2.50

เมื่อ  $\xi_1$  = อุณหภูมิ (°ช),  $\xi_2$  = อัตราส่วนโดยไมลของเมทานอลต่อน้ำมันเมล็ดดอกทานตะวัน,  $\xi_3$  = ร้อยละโดยน้ำหนักของเอนไซม์ไลเปสที่ถูกปรับเปลี่ยน,  $\xi_4$  = ร้อยละโดยน้ำหนักของตัวทำละลายร่วม,  $\xi_5$  = ร้อยละโดยน้ำหนักของน้ำ

FAME = ร้อยละโดยน้ำหนักของเมทิลเออสเทอร์ในสารตัวอย่างผลิตภัณฑ์

สมการเมตริกซ์ถูกใช้ในการหาค่าสัมประสิทธิ์ของสมการใช้แสดงความสัมพันธ์ระหว่างปัจจัยกับร้อยละโดยน้ำหนักของเมทิลเอสเทอร์ในสารตัวอย่างผลิตภัณฑ์ ซึ่งค่าสัมประสิทธิ์สามารถหาได้จากสมการ (วิจิตร, 2543)

$$\hat{\beta} = (X^T X)^{-1} X^T Y$$

$$X = \begin{bmatrix} 1 & 1 & 1 & 1 & -1 & -1 \\ 1 & 1 & -1 & 1 & 1 & -1 \\ 1 & -1 & -1 & -1 & -1 & -1 \\ 1 & -1 & 1 & 1 & 1 & 1 \\ 1 & 1 & 1 & -1 & -1 & 1 \\ 1 & -1 & -1 & 1 & -1 & 1 \\ 1 & -1 & 1 & -1 & 1 & -1 \\ 1 & 1 & -1 & -1 & 1 & 1 \end{bmatrix}$$

$$Y = \begin{bmatrix} 12.38 \\ 1.20 \\ 10.16 \\ 25.51 \\ 1.10 \\ 12.30 \\ 13.22 \\ 2.50 \end{bmatrix}$$

จะได้

$$\hat{\beta} = (X'X)^{-1} X'Y = \begin{bmatrix} 9.147 \\ 3.905 \\ -4.864 \\ 1.198 \\ 1.450 \\ 3.683 \\ -0.944 \\ 2.209 \end{bmatrix}$$

ดังนั้นจะได้สมการทดแทนมีรูปแบบดังนี้

$$\begin{aligned} FAME &= 9.147 + 3.905 MO - 4.864 T + 1.198 W + 1.450 CS \\ &\quad + 3.683 IM - 0.944 MO \times W + 4.418 MO \times IM \end{aligned}$$

เนื่องจากการวิเคราะห์ทางสถิติของการออกแบบทดลองแบบ Plackett-Burman แสดงให้เห็นว่าเฉพาะอุณหภูมิของปฏิกิริยา อัตราส่วนโดยไมลของเมทานอลต่อน้ำมันเมล็ดดอกทานตะวัน และร้อยละโดยน้ำหนักของเอนไซม์ไลเปสที่ถูกตรึง เป็นปัจจัยที่มีผลต่อการผลิตเมทิลเอสเทอร์ของกรดไขมัน ด้วยเหตุนี้สมการการทดแทนอาจลดรูปได้เป็น

$$FAME = 9.147 + 3.905 MO - 4.864 T + 3.683 IM$$

## ภาคผนวก ง2 การวิเคราะห์การทดลองสำหรับการออกแบบการทดลองแบบ Box-Behnken

การออกแบบการทดลองแบบ Box-Behnken ถูกใช้ในการศึกษาสภาวะที่เหมาะสมของปัจจัยต่างๆ ต่อการผลิตใบโอดีเซล สมการเมตริกซ์ถูกใช้ในการหาค่าสัมประสิทธิ์ของสมการ ใช้แสดงความสัมพันธ์ระหว่างปัจจัยกับร้อยละ โดยนำหนักของเมทิลเอสเทอร์ในสารตัวอย่าง ผลิตภัณฑ์ ทั้งนี้รูปแบบสมการทดลองของการออกแบบการทดลองแบบ Box-Behnken เป็นดังนี้

$$Y = \beta_0 + \sum \beta_i x_i + \sum \beta_{ii} x_i^2 + \sum \beta_{ij} x_i x_j + \varepsilon$$

ตารางผนวกที่ ง2 ผลการทดลองจากการออกแบบการทดลองแบบ Box-Behnken

No.	$\xi_1$	$\xi_2$	$\xi_3$	FAME
1	30	6.0 : 1	30	27.07
2	30	1.5 : 1	30	13.74
3	50	1.5 : 1	30	6.22
4	40	1.5 : 1	10	6.89
5	40	6.0 : 1	50	19.86
6	50	3.75 : 1	10	3.75
7	50	3.75 : 1	50	8.83
8	50	6.0 : 1	30	10.70
9	40	3.75 : 1	30	9.74
10	30	3.75 : 1	50	20.89
11	30	3.75 : 1	10	17.18
12	40	3.75 : 1	30	10.80
13	40	1.5 : 1	50	11.72
14	40	3.75 : 1	30	10.44
15	40	6.0 : 1	10	6.44

เมื่อ  $\xi_1$  = อุณหภูมิ (°C)  $\xi_2$  = อัตราส่วนโดยไมลของเมทานอลต่อน้ำมันเมล็ดดอกทานตะวัน  $\xi_3$  = ร้อยละโดยนำหนักของเอนไซม์ไลเปสที่ถูกต้อง

ชี้งค่าสัมประสิทธิ์สามารถหาได้จากสมการ

$$\hat{\beta} = (X'X)^{-1} X'Y$$

จะได้

$$X = \begin{bmatrix} 1 & -1 & 1 & 0 & 1 & 1 & 0 & -1 & 0 & 0 \\ 1 & -1 & -1 & 0 & 1 & 1 & 0 & 1 & 0 & 0 \\ 1 & 1 & -1 & 0 & 1 & 1 & 0 & -1 & 0 & 0 \\ 1 & 0 & -1 & -1 & 0 & 1 & 1 & 0 & 1 & 0 \\ 1 & 0 & 1 & 1 & 0 & 1 & 1 & 0 & 1 & 0 \\ 1 & 1 & 0 & -1 & 1 & 0 & 1 & 0 & 0 & -1 \\ 1 & 1 & 0 & 1 & 1 & 0 & 1 & 0 & 0 & 1 \\ 1 & 1 & 1 & 0 & 1 & 1 & 0 & 1 & 0 & 0 \\ 1 & 0 & 0 & 0 & 0 & 0 & 0 & 0 & 0 & 0 \\ 1 & -1 & 0 & 1 & 1 & 0 & 1 & 0 & 0 & -1 \\ 1 & -1 & 0 & -1 & 1 & 0 & 1 & 0 & 0 & 1 \\ 1 & 0 & 0 & 0 & 0 & 0 & 0 & 0 & 0 & 0 \\ 1 & 0 & -1 & 1 & 0 & 1 & 1 & 0 & -1 & 0 \\ 1 & 0 & 0 & 0 & 0 & 0 & 0 & 0 & 0 & 0 \\ 1 & 0 & 1 & -1 & 0 & 1 & 1 & 0 & -1 & 0 \end{bmatrix}$$

$$\mathbf{Y} = \begin{bmatrix} 27.07 \\ 13.74 \\ 6.22 \\ 6.89 \\ 19.86 \\ 3.75 \\ 8.83 \\ 10.70 \\ 9.74 \\ 20.89 \\ 17.18 \\ 10.80 \\ 11.72 \\ 10.44 \\ 6.44 \end{bmatrix}$$

$$\hat{\beta} = \begin{bmatrix} 64.5719 \\ 1.9933 \\ -2.5342 \\ -0.0073 \\ 0.2593 \\ 0.0279 \\ -0.0011 \\ -0.0983 \\ -0.0983 \\ 0.0467 \end{bmatrix}$$

จะได้สมการทด榈มีรูปแบบเป็น

$$\begin{aligned}
FAME &= 64.5719 + 1.9933 MO - 2.5342 T \\
&\quad - 0.0073 IM + 0.2593 MO^2 + 0.0279 T^2 \\
&\quad - 0.0011 IM^2 - 0.0983 T \times MO \\
&\quad + 0.0017 T \times IM + 0.0467 MO \times IM
\end{aligned}$$

### ภาคผนวก จ

การวิเคราะห์ความสมรูปของสมการในการออกแบบการทดลอง  
พื้นผิวผลตอบสนองแบบ Box-Behnken

ภาคผนวก จ การวิเคราะห์ความสมรูปของสมการในการออกแบบการทดลอง  
พื้นผิวผลตอบสนองแบบ Box-Behnken

การออกแบบการทดลองพื้นผิวผลตอบสนองแบบ Box-Behnken มีข้อดีประการหนึ่งคือมีการทดสอบความสมรูปของสมการที่ได้ โดยการทำการทดลองซ้ำที่จุดกึ่งกลางของการทดลอง ( $T = 40^\circ\text{C}$ ,  $MO = 3.75:1$  และ  $IM = 30$ ) โดยการทดสอบความสมรูปของสมการเป็นดังนี้

$$H_0 = \text{ไม่มีความไม่สมรูประหว่างข้อมูลการทดลองกับสมการ}$$

$$H_1 = \text{มีความไม่สมรูประหว่างข้อมูลการทดลองกับสมการ}$$

การทดสอบความสมมติฐานถูกนำมาใช้ในการวิเคราะห์นี้ โดยรวมกำลังสองของความผิดพลาดถูกแบ่งออกเป็นสองส่วนดังนี้ (Box *et.al.*, 1993)

$$\begin{aligned} \text{ผลรวมกำลังสองของความผิดพลาดรวม} &= \text{ผลรวมกำลังสองของความไม่สมรูปของสมการ} \\ &\quad + \text{ผลรวมกำลังสองของความผิดพลาดจากการทดลอง} \end{aligned}$$

$$SSE = SS_{LOF} + SS_{PE}$$

นั่นคือ

$$SS_{LOF} = SSE - SS_{PE}$$

**ตารางผนวก ช1 การทดสอบความไม่สมูดของแบบจำลอง และ ข้อมูลการทดลอง**

---

No.	T	MO	IM	$y_i$	$\hat{y}_i$
1*	40	3.75	30	9.74	10.33
2	30	1.5	30	13.74	15.23
3	30	3.75	10	17.18	15.82
4	50	3.75	10	3.75	2.79
5*	40	3.75	30	10.8	10.33
6	30	3.75	50	20.89	21.85
7	50	1.5	30	6.22	7.31
8	40	6	10	6.44	8.89
9	50	3.75	50	8.83	10.19
10	40	1.5	10	6.89	6.76
11	50	6	30	10.7	9.21
12	40	1.5	50	11.72	9.27
13	30	6	30	27.07	25.98
14	40	6	50	19.86	19.81
15*	40	3.75	30	10.44	10.33

หมายเหตุ \* คือการทดลองที่ดำเนินการกับกล้อง

$y_i$  = ร้อยละ โดยนำหนักของเมทิลเอสเทอโร่จากการทดลอง

$\hat{y}_i$  = ร้อยละ โดยนำหนักของเมทิลเอสเทอโร่จากแบบจำลอง

$$\begin{aligned}
 SSE &= \sum (y_i - \hat{y}) \\
 &= [(9.74-10.33)^2 + (13.74-15.23)^2 + \dots + (27.07-25.98)^2 \\
 &\quad + (19.68-19.81)^2 + (10.44-10.33)^2] \\
 &= 24.927
 \end{aligned}$$

$$\begin{aligned}
 SS_{PE} &= \sum_{Center} (y_i - \hat{y}) \\
 &= [(9.74-10.33)^2 + (10.8-10.33)^2 + (10.44-10.33)^2] \\
 &= 0.5811 \\
 SS_{LOF} &= \sum (y_i - \hat{y}) - \sum_{Center} (y_i - \hat{y}) \\
 &= 24.927 - 0.5811 \\
 &= 24.346
 \end{aligned}$$

$$\begin{aligned}
 \text{ค่าองค์ความอิสระของ } SS_{PE} &= n_c - 1 \\
 &= 3 - 1 = 2 \\
 \text{ค่าองค์ความอิสระของ } SS_{LOF} &= n_c = 3 \\
 \text{ค่าองค์ความอิสระของ } SSE &= n_c - 1 + n_c \\
 &= 3 - 1 + 3 = 5
 \end{aligned}$$

ดังนั้นจะได้

$$\begin{aligned}
 MSRE &= SSRE/(n_c - 1 + n_c) \\
 &= 24.927/5 \\
 &= 4.985 \\
 MS_{LOF} &= SS_{LOF}/(n_c)
 \end{aligned}$$

$$\begin{aligned}
 &= 24.346/3 \\
 &= 8.115 \\
 MS_{PE} &= SS_{PE}/(n_c - 1) \\
 &= 0.581/2 \\
 &= 0.291
 \end{aligned}$$

จะได้ตารางสรุปค่าสถิติของการออกแบบการทดลองแบบ Box-Behnken เป็นดังนี้

ตารางที่ 2 ค่าสถิติของการออกแบบการทดลองแบบ Box-Behnken

Source	DF	Seq SS	Adj SS	Adj MS	F	P
<b>Regression</b>	9	548.232	548.232	60.915	12.22	0.007
Linear	3	475.118	42.4211	14.140	2.84	0.145
Square	3	35.382	35.3820	11.794	2.37	0.187
Interaction	3	37.732	37.7319	12.577	2.52	0.172
<b>Residual Error</b>	5	24.927	24.9271	4.985		
Lack-of-Fit	3	24.346	24.3460	8.115	27.93	0.035
Pure Error	2	0.581	0.5811	0.291		
<b>Total</b>	14	573.159				

### ภาคผนวก ฉ

การหาช่วงความเชื่อมั่นของร้อยละ โดยนำหนักของเมทิลเอสเทอร์ที่ผลิตด้วยสกาวะที่เหมาะสม

## ภาคผนวก ฉบับที่ 1 การหาปริมาณเมล็ดอีสเทอร์ของคราฟท์มันในใบโอดีเซลตัวอย่างเพื่อยืนยัน สภาพที่เหมาะสมในการผลิตใบโอดีเซลด้วยเอนไซม์ไคลเพสทีกูตเริ่ง

### ตัวอย่างที่ 1

$$\text{น้ำหนักของไบโอดีเซลตัวอย่าง} = 42.28 \text{ mg}$$

พื้นที่ได้กราฟเมทิลเอสเทอร์ = 8,590,263

พื้นที่ໃห้กราฟไตรแคนทริน = 55579

พื้นที่ได้กราฟเมทิลออกซเทอร์/ไตรแคนป์วิน = 154.56

น้ำหนักของเมทิลเอสเทอร์ในสารตัวอย่าง

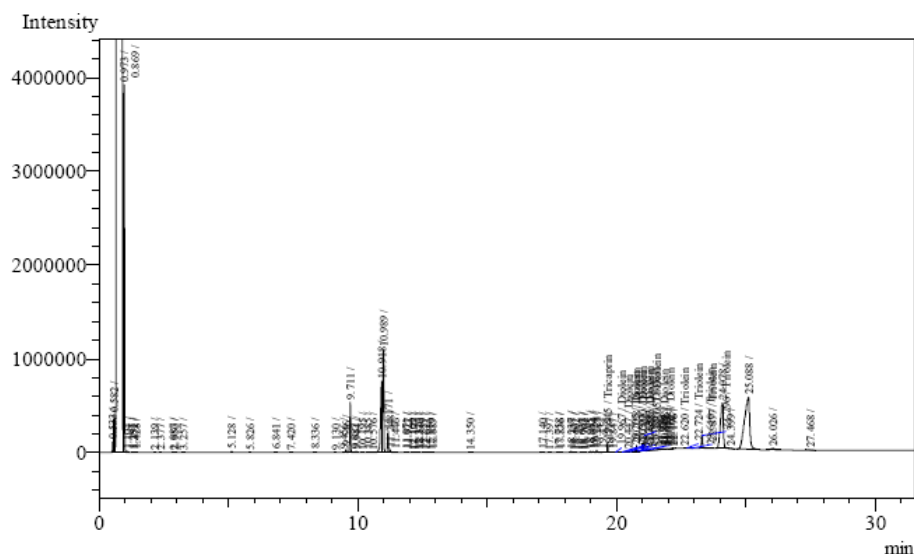
$$W_{FAME} = 0.0681 \times \left( \frac{8590263}{55579} \right) + 0$$

$$= 10.53 \text{ mg}$$

ร้อยละ โดยน้ำหนักของเมทิลเอสเทอร์ในสารตัวอย่าง (*FAME*)

$$FAME = \frac{10.53}{42.28} \times 100$$

$$= 24.9$$



Peak#	Ret.Time	Area	Height	Conc.	Unit	Mark ID#	Cmpd Name
1	0.533	211448	111222	0.000			
2	0.582	1050344	394510	0.000		V	
3	0.869	3760713188	34003127	0.000		V	
4	0.973	8197239	3892678	0.000		V	
5	1.104	19581	8003	0.000		V	
6	1.291	2538	2043	0.000			
7	1.352	2567	1906	0.000			
8	1.428	8195	2963	0.000		V	
9	2.139	2804	1598	0.000			
10	2.377	1254	698	0.000			
11	2.887	1387	791	0.000			
12	2.950	1351	888	0.000			
13	3.257	1898	1079	0.000			
14	5.128	22266	13482	0.000			
15	5.826	1361	882	0.000			
16	6.841	6052	3447	0.000			
17	7.420	1069	645	0.000			
18	8.336	10176	3761	0.000			
19	9.130	2248	961	0.000			
20	9.456	13060	7281	0.000			
21	9.546	67694	30125	0.000		V	
22	9.711	1049065	526674	0.000		V	
23	9.887	10039	4846	0.000		V	
24	9.944	20047	9826	0.000		V	
25	10.195	5277	1944	0.000			
26	10.385	12872	6141	0.000			
27	10.576	3855	1693	0.000			
28	10.918	2835009	759529	0.000			
29	10.989	3997756	1084694	0.000		V	
30	11.171	557056	215873	0.000		V	
31	11.248	70623	26903	0.000		V	
Peak#	Ret.Time	Area	Height	Conc.	Unit	Mark ID#	Cmpd Name
32	11.446	10008	3984	0.000		V	
33	11.871	13013	5581	0.000			
34	11.927	9015	4082	0.000		V	
35	12.109	2832	1285	0.000			
36	12.177	3990	1487	0.000		V	
37	12.327	5464	2430	0.000			
38	12.370	5574	2592	0.000		V	
39	12.529	7949	3164	0.000			
40	12.621	5621	1785	0.000		V	
41	12.819	4894	2052	0.000			
42	12.889	10467	4443	0.000		V	
43	14.350	4175	1576	0.000			
44	17.140	18171	5310	0.000			
45	17.397	4538	2169	0.000			
46	17.758	1477	755	0.000			
47	17.836	4454	2358	0.000			
48	18.237	12624	7674	0.000			
49	18.327	1693	905	0.000			
50	18.402	1394	757	0.000		V	
51	18.632	2421	1520	0.000			
52	18.703	2281	1382	0.000		V	
53	18.762	1810	1092	0.000		V	
54	18.985	11337	6656	0.000			
55	19.074	11513	7233	0.000			
56	19.124	2723	1331	0.000		V	
57	19.224	33934	20535	0.000		V	
58	19.434	3481	1345	0.000			
59	19.645	55579	109694	0.000	mg		5 Tricaprin
60	19.717	1825	1085	0.000		V	
61	19.847	2556	1485	0.000			
62	19.967	1431	985	0.000	mg		3 Dolein
63	20.205	1446	959	0.000	mg		3 Dolein
64	20.383	3214	1599	0.000	mg		3 Dolein
65	20.447	5203	2438	0.000	mg	V	3 Dolein
66	20.501	1675	516	0.000	mg	V	3 Dolein

ภาพผนวกที่ ฉบับ โคมารา โtopic แกรมของไข่ไก่ดีเซลสำหรับยืนยันส่วนประกอบที่เหมาะสม

(T = 30 °C MO = 1:6 IM = 30) ตัวอย่างที่ 1

### ตัวอย่างที่ 2

น้ำหนักของใบโอดีเซลตัวอย่าง = 49.24 mg

พื้นที่ได้กราฟเมทิลเอสเทอร์ = 8,652,494

พื้นที่ได้กราฟไตรแคปริน = 51867

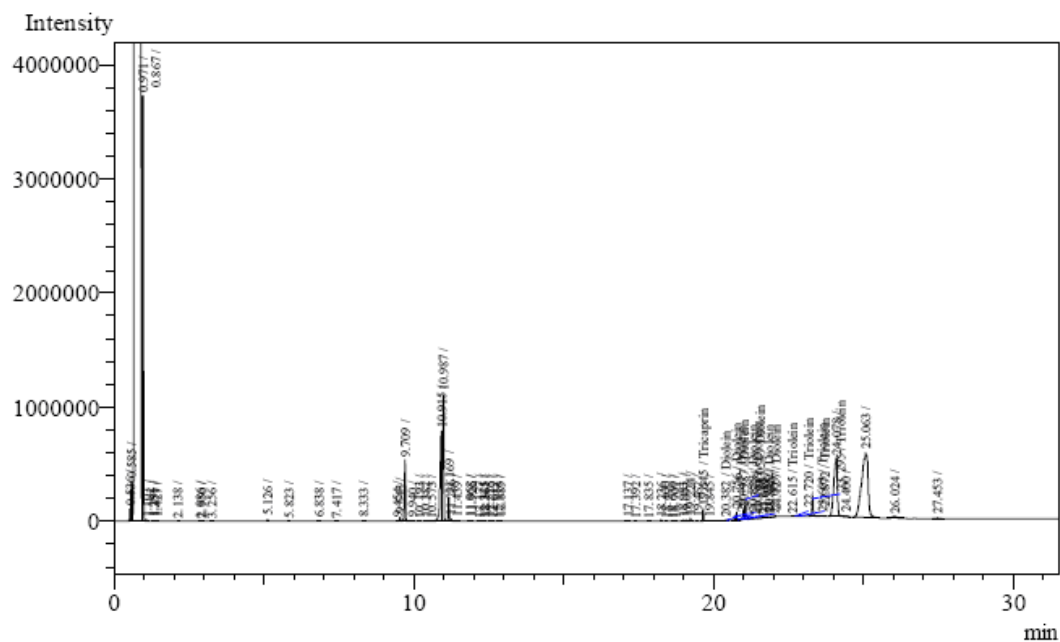
พื้นที่ได้กราฟเมทิลเอสเทอร์/ไตรแคปริน = 135.114

น้ำหนักของเมทิลเอสเทอร์ในสารตัวอย่าง

$$W_{FAME} = 0.0681 \times \left( \frac{8652494}{51867} \right) + 0 \\ = 11.36 \text{ mg}$$

ร้อยละ โดยน้ำหนักของเมทิลเอสเทอร์ในสารตัวอย่าง (*FAME*)

$$FAME = \frac{11.36}{49.24} \times 100 \\ = 23.07$$



Peak#	Ret.Time	Area	Height	Conc.	Unit	Mark	ID#	Cmpd Name
1	0.536	199369	106540	0.000				
2	0.585	926692	340278	0.000		V		
3	0.867	3709870887	31635726	0.000		V		
4	0.971	7717583	3663262	0.000		V		
5	1.103	16373	6862	0.000		V		
6	1.291	2109	1706	0.000				
7	1.351	2341	1864	0.000				
8	1.427	7973	2628	0.000		V		
9	2.138	2813	1589	0.000				
10	2.886	1375	789	0.000				
11	2.950	1329	874	0.000				
12	3.256	1797	1079	0.000				
13	5.126	22037	13213	0.000				
14	5.823	1321	879	0.000				
15	6.838	6368	3632	0.000				
16	7.417	1080	646	0.000				
17	8.333	8110	3711	0.000				
18	9.454	7593	4075	0.000				
19	9.543	63693	29909	0.000		V		
20	9.709	1056044	530391	0.000		V		
21	9.940	17232	7157	0.000				
22	10.193	4004	1828	0.000				
23	10.382	10044	5002	0.000				
24	10.573	3359	1533	0.000				
25	10.915	2986132	780901	0.000				
26	10.987	3961118	1095367	0.000		V		
27	11.169	535434	208061	0.000		V		
28	11.236	50073	18869	0.000		V		
29	11.439	7549	2788	0.000		V		
30	11.868	11342	5021	0.000				
31	11.926	8279	3634	0.000		V		
Peak#	Ret.Time	Area	Height	Conc.	Unit	Mark	ID#	Cmpd Name
32	12.177	2473	985	0.000				
33	12.325	6267	2610	0.000				
34	12.365	5607	2735	0.000		V		
35	12.525	8078	3196	0.000				
36	12.619	4288	1578	0.000		V		
37	12.816	5216	2099	0.000				
38	12.885	10473	4508	0.000		V		
39	17.137	18240	5210	0.000				
40	17.392	4679	2368	0.000				
41	17.835	4292	2319	0.000				
42	18.236	12860	7851	0.000				
43	18.400	1199	705	0.000				
44	18.630	2606	1595	0.000				
45	18.701	2213	1389	0.000		V		
46	18.983	11559	7119	0.000				
47	19.073	12366	7477	0.000				
48	19.224	35894	21490	0.000		V		
49	19.462	1324	875	0.000				
50	19.645	51867	106389	0.000	mg		5	Tricaprin
51	19.845	2331	1373	0.000				
52	20.382	1813	1328	0.000	mg		3	Diolein
53	20.447	3374	2133	0.000	mg	V	3	Diolein
54	20.689	64203	30922	0.000	mg		3	Diolein

ภาพผนวกที่ ฉ2 โกรมาトイแกรมของไข่โอดีเซลสำหรับยืนยันสภาวะที่เหมาะสม  
 $(T = 30^\circ \text{ } \text{ซึ่ MO} = 1:6 \text{ } IM = 30)$  ตัวอย่างที่ 2

### ตัวอย่างที่ 3

น้ำหนักของใบโอดีเซลตัวอย่าง = 47.09 mg

พื้นที่ได้กราฟเมทิลเอสเทอร์ = 8,374,231

พื้นที่ได้กราฟไตรแครปติน = 56760

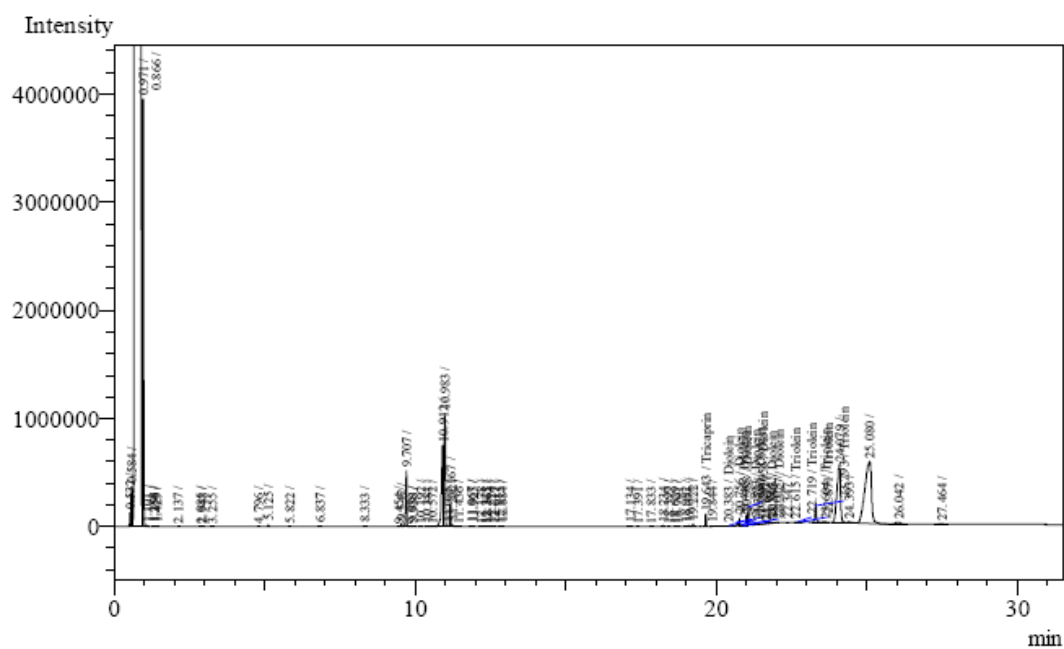
พื้นที่ได้กราฟเมทิลเอสเทอร์/ไตรแครปติน = 147.54

น้ำหนักของเมทิลเอสเทอร์ในสารตัวอย่าง

$$\begin{aligned} W_{FAME} &= 0.0681 \times \left( \frac{8374231}{56760} \right) + 0 \\ &= 10.05 \text{ mg} \end{aligned}$$

ร้อยละโดยน้ำหนักของเมทิลเอสเทอร์ในสารตัวอย่าง (*FAME*)

$$\begin{aligned} FAME &= \frac{10.05}{47.09} \times 100 \\ &= 21.34 \end{aligned}$$



Peak#	Ret.Time	Area	Height	Conc.	Unit	Mark ID#	Cmpd Name
1	0.532	236101	126477	0.000			
2	0.584	977306	359049	0.000		V	
3	0.866	3712759748	33346878	0.000		V	
4	0.971	8211473	3895312	0.000		V	
5	1.101	18988	8074	0.000		V	
6	1.288	2759	2122	0.000			
7	1.350	2560	1958	0.000			
8	1.425	8605	3046	0.000		V	
9	2.137	2711	1564	0.000			
10	2.885	1456	823	0.000			
11	2.948	1296	862	0.000			
12	3.255	2249	1173	0.000			
13	4.796	1007	648	0.000			
14	5.125	23116	13873	0.000			
15	5.822	1290	848	0.000			
16	6.837	5966	3374	0.000			
17	8.333	7106	3304	0.000			
18	9.454	5086	2853	0.000			
19	9.542	60392	28088	0.000		V	
20	9.707	1015490	503283	0.000		V	
21	9.889	2649	1223	0.000		V	
22	9.936	12891	6007	0.000		V	
23	10.192	3787	1746	0.000			
24	10.381	6572	3283	0.000			
25	10.572	3821	1724	0.000			
26	10.912	2872996	749965	0.000			
27	10.983	3888173	1037738	0.000		V	
28	11.075	18820	5317	0.000		V	
29	11.167	484332	202663	0.000		V	
30	11.232	34028	14808	0.000		V	
31	11.436	5333	2197	0.000			
Peak#	Ret.Time	Area	Height	Conc.	Unit	Mark ID#	Cmpd Name
32	11.867	11308	4888	0.000			
33	11.925	8033	3652	0.000		V	
34	12.178	2539	1048	0.000			
35	12.321	5647	2415	0.000			
36	12.365	6226	2766	0.000		V	
37	12.524	7043	2943	0.000		V	
38	12.617	3924	1513	0.000		V	
39	12.815	4800	1981	0.000			
40	12.884	9956	4279	0.000		V	
41	17.134	17277	5082	0.000			
42	17.391	4419	2136	0.000			
43	17.833	4166	2273	0.000			
44	18.234	12751	7647	0.000			
45	18.399	1144	682	0.000			
46	18.629	2529	1551	0.000			
47	18.701	2205	1373	0.000		V	
48	18.982	11376	6733	0.000			
49	19.071	13405	7510	0.000			
50	19.222	34487	21092	0.000		V	
51	19.643	56760	107503	0.000	mg		5 Tricaprin
52	19.844	2368	1422	0.000			
53	20.383	1790	1309	0.000	mg		3 Dolein
54	20.446	3535	2116	0.000	mg	V	3 Dolein

ภาพพนวกที่ ณ โกรมา トイแกรมของไข่ไก่เชลสำหรับยืนยันส่วนประกอบที่เหมาะสม  
 $(T = 30^\circ \text{ } \text{C} MO = 1:6 IM = 30)$  ตัวอย่างที่ 3

ภาคผนวก ฉ2 การทดสอบค่าเฉลี่ยของร้อยละโดยนำหนักของเมทิลเอสเทอร์ในไบโอดีเซลตัวอย่างที่ได้จากการวิเคราะห์ที่เหมาะสมกับส่วนผสมของไนโตรเจนและฟอสฟอรัสที่ถูกต้อง

ค่าเฉลี่ยของร้อยละโดยนำหนักของเมทิลเอสเทอร์จากแบบจำลองทางคณิตศาสตร์ที่ได้จากการออกแบบการทดลองพื้นผิวผลตอบสนองแบบ Box-Behnken สามารถหาได้จากการที่ 17 ที่มีการแทนตัวแปร  $MO = 6 \quad T = 30 \quad IM = 50$  จะได้

$$\begin{aligned} FAME &= 64.5719 + 1.9933 MO - 2.5342 T \\ &\quad - 0.0073 IM + 0.2593 MO^2 + 0.0279 T^2 \\ &\quad - 0.0011 IM^2 - 0.0983 T \times MO \\ &\quad + 0.0017 T \times IM + 0.0467 MO \times IM \end{aligned} \quad (17)$$

$$\begin{aligned} FAME &= 64.5719 + (1.9933 \times 6) - (2.5342 \times 30) \\ &\quad (-0.0073 \times 50) + (0.2593 \times 6^2) + (0.0279 \times 30^2) \\ &\quad (-0.0011 \times 50^2) - (0.0983 \times 30 \times 6) \\ &\quad (+0.0017 \times 30 \times 50) + (0.0467 \times 6 \times 50) \\ &= 30.7\% \end{aligned}$$

จากการทดลองยืนยันสภาวะที่เหมาะสมโดยการทำการทำทดลองผลิตไบโอดีเซลจากน้ำมันเมล็ดดอกทานตะวันจำนวน 3 ครั้งได้ร้อยละโดยนำหนักของเมทิลเอสเทอร์เป็นดังนี้

ตารางผนวก ฉ1 ค่าร้อยละโดยนำหนักของเมทิลเอสเทอร์ที่ได้จากการทดลองในสภาวะที่เหมาะสมที่ได้จากการออกแบบการทดลองพื้นผิวผลตอบสนองแบบ Box-Behnken

ตัวอย่างที่	ร้อยละโดยนำหนักของเมทิลเอสเทอร์
1	24.90
2	23.07
3	21.34

การทดสอบทำได้โดยการทดสอบทางสถิติ จากกลุ่มตัวอย่างขนาดเล็ก ( $n < 30$ ) โดยมีสมมติฐานคือค่าเฉลี่ยของร้อยละโดยนำหนักของเมทิลเอสเทอร์ในสภาพที่เหมาะสม ( $T = 30^\circ$  และ  $MO = 1:6$   $IM = 30$ ) เป็นดังนี้

$$\begin{aligned} H_0 : \mu &= 30.7 \\ H_1 : \mu &\neq 30.7 \end{aligned}$$

ซึ่งใช้ค่าสถิติ  $t$  สำหรับทดสอบดังนี้ (สาขลด, 2551)

$$t = \frac{\bar{x} - \mu}{s / \sqrt{n}}$$

ที่ค่าองศาความเป็นอิสระ ( $n-1$ ) เป็นค่าทดสอบ โดยที่

$$\bar{x} = \frac{24.90 + 23.07 + 21.34}{3} = 23.10$$

$$s = \sqrt{\frac{\sum_{i=1}^n x_i^2 - \frac{\sum_{i=1}^n (x_i)^2}{n}}{n-1}} = \sqrt{\frac{1607.63 - \frac{(69.31)^2}{3}}{3-1}} = 1.78$$

ดังนั้นจะได้ค่าสถิติ  $t$  ดังนี้

$$t = \frac{\bar{x} - \mu}{s / \sqrt{n}} = \frac{23.10 - 30.7}{(1.78 / \sqrt{3})} = -7.39$$

จะยอมรับ  $H_0$  เมื่อ

$$t \geq -t_{\frac{\alpha}{2}}$$

ที่ระดับนัยสำคัญ 98.5%  $\alpha = 0.015$   $\alpha/2 = 0.0075$   $-t_{\frac{\alpha}{2}} = -8.073$

โดยที่  $-7.39 > -8.073$

จึงสรุปได้ว่าสามารถยอมรับ  $H_0$  ได้ที่ระดับนัยสำคัญ 98.5% โดยช่วงค่าเฉลี่ยร้อยละ โดยน้ำหนักของเมทิลเอสเทอโร์ที่ระดับนัยสำคัญ 98.5% สามารถคำนวณได้จากสมการ

$$\bar{x} - t_{\frac{\alpha}{2}, n-1} \frac{s}{\sqrt{n}} < \mu < \bar{x} + t_{\frac{\alpha}{2}, n-1} \frac{s}{\sqrt{n}}$$

เมื่อ

$$\bar{x} = 23.1 \quad s = 1.78 \quad t_{\frac{\alpha}{2}} = 8.073 \quad n = 3$$

ดังนั้นจะได้

$$23.1 - (8.073) \frac{1.78}{\sqrt{3}} < \mu < 23.1 + (8.073) \frac{1.78}{\sqrt{3}}$$

$$14.81 < \mu < 31.40$$

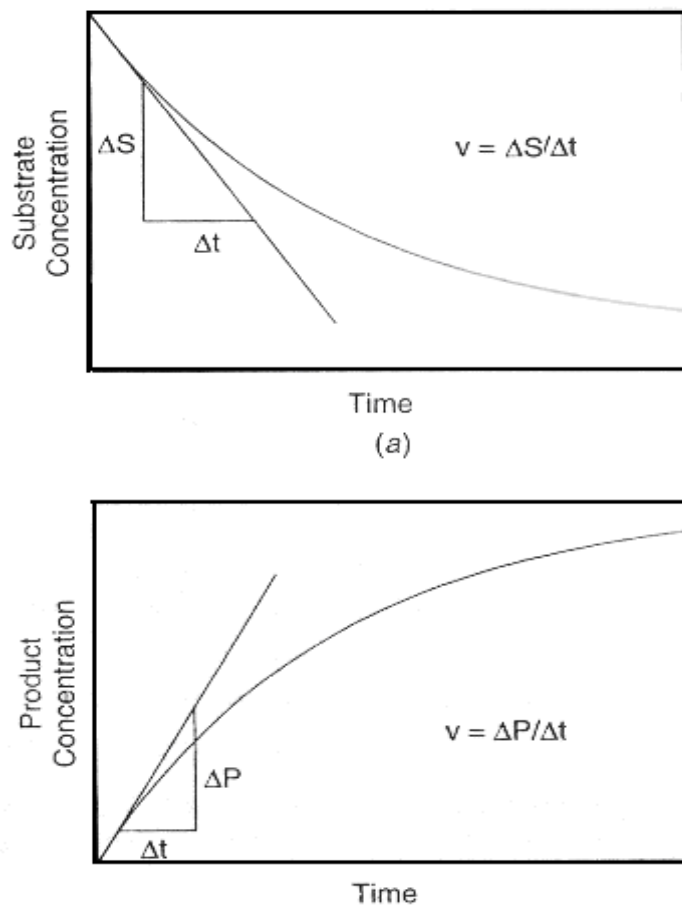
ดังนั้นจะได้ค่าเฉลี่ยของร้อยละ โดยน้ำหนักเมทิลเอสเทอโร์ ในใบโอดีเซลตัวอย่าง อยู่ในช่วงร้อยละ  $14.81 - 31.40$  ที่ระดับความเชื่อมั่น 98.5%

**ภาคผนวก ช**

**การหาอัตราการเกิดปฏิกิริยาเริ่มต้น**

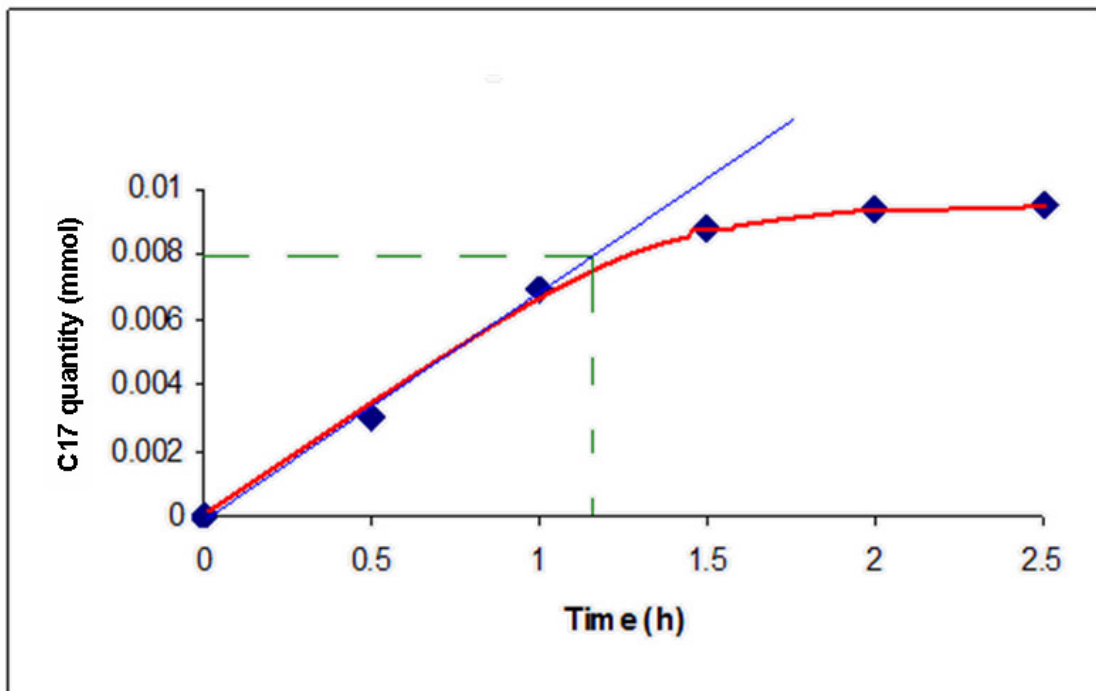
### ภาคผนวก ช การหาอัตราการเกิดปฏิกิริยาเริ่มต้น

การศึกษาข้อมูลทางจลนพัสดุศาสตร์ของปฏิกิริยาการเร่งด้วยเอนไซม์ นิยมหาอัตราการเกิดปฏิกิริยาด้วยวิธีอัตราการเกิดปฏิกิริยาเริ่มต้น (Initial Rate Method) ซึ่งวิธีการดังกล่าวต้องมีการติดตามค่าความเข้มข้นของสารตั้งต้นที่หายไประหว่างปฏิกิริยา หรือการหาความเข้มข้นของสารผลิตภัณฑ์ที่เกิดขึ้นระหว่างปฏิกิริยา โดยค่าอัตราการเกิดปฏิกิริยาเริ่มต้นคือค่าความชันที่ใกล้จะเริ่มต้นบนกราฟของความเข้มข้นของสารตั้งต้น หรือสารผลิตภัณฑ์กับเวลา ดังแสดงในภาพผนวกที่ ช1



ภาพผนวกที่ ช1 วิธีการหาค่าอัตราการเกิดปฏิกิริยาเริ่มต้นจากการเปลี่ยนแปลงความเข้มข้นของสารตั้งต้นและสารผลิตภัณฑ์

ตัวอย่างการคำนวณหาค่าอัตราการเกิดปฏิกิริยาเริ่มต้นที่ 10 มิลลิโมลของน้ำมันเมล็ดดอกทานตะวัน และ 37.5 มิลลิโมลของ methane oil



ภาพผนวกที่ ช2 วิธีการหาค่าอัตราการเกิดปฏิกิริยาเริ่มต้นที่ 10 มิลลิโมลของน้ำมันเมล็ด  
ดอกทานตะวัน และ 37.5 มิลลิโมลของ methane oil ที่  $30^{\circ}\text{C}$

$$\begin{aligned}
 \text{ความชันของกราฟ} &= \text{oัตราการเกิดปฏิกิริยาเริ่มต้น} \\
 &= 0.0079 / 1.2 \\
 &= 6.59 \times 10^{-3} \text{ มิลลิโมลต่อชั่วโมง}
 \end{aligned}$$

## ประวัติการศึกษา และการทำงาน

ชื่อ – นามสกุล	นายกิตติพล  กลิกร์
วัน เดือน ปี ที่เกิด	6 สิงหาคม 2518
สถานที่เกิด	อำเภอเมือง จังหวัดเชียงใหม่
ประวัติการศึกษา	วศ.บ. (วิศวกรรมเคมี) มหาวิทยาลัยครินทร์วิโรฒ วศ.ม. (วิศวกรรมเคมี) จุฬาลงกรณ์มหาวิทยาลัย
ตำแหน่งหน้าที่การงานปัจจุบัน	อาจารย์
สถานที่ทำงานปัจจุบัน	ภาควิชาวิศวกรรมเคมี คณะวิศวกรรมศาสตร์ มหาวิทยาลัยครินทร์วิโรฒ
ผลงานดีเด่นและรางวัลทางวิชาการ	งานวิจัยการผลิตน้ำมันชีวภาพจากขุลสาหร่าย งานวิจัยการผลิตพลาสติกชีวภาพจากชุดนิทรรศ์
ทุนการศึกษาที่ได้รับ	ได้รับทุนโครงการพัฒนาอาจารย์จาก สำนักงานคณะกรรมการการอุดมศึกษา